

Pasi Marttinen

# Teräsbetonipilarin EN:n mukainen mitoitus

Robot Structural Analysis Professional 2012 - ohjelmalla

Metropolia Ammattikorkeakoulu  
Insinööri (AMK)  
Rakennustekniikka  
Insinöörityö  
25.4.2012

Tekijä(t) Otsikko  Sivumäärä Aika	Pasi Marttinen Teräsbetonipilarin EN:n mukainen mitoitus Robot Structural Analysis Professional 2012 - ohjelmalla 51 sivua + 7 liitettä 25.4.2012
Tutkinto	Insinööri (AMK)
Koulutusohjelma	Rakennustekniikka
Suuntautumisvaihtoehto	Rakennetekniikka
Ohjaaja(t)	Osastopäällikkö Sami Karvinen Lehtori Timo Leppänen
<p>Tämä insinöörityö tehtiin rakennesuunnitteluun erikoistuneeseen insinööritoimistoon Finnmap Consulting Oy. Työ toteutettiin keväällä 2012 yrityksen teollisuusrakennusosastolla Itä-Pasilassa.</p> <p>Rakenneosien suunnittelussa käytettäviä ohjelmia on monia. Tämän insinöörityön tarkoituksena oli selvittää Robot Structural Analysis 2012 - ohjelman käyttöä teräsbetonipilarin mitoituksessa. Tällä hetkellä teräsbetonipilarin mitoitus toteutetaan suunnittelijasta riippuen eri menetelmällä ja ohjelmalla. Osana tätä työtä toteutettiin työohje, josta selviää RSA-ohjelmalla huomioon otettavat asiat mitoittaessa teräsbetonipilaria.</p> <p>Mitoitus tehtiin EN 1992-1-1 mukaan. Toisen kertaluvun laskennassa käytettiin nimellisen kaarevuuden menetelmää ja nimellisen jäykkyyden menetelmää. Vain taivutus tarkasteltiin EN2:n mukaan yleisellä menetelmällä sekä yksinkertaistetulla menetelmällä. Näin pyrittiin saamaan vertailukelpoista tietoa eri menetelmien mukaan tehtyihin mitoitus tuloksiin.</p> <p>Työssä tutkittiin kolmea eri tapausta: yhteen suuntaan taivutettua pilaria, pilaria johon kohdistuu vain taivutusta sekä monikerrospilaria johon kohdistuu vain taivutusta. Vertailulaskelmissa laskettiin jokaisesta tapauksesta yksi pilari, jotta varmistettiin laskentamallin todenmukaisuudesta. Ohjelmalla tutkittiin eri pituuden omaavia pilareita, jotta saatiin selville pituuden ja sen kautta hoikkusuunnan vaikutus pilarin mitoitusmenetelmiin.</p> <p>Tuloksista huomattiin, että mitä suuremmaksi pilarin hoikkusuunnan kasvoi, sitä suurempi poikkeama nimellisen kaarevuuden ja nimellisen jäykkyyden menetelmien antamissa mitoitusmomentteissa esiintyi. Jos taivutusta esiintyi vain toisen akselin suhteen, ei poikkeama kasvanut merkittäväksi, mutta vain taivutuksen tapauksessa ero oli huomattava ja pahimmillaan se kyseenalaisti menetelmän luotettavuuden. Nimellisen kaarevuuden menetelmällä päädyttiin jokaisessa tarkastellussa tapauksessa suurempiin mitoitusmomentteihin. Vain taivutuksen huomiointi yksinkertaistetulla menetelmällä kasvatti vaadittavaa rauditus alaa parhaimmillaan 20 %. Tämän takia on suositeltavaa mitoittaa yleisellä menetelmällä, jos se on mahdollista.</p>	
Avainsanat	teräsbetonipilari, toisen kertaluvun vaikutus, nimellisen kaarevuuden menetelmä, nimellisen jäykkyyden menetelmä

Author(s) Title  Number of Pages Date	Pasi Marttinen Design of Reinforced Concrete Column Using Robot Structural Analysis Professional 2012 - Software 51 pages + 7 appendices 25 April 2012
Degree	Bachelor of Engineering
Degree Programme	Civil Engineering
Specialisation option	Structural Engineering
Instructor(s)	Sami Karvinen, Departmental Manager Timo Leppänen, Senior Lecturer
<p>This thesis was made for Finnmap Consulting Oy which is a structural engineering company. The thesis was made during spring 2012 in the company's industrial department in East-Pasila.</p> <p>There are many programs that are used for construction design. The purpose of this thesis was to investigate the use of Robot Structural Analysis 2012 program for designing of reinforced concrete columns. At the moment, designing of reinforced concrete column is carried out with different methods and programs depending on the engineer. As part of this thesis, work instructions were created, which state issues that need to be considered when designing reinforced concrete columns using RSA-program.</p> <p>The design was carried out according to EN 1992-1-1. The second order effect was taken into account using method of nominal curvature and also method of nominal stiffness. Biaxial bending was calculated using both general method and simplified criterion method.</p> <p>Three different cases were examined: column which is subject to simplified bending, column which is subject to biaxial bending and finally multi-storey column. Comparative calculations were made for each case in order to see whether the calculation model was correct. Columns of various lengths were examined in order to discover the impact of slenderness in design methods.</p> <p>Results showed that the more slenderness increased, the greater the deviation between nominal curvature method and nominal stiffness method was. If bending was simplified, the deviation did not become significant, but with biaxial bending, the difference was significant and even questioned the reliability of the calculation method. Method of nominal curvature gave larger designing moment in each case. When biaxial bending was calculated using the simplified method, the minimum area of reinforcement was 20 % larger than when using the general method. For this reason it is recommended to carry out the design of biaxial bending using the general method.</p>	
Keywords	reinforced concrete column, second order effect, method based on curvature, method based on stiffness

# Sisälllys

## Määritelmiä

1	Johdanto	1
2	Autodesk Robot Structural Analysis Professional 2012 - ohjelma	2
2.1	Elementtimenetelmä	2
2.1.1	Elementtiverkko	2
2.1.2	Solmusuureet	2
2.1.3	Elementtityypit	3
3	Teräsbetonipilarin mitoitus EN:n mukaan	3
3.1	Puristetun teräsbetonipilarin toiminta	4
3.2	Erillisten sauvojen hoikkuus	5
3.3	Erillisten sauvojen hoikkuuskriteeri	7
3.4	Viruminen	9
3.5	Mittaepätarkkuudet	12
3.6	Yleinen menetelmä	14
3.7	Nimelliseen kaarevuuteen perustuva menetelmä	16
3.7.1	Taivutusmomentit	16
3.7.2	Kaarevuuden laskenta	17
3.7.3	Minimi- ja maksimiraudoitus	19
3.7.4	Raudoituksen määrittäminen yhteisvaikutusdiagrammin avulla	21
3.8	Nimelliseen jäykkyyteen perustuva menetelmä	22
3.8.1	Tarkempi menetelmä	23
3.8.2	Yksinkertainen menettely	23
3.8.3	Momentin suurennoskerroin	24
3.9	Vino taivutus	25
4	Tarkastellut rakennemallit	27
4.1	Yhteen suuntaan taivutettu teräsbetonipilari	28
4.1.1	Nimellisen kaarevuuden menetelmä	29
4.1.2	Nimellisen jäykkyyden menetelmä	31
4.2	Kahteen suuntaan taivutettu teräsbetonipilari	34
4.2.1	Nimellisen kaarevuuden menetelmä	35

4.2.2	Nimellisen jäykkyyden menetelmä	38
4.3	Monikerrospilari	41
4.3.1	Nimellisen kaarevuuden menetelmä	42
4.3.2	Nimellisen jäykkyyden menetelmä	45
5	Yhteenveto	48
	Lähteet	51
	Liitteet	
	Liite 1. Työohje pilarin mitoitukseen RSA 2012 - ohjelmalla	
	Liite 2. Taivutus yhteen suuntaan, RSA - laskelmat	
	Liite 3. Taivutus yhteen suuntaan, vertailulaskelmat	
	Liite 4. Taivutus kahteen suuntaan, RSA - laskelmat	
	Liite 5. Taivutus kahteen suuntaan, vertailulaskelmat	
	Liite 6. Monikerrospilarin RSA - laskelmat	
	Liite 7. Monikerrospilarin vertailulaskelmat	

## Määritelmiä

- Vino taivutus:* Kahden akselin suhteen oleva samanaikainen taivutus
- Jäykistetyt rakenneosat:* Rakenneosia tai rakenteen osia, joiden ei oleteta vaikuttavan rakennekokonaisuuden vaakastabiiliuteen
- Jäykistävät rakenneosat:* Rakenneosia tai rakenteen osia, joiden oletetaan vaikuttavan rakennekokonaisuuden vaakastabiiliuteen
- Nurjahdus:* Epästabiiliudesta johtuva rakenneosan tai rakenteen murtuminen puristavan normaalivoiman vaikutuksesta ilman poikittaiskuormaa
- Nurjahduspituus:* Pituus, jonka suuruuteen vaikuttaa taipumaviivan muoto. Niveltuetun vakiopoikkileikkauksen omaavan sauvan pituus, jolla on sama nurjahduskuorma kuin tarkasteltavalla sauvala
- Ensimmäisen kertaluvun vaikutukset:* Lineaarisella menetelmällä lasketut voimasuureet, joiden laskennassa huomioidaan kuorman sijainnin alkuepä-tarkkuudet
- Nimellinen toisen kertaluvun momentti:* Lineaariseen laskentaan verrattuna suurennettu momentti, jonka avulla saadaan kokonaismomentti, joka vastaa poikkileikkauksen murtokestävyyttä
- Toisen kertaluvun vaikutukset:* Rakenteen siirtymätilasta aiheutuvat voimasuureiden lisäykset
- Kimmoinen muodonmuutos:* Muodonmuutos, josta kappale palautuu alkuperäiseen muotoonsa, kokoonsa ja tilavuuteensa kun voima lakkaa vaikuttamasta
- Plastinen muodonmuutos:* Muodonmuutos, josta kappale ei palaudu voiman vaikutuksen lakattua ja johon jää pysyviä muodonmuutoksia

## 1 Johdanto

Opinnäytetyön tilaajana toimii Finnmap Consulting Oy, joka on rakennetekniikkaan erikoistunut suunnittelu- ja konsultointiyritys. Yritys kuuluu FMC Group - konserniin, jonka palveluksessa on yli 1000 työntekijää ja jonka toiminta ulottuu Suomen lisäksi kaikkiin Baltian maihin, Venäjään, Puolaan sekä Intiaan.

Opinnäytetyön aihetta valitessa mietimme yrityksen edustajan kanssa, mikä aihe toisi konkreettista hyötyä käytännön suunnittelutyöhön. Lähtökohtana oli, että työ tutkisi eurokoodien mukanaan tuomia muutoksia teräsbetonirakenteiden suunnitteluun. Lopulta päätimme yhdistää tähän lähtökohtaan rakennesuunnittelussa käytetyn Robot Structural Analysis (jatkossa RSA) - ohjelman. Näin opinnäytetyön sisältö ja päämäärä tarkentui ja päätimme rajata aiheen teräsbetonipilareiden Eurokoodi 2:n mukaiseen mitoitukseen ja eri mitoitusmenetelmien vertailuun.

Rakennesuunnittelussa käytettäviä mitoitusohjelmia on tällä hetkellä käytössä runsaasti. Työn toteutukseen valittiin RSA - ohjelma, koska yrityksessä olisi tarkoitus keskittää rakenteiden mitoitus muutamalle ohjelmalle, joista RSA olisi yksi keskeisimmistä. Tarkoituksena on myös kartoittaa ja ratkaista teräsbetonipilarien mitoituksessa esiintyviä ongelmakohtia, jotka voisivat vääristää laskentamallin ja mitoitustulosten todenmukaisuutta.

Toisen kertaluvun laskentamenetelminä käytetään nimellisen kaarevuuden menetelmää ja nimellisen jäykkyyden menetelmää. Ohjelma huomioi vinon taivutuksen Eurokoodi 2:n mukaan joko sen antamalla yleisellä menetelmällä tai yksinkertaistetulla menetelmällä. Näillä menetelmillä saatuja mitoitustuloksia tullaan vertaamaan toisiinsa, jotta niiden väliset mahdollisesti merkittävät erot saadaan selvitettyä. Saatujen kokemusten ja tutkimustulosten perusteella tullaan tekemään työohje, joka helpottaa uusien rakennesuunnittelijoiden siirtymistä ohjelman käyttäjiksi.

## 2 Autodesk Robot Structural Analysis Professional 2012 - ohjelma

Opinnäytetyössä käytettiin RSA - ohjelman 2012 versiota. RSA on Autodesk - ohjelmistotalon julkaisema rakenteiden lujuusanalyysi- ja mitoitusohjelma rakennesuunnittelijoille. Sillä voidaan tutkia niin teräs-, betoni- kuin puurakenteitakin. Ohjelma pitää sisällään laajan materiaalitietokannan ja käyttäjä voi halutessaan tehdä tähän tietokantaan muutoksia tai lisäyksiä. Mitoitusnormeja ohjelmassa on kymmeniä, joten sen käyttö on mahdollista tehtäessä rakennesuunnittelua myös muualle kuin Suomeen.

### 2.1 Elementtimenetelmä

RSA - ohjelman käyttämä rakenteiden ratkaisumenetelmä on nimeltään elementtimenetelmä. Sen englanninkielinen nimi on Finite Element Method, josta tulee monien mitoitusohjelmien käyttämä FEM - lyhenne. Elementtimenetelmällä suoritettavasta laskennasta käytetään myös FEA - lyhennettä, joka tulee sanoista Finite Element Analysis. Vaikka numeerisia laskentamenetelmiä on kehitetty paljon, on elementtimenetelmä osoittautunut näistä parhaaksi ja sen takia sitä käytetään nykyään ylivoimaisesti eniten. Menetelmän käytännöllisyys perustuu pitkälti tietokoneisiin, jotka mahdollistavat useiden suurten laskutoimitusten tekemisen lyhyessä ajassa. [4, 1.1.]

#### 2.1.1 Elementtiverkko

Menetelmä jakaa muodoltaan monimutkaisen kappaleen useisiin geometrialtaan tarpeeksi yksinkertaisiin osiin. Näitä osia kutsutaan elementeiksi. Kolmiulotteisen kappaleen elementteinä voi toimia esimerkiksi neli-, viisi- ja kuusitahokkaita. Laattaelementteinä toimivat kolmio- tai nelikulmioelementit ja palkkielementteinä viivaelementit eli janaelementit. Vierekkäin sijaitsevat elementit kohtaavat toisensa pisteissä, joita menetelmässä kutsutaan solmuiksi. [4, 1.2.1.]

#### 2.1.2 Solmusuureet

Solmuissa sijaitsevat lujuuslaskennan kannalta välttämättömät suureet, jotka voidaan jakaa voima- ja siirtymäsuureisiin. Voimasuureita ovat jännityskomponentit, kannattimen poikkileikkauksen rasitukset ja pintarakenteen leikkauksen rasitustiheydet. Siirty-



mäsuureisiin kuuluvat rotaatio- ja translaatiosiiirtymät. Laskennassa käytettävät solmuosuureet riippuvat paljon siitä, millainen elementti on laskennan kohteena. [4, 1.2.2.]

### 2.1.3 Elementtityypit

FEM - ohjelmissa on valmiita elementtityyppejä, jotka kaikki perustuvat vastaavaan lujuusopin teoriaan. Laskenta kuitenkin toteutuu usein muutamalla kymmenellä perustyyppillä, sillä suuri osa elementtityypeistä on tehty varta vasten erikoistilanteita varten ja ne tulevat harvemmin käyttöön tavallisessa laskennassa. FEM - ohjelmien yhtenä vahvuutena on, että erilaisia elementtityyppejä pystyy laskennassa yhdistämään lähes rajoituksetta. Tämä mahdollistaa hyvinkin erilaisten rakenteiden suunnittelun ja mallintamisen. Erilaisia elementtityyppejä ovat esimerkiksi sauvaelementit, palkkielementit, 2D - ja 3D - solidielementit, laattaelementit ja kuorielementit. [4, 1.3.1.] Kuitenkin esimerkiksi 3D - solidielementin ja palkkielementin yhdistäminen johtaa käytännön laskennassa ongelmiin ja sitä tulisi välttää, koska 3D - elementille ei ole lainkaan määritetty rotaatiovapausasteita.

## 3 Teräsbetonipilarin mitoitus EN:n mukaan

Teräsbetonipilareiden mitoitukseen vaikuttaa oleellisesti pilarin hoikkuus ( $\lambda$ ). Jos hoikkuus ylittää sille annetun raja-arvon  $\lambda_{lim}$ , täytyy laskennassa ottaa huomioon myös pilarin hoikkuudesta johtuva toisen kertaluvun vaikutus. Toisen kertaluvun vaikutuksilla tarkoitetaan muodonmuutostilan aiheuttamia rasituksia. Tämän takia sen laskennassa täytyy ottaa huomioon myös viruma.

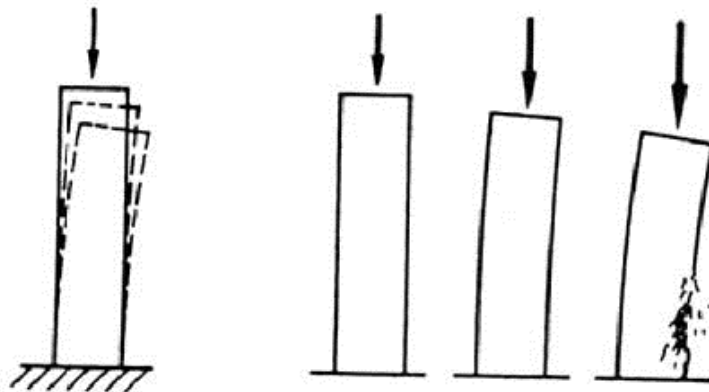
Eurokoodi 1992-1-1 esittää kolme menetelmää toisen kertaluvun vaikutusten laskemiseksi. Epälineaariseen toisen kertaluvun analyysiin perustuvan yleisen menetelmän sekä kaksi yksinkertaistettua menetelmää: Nimelliseen jäykkyyteen perustuvan menetelmän sekä nimelliseen kaarevuuteen perustuvan menetelmän. Tässä opinnäytetyössä perehdytään yksinkertaistettuihin menetelmiin ja yleisestä menetelmästä käydään pääpiirteet lävitse.

### 3.1 Puristetun teräsbetonipilarin toiminta

Pilarit ovat sauvarakenteita, joiden rasituksista merkittävä osuus tulee puristavasta normaalivoimasta. Pilarien toimintatapaan vaikuttaa pääasiassa pilarin hoikkuus ja sitä rasittavan normaalivoiman epäkeskisyys, joka aiheuttaa pilariin taivutusmomenttia. [7, s.49.] Epäkeskisyyden lisäksi pilariin syntyy taivutusmomenttia myös seuraavista syistä

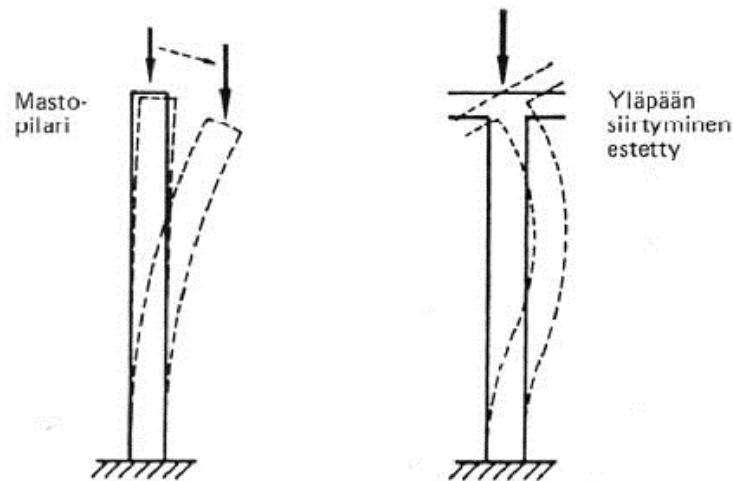
- Pilari ei koskaan ole täysin keskeinen, vaan enemmän tai vähemmän käyrä
- Pilari ei ole todellisuudessa täysin homogeeninen
- Pilarin painopiste akseli ei ole tarkasti keskellä [5, s.163.]

Pilarilla on kaksi pääasiallista murtumistapaa. Hoikkuuden perusteella murtuminen voi tapahtua joko materiaalmurtona tai stabiiliusmurtona.



Kuvio 1. Jäykän teräsbetonipilarin materiaalmurtuminen [5, kuva 7.1].

Materiaalmurrossa pilarin murtuminen aiheutuu betonin puristumuksesta tai raudituksen myötäämisestä. Nämä voivat myös yhdessä johtaa materiaalmurtumisen. [7, s.49.]



Kuvio 2. Hoikan teräsbetonipilarin stabiiliusmurto [5, kuva 7.2].

Kuormituksen kasvu aiheuttaa hoikkiin pilareihin normaalivoimaan nähden suuremman momentin kuin jäykkiin pilareihin. Murtuminen tapahtuu, kun vetopuolen rauditus alkaa myötää ja taipuma sekä momentti kasvavat tämän seurauksena nopeasti. Murtumisvaihe ei ole nopea, vaan se voi kestää jopa vuorokausia. Vaikka normaalivoima pysyy samansuuruisena, kasvaa taipuma ja momentti betonin viruman takia. Hoikan pilarin murtuminen on sitkeämpää kuin jäykän pilarin. Myös murtumisen alkaminen on suurten sivutaipumien takia helpommin havaittavissa hoikilla pilareilla. Taipuma aiheuttaa hoikkiin rakenteisiin myös lisäepäkeskisyyttä, jonka suuruuteen vaikuttavat pilarin hoikkuus ja nurjahduspituus. [5, 7.1.]

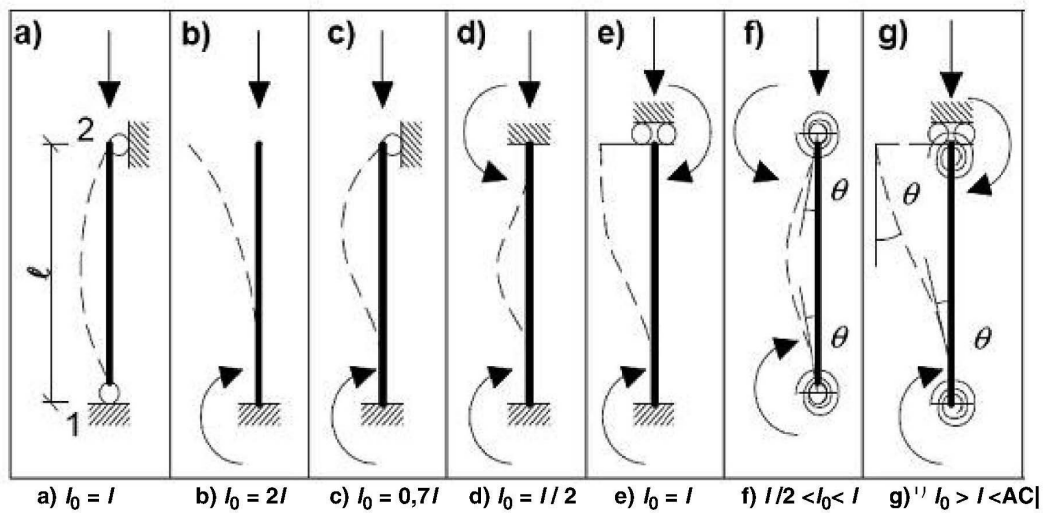
Epäkeskisyyksien lisäksi puristettujen pilarien rasituksiin vaikuttavat myös tuentatavat ja sivusiirtymät. Pilari voidaan ajatella sivusiirtymättömäksi, jos rakennuksen runkoon liittyy jäykistäviä rakenteita, jotka estävät pilarin nurkkien siirtymät molempiin suuntiin. [5, 7.1.]

### 3.2 Erillisten sauvojen hoikkuus

Teräsbetonipilarit luokitellaan niiden hoikkuuden perusteella jäykkiin ja hoikkiin pilareihin. Pilari on hoikka, jos sen hoikkuusluku ( $\lambda$ ) on suurempi kuin hoikkuuden raja-arvo ( $\lambda_{lim}$ ) eli  $\lambda \geq \lambda_{lim}$ . Erillisen sauvan hoikkuusluku määritellään seuraavan kaavan mukaan

$$\lambda = l_0/i \quad (1)$$

missä,	$l_0$	nurjahduspituus
	$i$	jäyhyysäde halkeilemattomalle betonipoikkileikkaukselle
	$\lambda$	suorakaidepoikkileikkaukselle $\lambda = 3,46 \cdot l_0/h$ [9, s.32].
		ympyräpoikkileikkaukselle $\lambda = 4,0 \cdot l_0/d$ [9, s.32].
missä,	$h$	poikkileikkauksen korkeus tarkasteltavaan suuntaan
	$d$	poikkileikkauksen halkaisija



Kuvio 3. Sauvarakenteille tyypillisiä nurjahdusmuotoja ja nurjahduspituuksia  $l_0$  [3, kuva 5.7].

Puristussauvojen nurjahduspituus säännöllisillä kehillä määritetään seuraavasti:

Jäykistetyt sauvat (kuvio 3. tapaus f)

$$l_0 = 0,5l \cdot \sqrt{\left(1 + \frac{k_1}{0,45+k_1}\right) \cdot \left(1 + \frac{k_2}{0,45+k_2}\right)} \quad (2)$$

Jäykistämättömät sauvat (kuvio 3. tapaus g)

$$l_0 = l \cdot \max \left\{ \sqrt{1 + 10 \cdot \frac{k_1 \cdot k_2}{k_1 + k_2}}; \left(1 + \frac{k_1}{1+k_1}\right) \cdot \left(1 + \frac{k_2}{1+k_2}\right) \right\} \quad (3)$$

missä,	$k_1, k_2$	päiden kiertymäjoustavuuksien suhteelliset arvot $k = (\theta/M) \cdot (EI/l)$
missä,	$\theta$	kiinnitysmomenttia $M$ vastaava kiertymistä vastustavien sauvojen kiertymä
	$EI$	puristussauvan taivutusjäykkyys
	$l$	puristussauvan vapaa korkeus kiinnityskohtien välillä

Sauvan pään kiertymäjoustavuuden arvo  $k = 0$  vastaa teoreettista täysin jäykkää kiinnitystä ja arvo  $k = \infty$  vastaa vapaasti kiertyvää päätä. Kiertymäjoustavuuksille suositellaan minimiarvoja 0,1, koska täysin jäykkä kiinnitys on teoreettinen otaksuma, jota ei esiinny todellisissa rakenteissa. [3, s.66.]

### 3.3 Erillisten sauvojen hoikkuuskriteeri

Toisen kertaluvun vaikutuksia ei aina tarvitse huomioida. Tapauksissa, joissa sauvan hoikkuusluku ( $\lambda$ ) on hoikkuuden raja-arvoa ( $\lambda_{lim}$ ) pienempi, voidaan se jättää huomioida. [1, s.54.]

$$\lambda_{lim} = 20 \cdot A \cdot B \cdot \frac{C}{\sqrt{n}} \quad (4)$$

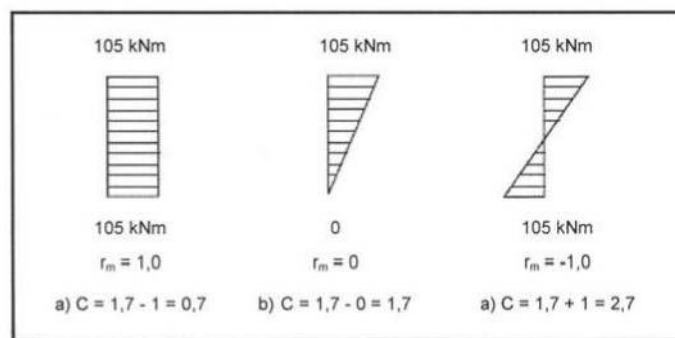
missä,	$A = 1/(1 + 0,2 \cdot \varphi_{ef})$	voidaan käyttää arvoa	$A = 0,7$
	$B = \sqrt{(1 + 2\omega)}$	voidaan käyttää arvoa	$B = 1,1$
	$C = 1,7 - r_m$	voidaan käyttää arvoa	$C = 0,7$
	$\varphi_{ef}$	virumaluku (kohta 3.4)	
	$\omega = A_s \cdot f_{yd}/(A_c \cdot f_{cd})$	mekaaninen raudoitussuhde	
	$n = N_{Ed}/(A_c \cdot f_{cd})$	suhteellinen normaalivoima	

$$r_m = M_{01}/M_{02}$$

päätemomenttien suhde,  $|M_{02}| \geq |M_{01}|$

Kertoimista  $A$ ,  $B$  ja  $C$ , kertoimella  $C$  on merkittävin vaikutus hoikkuuden raja-arvoon. Se on myös helpoin kerroin laskea, joten  $\lambda_{lim}$  alustava määrittäminen voidaan tehdä laske-  
malla vain kerroin  $C$  ja käyttämällä kertoimille  $A$  ja  $B$  oletusarvoja. [2, s.8.]

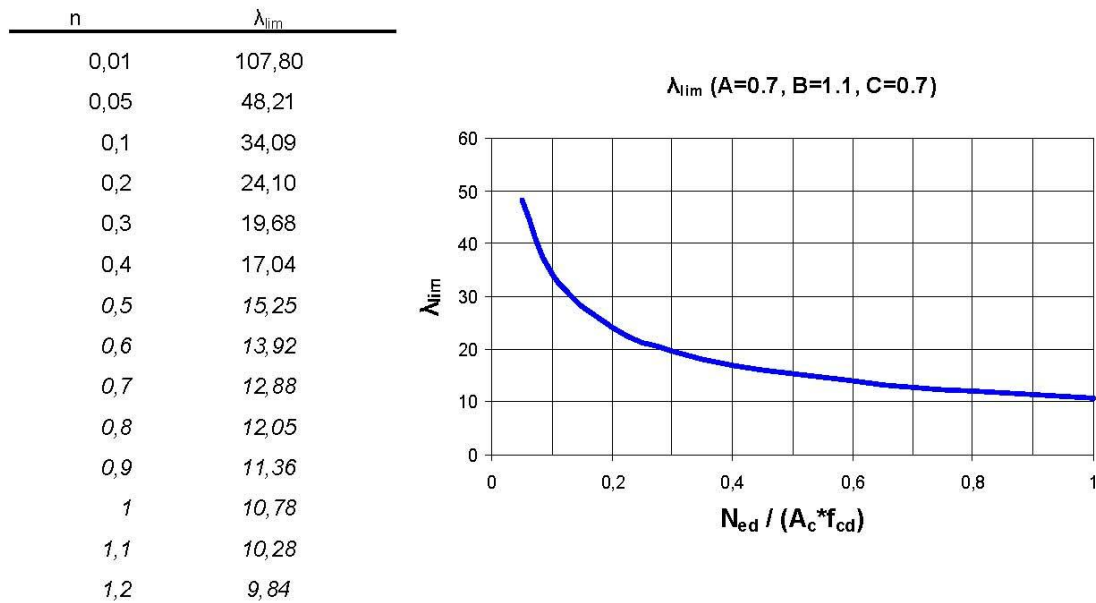
Tapauksissa, joissa päätemomentit  $M_{01}$  ja  $M_{02}$  aiheuttavat venymän rakenteen samalle puolelle on  $r_m$  positiivinen ( $C \leq 1,7$ ), muissa tapauksissa  $r_m$  on negatiivinen ( $C > 1,7$ ). [1, 55].



Kuvio 4. Momenttipinnan vaikutus kertoimen  $C$  määrittämiseen [2, kuva.6].

Seuraavien tapausten yhteydessä suhde  $r_m$  saa arvon  $1,0$  ( $C = 0,7$ )

- Jäykistetyt rakenneosat, joissa ensimmäisen kertaluvun momentteja syntyy vain tai ensisijaisesti epätarkkuuksista tai poikittaiskuormituksesta
- Jäykistämättömät rakenneosat yleensä



Kuvio 5. Suhteellisen normaalivoiman ( $n$ ) vaikutus hoikkuuden raja-arvoon ( $\lambda_{lim}$ ) kun käytetään arvoja  $A = 0,7$ ,  $B = 1,1$  ja  $C = 0,7$  [1, s.55].

Tarkasteltavaan sauvaan vaikuttavan vinon taivutuksen ollessa kyseessä hoikkuusehto tarkistetaan erikseen kumpaankin suuntiin. Tällöin toisen kertaluvun vaikutukset voidaan ottaa huomioon molemmissa suunnissa, vain toisessa suunnassa tai ne voidaan jättää kokonaan huomioimatta. [9, s.34.]

Suomen Rakentamismääräyskokoelman B4 Betonirakenteet mukaan mitoitettaessa pilarin hoikkuuden ylärajalle ei ole erillistä kaavaa. Betoninormit toteavat, että raudoitetun pilarin hoikkuus ei saa ylittää arvoa  $\lambda \leq 140$ . Pilarit, joilla  $\lambda \leq 25$  kuuluvat jäykkiin ja pilarit, joilla  $\lambda > 25$  kuuluvat hoikkiin. [11, s.421.] Betonirakenteiden suunnitteluohje RIL 202- 2011/By61 toteaa, että eurokoodeilla mitoitettaessa hoikkuus ei saa ylittää arvoa  $\lambda \leq 100$ . Tämä yläraja on esitetty nimellisen kaarevuuden menetelmään perustuvan laskennan yhteydessä. [9, s.33]. Erillinen laskettava hoikkuuden raja-arvo ( $\lambda_{lim}$ ) on tullut käyttöön Eurokoodin mukana.

### 3.4 Viruminen

Virumalla eli hiipumalla tarkoitetaan ajan kuluessa jatkuvaa muodonmuutosta, josta seuraa yleisesti teräsbetonirakenteessa rakenteen taipumien kasvu. Siinä geeli-huokosissa oleva vesi kuormituksesta johtuvan paineen takia liikkuu/poistuu ja samalla

sementtigeeli tiivistyy. Sementtigeelin tiivistymisen takia muodonmuutos ei ole palautuva, vaikka vesi imeytyy takaisin geelihuokosiin. Betonin virumaan vaikuttavat betonin jännitystaso, lujuus, koostumus, ikä, kuormituksen alkamishetki, sementtityyppi ja kosteusolosuhteet. Viruma on suurempaa kuivissa, kuin kosteissa olosuhteissa. Myös rakenteen poikkileikkaus vaikuttaa virumaan nimellisen paksuuden ( $h_0$ ) kautta, koska isossa poikkileikkauksessa viruma on hitaampaa kuin pienessä. [10, s.88.]

Virumista esiintyy kaikkien jännitystapausten – puristus-, veto-, taivutus-, leikkaus- ja vääntöjännitys – yhteydessä ja sen vaikutus betonin kokonaismuodonmuutokseen on merkittävä. Betonin ollessa kuivassa sisätilassa sen viruma on kimmoiseen muodonmuutokseen nähden noin kolminkertainen, mutta ulko-olosuhteissa nämä ovat yhtä suuria. [10, s.88.]

Toisen kertaluvun tarkastelussa virumisasteen  $\varphi_{ef}$  avulla voidaan kuormien kesto ottaa huomioon yksinkertaistetulla tavalla. Pitkäaikaikuormaa vastaava viruma (käyritymä) saadaan sen ja mitoituskuorman avulla. [1, s.60.]

Virumisasteen  $\varphi_{ef}$  laskenta

$$\varphi_{ef} = \varphi(\infty, t_0) \cdot \frac{M_{0Eqp}}{M_{0Ed}} \quad (5)$$

missä,  $\varphi(\infty, t_0)$  virumaluvun loppuarvo

$M_{0Eqp}$  Lineaarisen laskennan mukainen taivutusmomentti käyttörajatilassa kuormien pitkäaikaisyhdistelmälle

$M_{0Ed}$  Lineaarisen laskennan mukainen taivutusmomentti murtorajatilassa kuormien mitoitusarvojen vaikuttaessa yhdistelmänä

Virumisen vaikutusta ei aina tarvitse huomioida. Mikäli seuraavat kolme ehtoa toteutuvat, voidaan olettaa, että  $\varphi_{ef} = 0$ . [1, s.60.]

$$\varphi(\infty, t_0) \leq 2$$

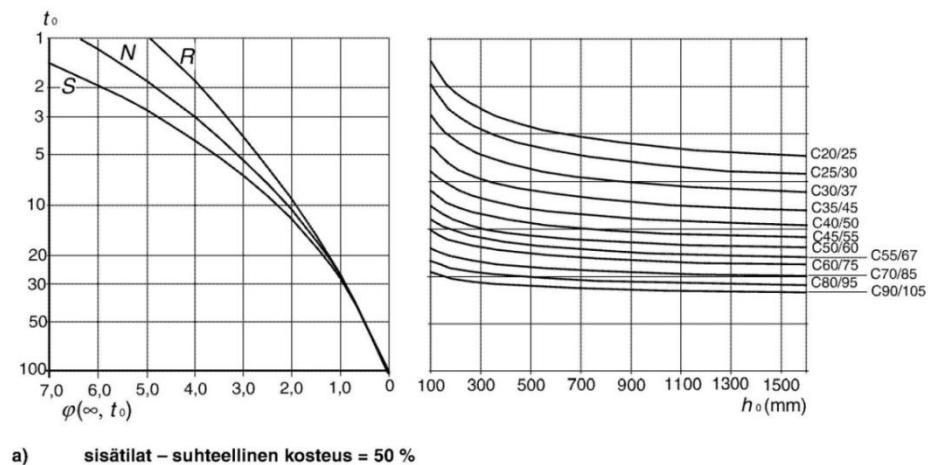


$$\lambda \leq 75$$

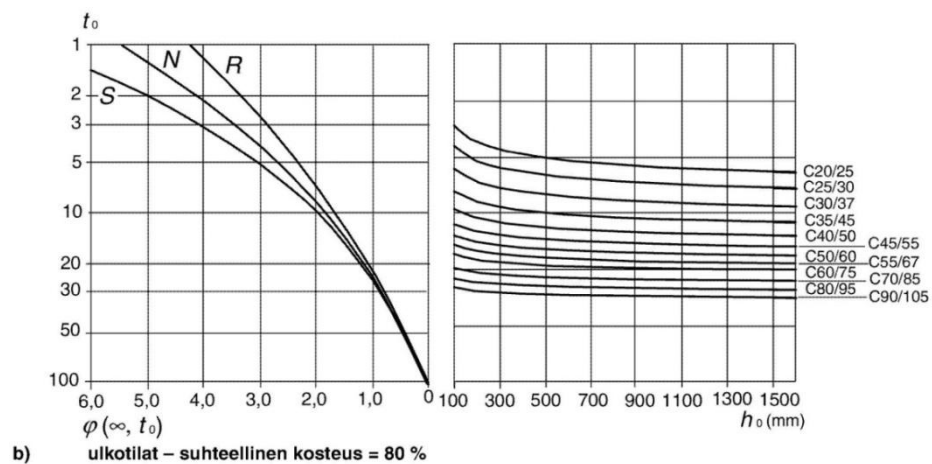
$$M_{0Ed}/N_{Ed} \geq h$$

missä,  $h$  poikkileikkauksen korkeus tarkasteltavaan suuntaan

Laskennallisen määrittämisen lisäksi virumaluku  $\varphi(\infty, t_o)$  voidaan määritellä myös nomogrammeilla. Nomogrammien antamat arvot ovat voimassa, mikäli ympäristön lämpötila on  $-40\text{ }^{\circ}\text{C}$  ja  $+40\text{ }^{\circ}\text{C}$  välissä ja keskimääräinen suhteellinen kosteus (RH) on arvojen 40 % ja 100 % välissä. [3, s.32]. Myös betonin valmistuksessa käytettävä sementtityyppi tulee olla tiedossa. Suunnitteluvaiheessa sementtityypiksi voidaan kuitenkin yleensä olettaa N, mikä on yleisimmin käytetty sementtityyppi. [2, s.9-10].



Kuvio 6. Virumaluku sisätilassa kun suhteellinen kosteus on 50 %. [3, kuva 3.1].



Kuvio 7. Virumaluku ulkotilassa kun suhteellinen kosteus on 80 %. [3, kuva 3.1].

	$t_0$	betonin ikä kuormituksen alkaessa (vrk)
	$h_0$	poikkileikkauksen muunnettu paksuus, $h_0 = 2A_c/u$
missä,	$u$	piirin pituus poikkileikkausalueella, missä kuivumista voi tapahtua
	$A_c$	betonipoikkileikkauksen pinta-ala

### 3.5 Mittaepätarkkuudet

Rakenneosien ja rakenteiden analyysissä tulee huomioida rakenteen mittapoikkeamat ja kuormien sijaintien epäedulliset vaikutukset. Puristavan normaalivoiman kuormittamisissa rakenneosissa ja rakenteissa voidaan käyttää seuraavia sääntöjä. Numeroarvot vastaavat normaaleja toteutuksessa syntyviä poikkeamia. [1, s.54.]

Epätarkkuudet voidaan esittää vinouden  $\theta_i$  avulla

$$\theta_i = \theta_o \cdot \alpha_h \cdot \alpha_m \quad (6)$$

missä,	$\theta_o$	vinouden perusarvo $\theta_o = 1/200$
	$\alpha_h$	pituuteen tai korkeuteen perustuva pienennyskerroin $\alpha_h = 2/\sqrt{l}; \quad 2/3 \leq \alpha_h \leq 1$
missä,	$l$	rakenneosan pituus tai korkeus (m)
	$\alpha_m$	rakenneosien määrään perustuva pienennyskerroin $\alpha_m = \sqrt{0,5 \cdot (1 + 1/m)}$
missä,	$m$	kokonaisvaikutuksen aiheuttavien pystyrakenneosien määrä

Suureet  $l$  ja  $m$  riippuvat tarkasteltavasta vaikutuksesta. Näille voidaan erottaa kolme päätapausta.

- Vaikutus erilliseen rakenneosaan:  $l$  = rakenneosan todellinen pituus,  $m = 1$ .
- Vaikutus jäykistysjärjestelmään:  $l$  = rakennuksen korkeus,  $m$  = jäykistysjärjestelmän vakavoimaan vaikuttavien pystyrakenneosien määrä.
- Vaikutus vaakakuormia jakaviin välipohjan, yläpohjan tai vesikaton levykenttiin.  $l$  = kerroskorkeus,  $m$  = kussakin kerroksessa olevien, kerroksen kokonaisvaakavoimaan vaikuttavien pystyrakenneosien määrä. [1, s.55.]

Erillisten rakennusosien ollessa kyseessä epätarkkuuksien vaikutus voidaan huomioida kahdella eri tavalla

1. epäkeskisyyden  $e_i$  avulla

$$e_i = \theta_i \cdot l_0 / 2 \quad (7)$$

missä,  $l_0$  tehollinen pituus (kohta 3.2)

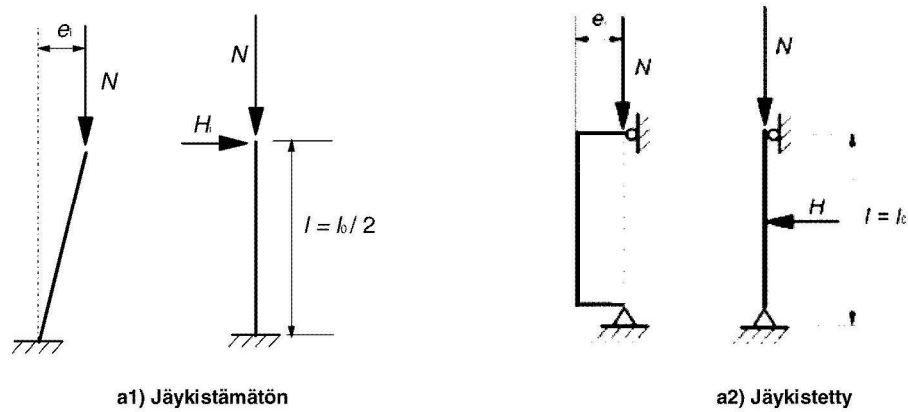
Jäykistettyjen järjestelmien erillisille pilareille voidaan käyttää epäkeskisyyden arvona yksinkertaistusta  $e_i = l_0 / 400$ . [1, s.46].

2. poikittaisvoiman  $H_i$  avulla, joka sijoitetaan maksimimomentin antavaan kohtaan.

$$\text{Jäykistämättömissä rakenneosissa} \quad H_i = \theta_i \cdot N \quad (8)$$

$$\text{Jäykistetyissä rakenneosissa} \quad H_i = 2\theta_i \cdot N \quad (9)$$

On huomioitava, että epäkeskisyyden käyttö sopii staattisesti määrätyille rakenteille. Poikittaisvoimaa voidaan taas käyttää sekä määrättyjen, että määräämättömien rakenteiden yhteydessä. [1,s.55.]



Kuvio 8. Mittaepätarkkuuksien vaikutuksia erillisiin rakenneosiin, joihin vaikuttaa epäkeskinen normaalivoima tai poikittaisvoima [1, kuva 5.1].

Puristetulle rakenteelle on määritetty epäkeskisyyden minimiarvo. Tätä käytetään vain tapauksissa, joissa 1. kertaluvun kuormituksen, 2. kertaluvun vaikutuksen ja vinouden aiheuttama epäkeskisyyden summa on pienempi kuin  $e_0$ . Seuraavia  $e_{0,min}$  arvoja voidaan käyttää myös raudoittamattomien rakenteiden yhteydessä. [6, s.3.]

$$e_{0,min} = \max (h/30 ; 20 \text{ mm}) \quad (10)$$

missä,  $h$  poikkileikkauksen korkeus tarkasteltavaan suuntaan

### 3.6 Yleinen menetelmä

Menetelmä perustuu epälineaariseen analyysiin, joka pitää sisällään toisen kertaluvun vaikutukset. Betonille ja teräkselle käytetään rakenteiden kokonaistarkasteluun sopivia jännitys-muodonmuutosyhteyksiä ja menetelmässä otetaan huomioon viruminen. Tapauksissa, joissa jännitys-muodonmuutosyhteydet perustuvat mitoitusarvoihin, saadaan murtokuorman mitoitusarvo suoraan analyysistä. [3, s.68.]

$$E_{cd} = E_{cm} / \gamma_{CE} \quad (11)$$

missä,  $E_{cm}$  betonin sekanttikerroin

$\gamma_{CE}$  osavarmuusluku

Seuraava kaava esittää betonin puristusjännityksen  $\sigma_c$  ja puristuman  $\varepsilon_c$  välistä yhteyttä lyhytaikaiselle aksiaaliselle kuormitukselle. Kaava on voimassa, kun  $0 < |\varepsilon_c| < |\varepsilon_{cu1}|$ , missä  $\varepsilon_{cu1}$  tarkoittaa murtopuristuman nimellisarvoa. [3, s.34.]

$$\frac{\sigma_c}{f_{cm}} = \frac{k\eta - \eta^2}{1 + (k-2)\eta} \quad (12)$$

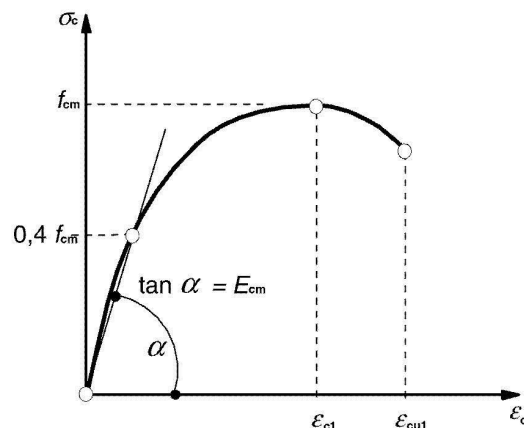
missä,  $\eta = \varepsilon_c / \varepsilon_{c1}$

$\varepsilon_{c1}$  muodonmuutos jännityksen huippuarvon kohdalla

$k = 1,05 \cdot E_{cm} \cdot \chi \cdot |\varepsilon_{c1}| / f_{cm}$

$\sigma_c$  puristusjännitys

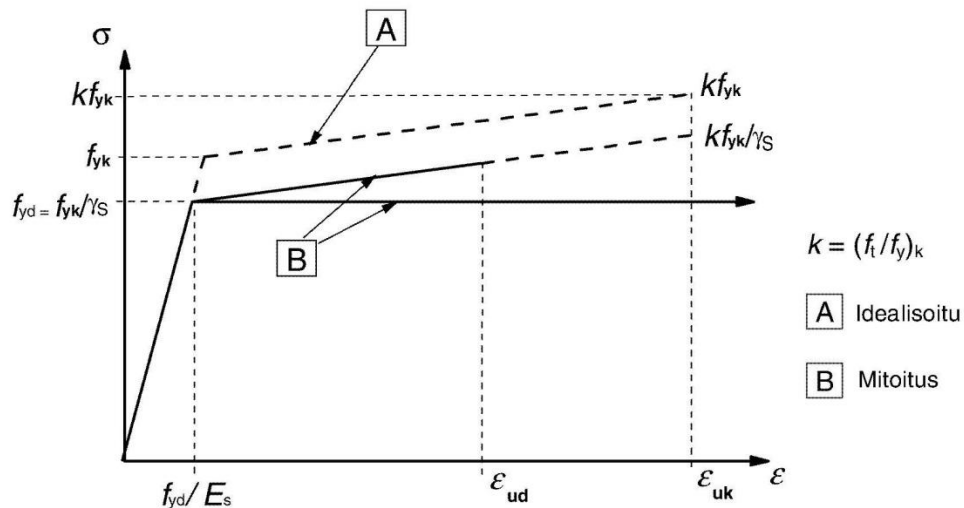
$f_{cm}$  betonin keskimääräinen puristuslujuus  $f_{cm} = f_{ck} + 8 \text{ MPa}$



Kuvio 9. Periaatekuva jännitys-muodonmuutosyhteydelle. Sekanttimoduuli määritellään likimäärin jännitystä  $0,4 \cdot f_{cm}$  vastaavaksi. [3, kuva 3.2].

Jännitys-venymäyhteyden mallina voidaan käyttää toista seuraavista

1. nouseva jännitys muodonmuutoksen sallittuun ylärajaan  $\varepsilon_{ud}$  saakka. Jännitys määritellään kuvan 10 suorasta, jossa muodonmuutosta  $\varepsilon_{uk}$  vastaa jännitys  $k \cdot f_{yk} / \gamma_s$ , missä  $k = (f_t / f_y)_k$
2. myötörajan saavuttamisen jälkeen jännitys pysyy vakiona, jolloin muodonmuutoksen suuruutta ei tarvitse rajoittaa. [3, s.41.]



Kuvio 10. Betoniteräksen idealisoitu jännitys-venymäkuvaaja ja mitoituskuvaajat [3, kuva 3.8].

Kuvaa käytettäessä teräksen tiheyden ( $\rho_s$ ) arvo on  $7850 \text{ kg/m}^3$  ja kimmokertoimen ( $E_s$ ) arvo on  $200 \text{ GPa}$ .

### 3.7 Nimelliseen kaarevuuteen perustuva menetelmä

Menetelmä soveltuu parhaiten käytettäväksi pilareille, joita tarkastellaan erillisinä rakenneosina ja joiden normaalivoima on vakio sekä nurjahduspituus ( $l_0$ ) tunnettu. Menetelmä antaa taipumaan perustuvan nimellisen lisämomentin, kun nurjahduspituuden mukaan arvioidun kaarevuuden maksimiarvon avulla lasketaan taipuma. [1, s.61.]

#### 3.7.1 Taivutusmomentit

Nimellisen kaarevuuden menetelmässä käytettävä mitoitusmomentti lasketaan seuraavan kaavan mukaan [1, s.61]:

$$M_{Ed} = \max \{M_{02}, M_{0Ed} + M_2, M_{01} + 0.5 \cdot M_2\} \quad (13)$$

missä,  $M_{0Ed}$  Momentti, joka saadaan ensimmäisen kertaluvun analyysistä. Pitää sisällään myös epätarkkuuksien vaikutukset.

$M_2$  Lisämomentti eli toisen kertaluvun momentti

$M_{01}$  Sauvan päässä vaikuttava ensimmäisen kertaluokan momentti  $M_{01} = M_{01,end} + e_i N_{Ed}$   $|M_{01} \leq M_{02}|$

$M_{02}$  Sauvan päässä vaikuttava ensimmäisen kertaluokan momentti  $M_{02} = M_{02,end} + e_i N_{Ed}$   $|M_{02} \geq M_{01}|$

missä,  $e_i$  Epäkeskisyys (luku 3.5)

Nimellinen lisämomentti  $M_2$  huomioi toisen kertaluvun vaikutuksen.

$$M_2 = N_{Ed} \cdot e_2 \quad (14)$$

missä,  $N_{Ed}$  normaalivoiman mitoitusarvo

$e_2$  taipuma (2. kertaluvun epäkeskisyys)  $e_2 = \frac{1}{r} \cdot \frac{l_0^2}{c}$

missä,  $1/r$  kaarevuus (luku 3.7.2)

$l_0$  nurjahduspituus (luku 3.2)

$c$  kerroin joka riippuu kokonaiskaarevuudesta

Jos laskettavalla rakenneosalla on vakiopoikkileikkaus, voidaan kertoimelle  $c$  käyttää arvoa  $c = 10$  ( $\approx \pi^2$ ), joka tarkoittaa kaarevuuden sinimuotoista jakaumaa. Mikäli  $M_{0Ed}$  on vakio, tulee käyttää tätä pienempää arvoa. Kyseisessä tapauksessa alarajana toimii 8, joka vastaa vakiosuuruista kokonaismomenttia. [1, s.61.]

### 3.7.2 Kaarevuuden laskenta

Pilareissa, joissa sekä poikkileikkaus että raudoitus on symmetrinen, voidaan käyttää seuraavaa kaavaa kaarevuuden laskemiseksi. [1, s.61].

$$\frac{1}{r} = K_r \cdot K_\phi \cdot \frac{1}{r_0} \quad (15)$$

missä,  $K_r$  normaalivoimasta riippuva korjauskerroin

$K_{\varphi}$  virumisen huomioiva kerroin

$$1/r_0 = \varepsilon_{yd}/(0,45 \cdot d)$$

missä,  $\varepsilon_{yd} = f_{yd}/E_s$

$d$  tehollinen korkeus

Korjauskerroin  $K_r$  lasketaan seuraavasti

$$K_r = \frac{n_u - n}{n_u - n_{bal}} \leq 1 \quad (16)$$

missä,  $n$  suhteellinen normaalivoima  $n = N_{Ed}/(A_c \cdot f_{cd})$

$$n_u = 1 + \omega$$

$n_{bal}$  = 0,4 suhteellisen normaalivoiman arvo, kun taivutuskestävyydellä on maksimiarvo

$\omega$  mekaaninen raudoitussuhde  $\omega = (A_s \cdot f_{yd})/(A_c \cdot f_{cd})$

missä,  $A_s$  raudoituksen kokonaispinta-ala

$A_c$  betonipoikkileikkauksen pinta-ala

Virumisen vaikutuksen huomioiva kerroin  $K_{\varphi}$  lasketaan seuraavasti

$$K_{\varphi} = 1 + \beta \cdot \varphi_{ef} \geq 1 \quad (17)$$

missä,  $\varphi_{ef}$  virumisaste (luku 3.4)

$$\beta = 0,35 + \frac{f_{ck}}{200} - \frac{\lambda}{150}$$

missä,  $\lambda$  hoikkuusluku



Yllä esitetyn laskentaprosessin avulla voidaan laskea toisen kertaluvun aiheuttama rasi-  
tus ja teräsbetonipilarin mitoittava momentti kohdan 3.7.1 kaavan 13 mukaan.

Tässä laskennassa työläin vaihe on toisen kertaluvun epäkeskisyyden  $e_2$  laskeminen.  
Usein voidaan toisen kertaluvun epäkeskisyys laskea varmalle puolelle kaavasta [9,  
s.33]:

$$e_2 = (\lambda/130)^2 \cdot d \quad (18)$$

missä,  $\lambda$  hoikkuusluku

$d$  rakenneosan tehollinen korkeus

### 3.7.3 Minimi- ja maksimiraudoitus

Eurokoodi määrittää vähimmäisraudoituksen teräsbetonipilareille. Vähimmäisraudoituk-  
sen tarve on sama kuin taivutetuissa rakenteissa. Pilareihin kohdistuu aina enemmän  
tai vähemmän taivutusta ja minimiraudoituksella varmistetaan, että pilari pystyy otta-  
man vetorasituksia vetohalkeamien synnyttyä. [5, 7.6.3.]

$$A_s = \max \left\{ \frac{0,10 \cdot N_{Ed}}{f_{yd}}; 0,002 \cdot A_c \right\} \quad (19)$$

missä,  $f_{yd}$  raudoituksen myötölujuuden mitoitusarvo

$N_{Ed}$  puristavan normaalivoiman mitoitusarvo

Minimiraudoituksen lisäksi Eurokoodi 2 antaa myös suurimman sallitun pinta-alan pää-  
raudoitukselle. Näiden kaavojen käyttö edellyttää että raudoitus mahtuu rakenteeseen.

$$A_{s,max} = 0,06 \cdot A_c$$

$$A_{s,max} = 0,12 \cdot A_c \quad \text{limityskohdissa}$$

Pääraudoitustankojen koolle on annettu seuraava alaraja

$$\phi_{min} = 8mm$$

Pilarin muoto vaikuttaa minimiraudoituksen sijoitteluun. Monikulmion muotoisilla pilareilla tulee sijoittaa vähintään yksi tanko jokaiseen kulmaan. Pyöreissä pilareissa vaaditaan vähintään neljä päätankoa. Lisäksi jokainen poikkileikkauksen nurkassa sijaitseva päätanko tulee sitoa haoilla. [1, s.127.]

Pääraudoitusta sitovalle hakaraudoitukselle on annettu myös omat minimivaatimuksensa. Hakaraudoituksen halkaisijan tulee olla vähintään 6 mm tai neljäsosa pääraudoituksen tankokoosta sen mukaan, kumpi on suurempi. Hitsattujen verkkojen tapauksessa halkaisija tulee olla vähintään 5 mm. [1, s.127.]

Hakaraudoituksen maksimi tankovälin  $s_{cl,tmax}$  tulee olla pienin seuraavista

$$s_{cl,tmax} = \min\{15\phi; b; h; 400mm\} \quad (20)$$

missä,  $\phi$  päätankojen pienin halkaisija

$b, h$  pilarin sivumitat

Edellä esitettyä enimmäishakaväliä täytyy pienentää kertoimella 0,6 seuraavissa tapauksissa:

1. Pilarien päissä poikkileikkauksen suuremman mitan matkalla palkin tai laatan ylä- tai alapinnasta.
2. Lähellä limijatkoksia, jos päätankojen suurin halkaisija on suurempi kuin 14 mm. Limityspituudella sijoitetaan vähintään 3 haka tasaisin välein. [9, s.127].

### 3.7.4 Raudoituksen määrittäminen yhteisvaikutusdiagrammin avulla

Teräsbetonipilarien raudoituksen määrittämistä varten on laadittu valmiiksi erillisiä yhteisvaikutusdiagrammeja. Diagrammista saadaan poikkileikkauksen mekaaninen raudoitussuhde ( $\omega$ ) suhteellisen momentin ( $\mu$ ) ja suhteellisen normaalivoiman ( $n$ ) avulla. [1,s.152.]

$$\mu = \frac{M_{0Ed}}{b \cdot h^2 \cdot f_{cd}} \quad (21)$$

missä,  $M_{0Ed}$  Ensimmäisen kertaluvun analyysistä saatu momentti.  
 $M_2$  huomioitu diagrammeissa valmiiksi hoikkuuden ( $\lambda$ ) eri arvoilla

$b$  pilarin sivumitta

$h$  pilarin sivumitta

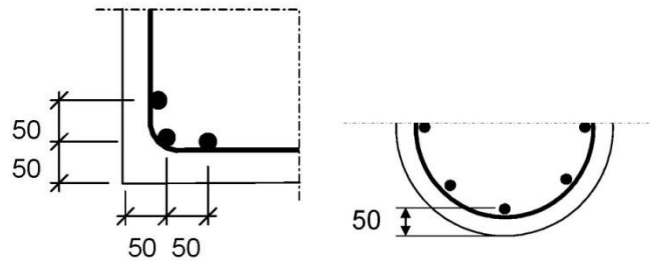
$f_{cd}$  betonin mitoituspuristuslujuus

$$n = \frac{N_{Ed}}{b \cdot h \cdot f_{cd}} \quad (22)$$

missä,  $N_{Ed}$  normaalivoiman mitoitusarvo

Diagrammien käytössä on huomioitava seuraavat asiat:

1. Pilarit on oletettu symmetrisesti raudoitetuiksi alla olevien kuvien mukaisesti. Pyöreissä pilareissa päätankojen keskiöetäisyys pilarin pinnasta on myös 50 mm.
2. Suhteellinen raudoitus on laskettu poikkileikkauksen koko raudoitismäärän mukaiseksi.
3. Virumaluku on 2,5
4. Momenttien suhde  $M_{0Eqp}/M_{0Ed} = 0,5$  [1,s.152.]



Kuvio 11. Päätankojen keskiöetäisyys yhteisvaikutusdiagrammeja käytettäessä [1,s.152].

### 3.8 Nimelliseen jäykkyyteen perustuva menetelmä

Taivutusjäykkyyden nimellisarvoja käytetään tarkasteltaessa toisen kertaluvun vaikutuksia nimellisen jäykkyyden menetelmällä, tällöin otetaan huomioon halkeilun, materiaalin epälineaarisuuden ja virumisen vaikutukset kokonaistoimintaan. [3, s.69].

Nimellisjäykkyyden laskennassa lasketaan jäykkyys erikseen betonille sekä raudoitukselle. Tätä jäykkyyksmallia voidaan käyttää kun lasketaan nimellisjäykkyyttä hoikille, poikkileikkaukseltaan mielivaltaisille puristussauvoille. [3, s.69.]

$$EI = K_c \cdot E_{cd} \cdot I_c + K_s \cdot E_s \cdot I_s \quad (23)$$

missä,	$K_c$	Jäykkyyden vaikutuskerroin betonille, huomioi halkeilun ja virumisen vaikutuksen
	$E_{cd}$	Betonin kimmokertoimen mitoitusarvo
	$I_c$	Betonipoikkileikkauksen jäyhyysmomentti
	$K_s$	Jäykkyyden vaikutuskerroin raudoitukselle
	$E_s$	Raudoituksen kimmokertoimen mitoitusarvo
	$I_s$	Raudoituksen jäyhyysmomentti betonipoikkileikkauksen painopisteen suhteen

### 3.8.1 Tarkempi menetelmä

Nimellisen jäykkyyden menetelmällä voidaan laskea toisen kertaluvun vaikutus mikäli raudoitussuhde  $\rho \geq 0,02$ . Tarkempi menetelmä on suositeltava sillä luvussa 3.8.2 esiteltävä yksinkertainen menetelmä soveltuu vain alustavaan laskentaan.

$$EI = K_c \cdot E_{cd} \cdot I_c + K_s \cdot E_s \cdot I_s \quad (24)$$

$$K_s = 1$$

$$K_c = \frac{k_1 \cdot k_2}{1 + \varphi_{ef}} \quad (25)$$

missä,  $k_1 = \sqrt{f_{ck}/20\text{MPa}}$

$\varphi_{ef}$  tehollinen virumissuhde (luku 3.4)

$$k_2 = n \cdot \frac{\lambda}{170} \geq 0,20 \quad (26)$$

missä,  $n = N_{Ed}/(A_c \cdot f_{cd})$

Tapauksissa, joissa  $\lambda$  on tuntematon, voidaan kertoimelle  $k_2$  käyttää arvoa  $k_2 = 0,3 \cdot n \leq 0,20$ . [8, s.43].

### 3.8.2 Yksinkertainen menettely

Jos kyseessä on suuri raudoitusmäärä ja tehdään alustava mitoitus, voidaan käyttää yksinkertaistettuja kaavoja. Saatujen tulosten perusteella laskentaa pitää kuitenkin tarkentaa tarkemman menetelmän mukaan. Menetelmän käyttö edellyttää, että suhteellinen raudoitusala  $\rho \geq 0,01$ . Yksinkertaistetussa menetelmässä raudoituksen vaikutuksen kerroin  $K_s = 0$ . Tämän seurauksena nimellisjäykkyyden kaava yksinkertaistuu muotoon [6, s.7.]:

$$EI = K_c \cdot E_{cd} \cdot I_c \quad (27)$$

missä,  $K_c = 0,3/(1 + 0,5 \cdot \varphi_{ef})$

missä,  $\varphi_{ef}$  tehollinen virumissuhde, lasketaan kohdan 3.4 mukaan

$E_{cd}$  betonin kimmokertoimen mitoitusarvo  $E_{cd} = E_{cm}/\gamma_{cE}$

missä,  $E_{cm}$  betonin kimmokertoimen keskiarvo

$\gamma_{cE}$  osavarmuusluku,  $\gamma_{cE} = 1,2$

Staattisesti määräämättömissä rakenteissa tulee huomioida vierekkäisten sauvojen halkeilun epäedulliset vaikutukset. Olettaen, että poikkileikkaukset ovat täysin halkeilleet, voidaan tämä huomioida seuraavasti. Betonin tehollista kimmokerrointa ( $E_{cd,eff}$ ) käytetään jäykkyyden perustana. [3, s.70.]

$$E_{cd,eff} = E_{cd}/(1 + \varphi_{ef}) \quad (28)$$

### 3.8.3 Momentin suurennoskerroin

Toisen kertaluvun sisältävä kokonaismitoitusmomentti lasketaan ensimmäisen kertaluvun analyysistä saadun taivutusmomentin suurennettuna arvona seuraavasti. Jos saurarakenteeseen ei vaikuta poikittaiskuormia voidaan ensimmäisen kertaluvun laskennan päätemomentit  $M_{01}$  ja  $M_{02}$  korvata tasaisella vakiomomentilla  $M_{0e}$ . [3, s.70.]

$$M_{Ed} = M_{0Ed} \left[ 1 + \frac{\beta}{\frac{N_B}{N_{Ed}} - 1} \right] \quad (29)$$

missä,  $M_{0Ed}$  1. kertaluvun analyysistä saatu momentti murtorajatilassa. Kuormituksesta riippuen  $M_{0Ed} = M_{02}$  tai  $M_{0Ed} = M_{0e}$ .

$N_B$  Nimellisiäjäykkyyteen perustuva nurjahduskuorma  
 $N_B = [\pi^2 \cdot (EI)_{ef}]/L_0^2$

$N_{Ed}$  Normaalivoiman mitoitusarvo

$\beta$  1. ja 2. kertaluvun momenttijakaumasta riippuva kerroin  
 $\beta = \pi^2/c_0$

missä,	$c_o$	$c_o = 8$	tasaa jakautuneille kuormille
		$c_o = 9,6$	paraboliselle jakaumalle
		$c_o = 12$	symmetriselle kolmiojakaumalle

Kertoimelle  $\beta$  voidaan käyttää arvoa 1, mikäli momenttijakauma on tuntematon tai poikkeava eikä arvoa  $c_o$  tunneta. Tällöin suurennettua momentin kaava yksinkertaistuu muotoon [3, s.71.]:

$$M_{Ed} = \frac{M_{0Ed}}{1 - \frac{N_{Ed}}{N_B}} \quad (30)$$

### 3.9 Vinoa taivutus

Vinossa taivutuksessa poikkileikkaukseen kohdistuu taivutusta kahdesta suunnasta ja tämän seurauksena neutraaliakseli asettuu vinoon pääakseliin nähden. Pääakselien suunnissa vaikuttavien taivutusmomenttien suhde määrää neutraaliakselin kallistuman. [11, s.209.]

Seuraavat säännöt ovat voimassa kun käytetään luvuissa 3.7 ja 3.8 esitettyjä yksinkertaistettuja laskumenetelmiä. Aluksi tulee tehdä momentin ja normaalivoiman yhteisvaikutuksen tarkastelu kumpaankin pääsuuntaan. Epätarkkuudet tarvitsee huomioida vain suunnassa, jossa niillä on epäedullisin vaikutus. [3, s.73.]

Nämä ovat riittävät tarkastelut, jos molemmat seuraavista hoikkisuuden ehdoista toteutuvat

$$\lambda_y/\lambda_z \leq 2 \text{ ja } \lambda_z/\lambda_y \leq 2 \quad (31)$$

missä,  $\lambda_y, \lambda_z$  ovat hoikkuusluvut y- ja z-akselien suhteen

ja tämän lisäksi suhteelliset epäkeskisyydet toteuttavat toisen seuraavista ehdoista

$$\frac{e_y/h_{eq}}{e_z/b_{eq}} \leq 0,2 \text{ tai } \frac{e_z/b_{eq}}{e_y/h_{eq}} \leq 0,2 \quad (32)$$

missä,  $b_{eq}, h_{eq}$  poikkileikkauksen leveys ja korkeus

$b_{eq} = i_y \cdot \sqrt{12}$  ja  $h_{eq} = i_z \cdot \sqrt{12}$  ovat muun muotoisissa poikkileikkauksissa ekvivalentin suorakaidepoikkileikkauksen sivumitat.  $i_y$ ,  $i_z$  ovat jäyhyysäteet y- ja z-akselien suhteen [3, s.73.]

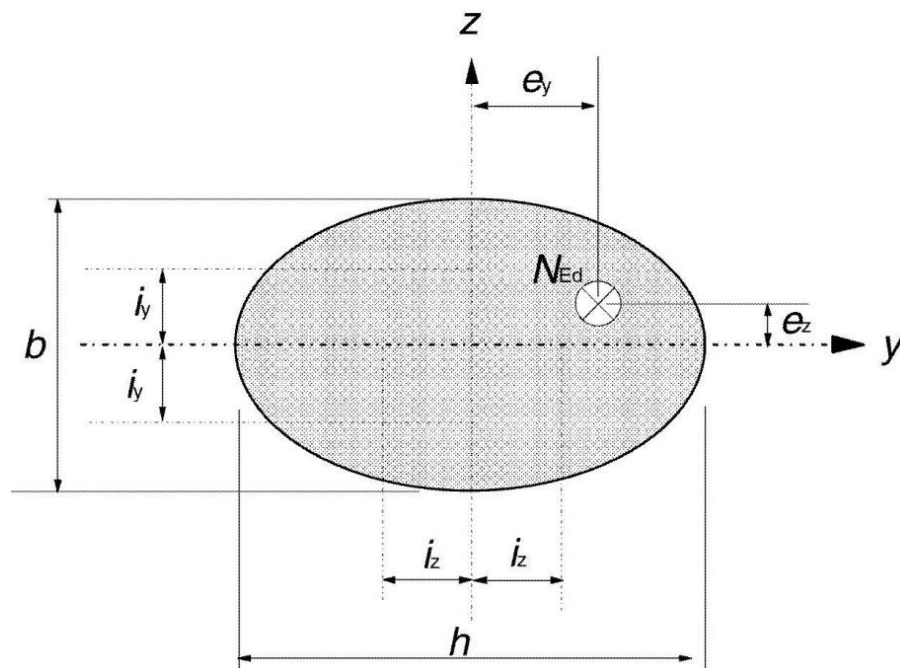
$e_z$  =  $M_{Edy}/N_{Ed}$  epäkeskisyys z-akselin suhteen

$e_y$  =  $M_{Edz}/N_{Ed}$  epäkeskisyys y-akselin suhteen

$M_{Edy}$  toisen kertaluvun vaikutukset sisältävä mitoitusmomentti y-akselin suhteen

$M_{Edz}$  toisen kertaluvun vaikutukset sisältävä mitoitusmomentti z-akselin suhteen

$N_{Ed}$  normaalivoiman mitoitusarvo vastaavassa kuormitusyhdistelmässä



Kuvio 12. Epäkeskisyyksien  $e_z$  ja  $e_y$  määritelmä [3, kuva 5.8]

Vino taivutus huomioidaan käyttämällä mitoitusmomentteina epälineaarisuudesta aiheutuvan lisän sisältäviä arvoja, mikäli kaavojen 31 ja 32 ehdot eivät toteudu. Seuraa-



vaa yksinkertaistettua mitoitusetta voidaan käyttää, jos poikkileikkausta ei mitoiteta suoraan vinosta taivutuksesta aiheutuvalle jännitystilalle. [3, s.74.]

$$(M_{Edz}/M_{Rdz})^a + (M_{Edy}/M_{Rdy})^a \leq 1,0 \quad (33)$$

missä,  $M_{Rdz}$  taivutuskestävyys z-suunnan momentin suhteen

$M_{Rdy}$  taivutuskestävyys y-suunnan momentin suhteen

a eksponentti, ympyrä- ja ellipsipoikkileikkauksilla  $a = 2$

suorakaidepoikkileikkauksille:

väliarvot voidaan interpoloida

$N_{Ed}/N_{Rd}$	0,1	0,7	1,0
$a =$	1,0	1,5	2,0

missä,  $N_{Ed}$  normaalivoiman mitoitusarvo

$N_{Rd} = A_c \cdot f_{cd} + A_s \cdot f_{yd}$  poikkileikkauksen puristuskestävyyden mitoitusarvo

missä,  $A_c$  betonipoikkileikkauksen bruttoala

$A_s$  pääraudoituksen poikkileikkausala

$f_{cd}$  betonin mitoituspuristuslujuus

$f_{yd}$  raudoituksen mitoituspuristuslujuus

#### 4 Tarkastellut rakennemallit

Työssä tarkasteltiin kolmea erilaista rakennemallia. Teräsbetonipilaria, johon kohdistuu taivutus yhdeltä suunnalta, teräsbetonipilaria, johon kohdistuu vino taivutus sekä kak-sikerroksista monikerrospilaria. Taivutus yhteen suuntaan mitoitettiin RSA - ohjelman RC Elements Design - työkalulla siten, että vaikuttavat kuormat ja taivutusmomentit oli laskettu etukäteen ja ne syötettiin ohjelmaan manuaalisesti. Pilarissa, johon kohdistui

vinoa taivutusta ja monikerrospilarissa rakennemalli luotiin ohjelman mallitilassa, josta se siirrettiin RC Design - osioon. Ohjelmalla saatuja mitoitus tuloksia verrattiin vertailulaskelmalla laskettuun vastaavaan rakenneosaan. Nimellisen kaarevuuden menetelmän vertailulaskelmat tehtiin SKOL Eurocode – laskentapohjalla: B3 Kahteen suuntaan taivutettu teräsbetonipilari. Työn alussa laskentapohjan uusin versio oli 1.50. Tässä versiossa kuitenkin ilmeni virheitä hoikkusuuskriteerin laskennassa. Kun laskettiin mastopilaria, hoikkusuuskriteeri sai liian suuren arvon. Tämän seurauksena toisen kertaluvun vaikutukset jäivät huomioimatta ja mitoitusmomentti sai todellista pienemmän arvon. Uusi 1.51 versio julkaistiin kesken työn ja valmiit laskelmat siirrettiin sille, jotta saataisiin todenmukaiset ja vertailukelpoiset laskelmat.

Laskenta-asetusten ja laskentamenetelmien vaikutusta tarkasteltiin myös vertaamalla nimellisen kaarevuuden menetelmällä ja nimellisen jäykkyyden menetelmällä laskettuja toisen kertaluvun vaikutuksia sekä molempia ohjelman tarjoamia vinon taivutuksen laskentamenetelmiä. Laskentamallin luominen ja siinä huomioon otettavat asiat on esitetty työohjeessa (Liite.1).

#### 4.1 Yhteen suuntaan taivutettu teräsbetonipilari

Ensimmäisenä tarkasteltiin teräsbetonipilaria, johon kohdistui ulkoisten kuormien aiheuttamaa taivutusta yhden akselin suuntaisesti. Rakennemalli ja siihen kohdistuvat kuormat määriteltiin suoraan ohjelman kohdasta RC Elements Design.

Mitoitus tehtiin kuudelle erilaiselle pilarille, joiden pituudet vaihtelivat neljästä yhdeksään metriin. Pilarit olivat pituutta lukuun ottamatta identtisiä. Pituutta muuttamalla pyrittiin selvittämään hoikkusuuskriteerin vaikutus toisen kertaluvun laskentamenetelmiin. Vertailulaskelmat tehtiin pilarille, jonka pituus oli seitsemän metriä. Ohjelman laskentaportti on liitteenä 2 ja vertailulaskelmat liitteenä 3.

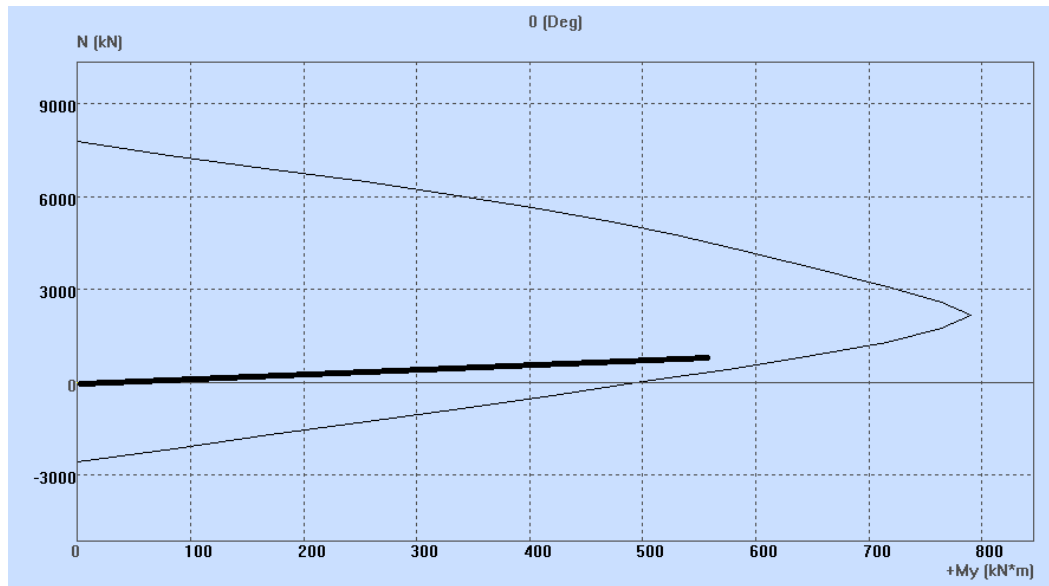
#### 4.1.1 Nimellisen kaarevuuden menetelmä

Ensimmäisenä suoritettiin mitoitus nimellisen kaarevuuden menetelmällä.

Taulukko 1. Nimellisen kaarevuuden menetelmällä suoritettun mitoituksen tulokset.

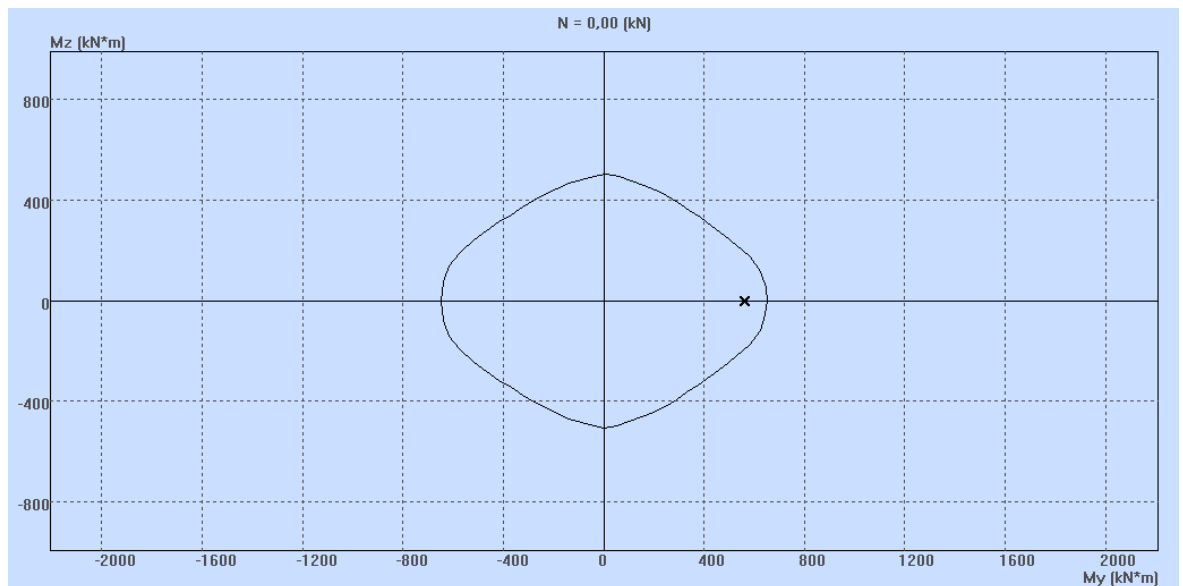
TAIVUTUS 1-SUUNTAAN			
NIMELLISEN KAAREVUUDEN MENETELMÄ			
	Yksikkö	VERTAILU	RSA
$\lambda_{lim}$	[-]	39,8	39,8
$\alpha_h$	[-]	0,76	0,76
$\alpha_m$	[-]	1	1
$e_i$	[mm]	28,8	28,8
$K_r$	[-]	1,0	1,0
$K_\varphi$	[-]	1,0	1,0
$1/r_0$	[1/m]	0,01	0,01
$c$	[-]	8	8
$e_2$	[mm]	327,3	327,4
$M_{Ed}$	[kNm]	559,6	559,7

RSA - ohjelmalla suoritettu nimelliseen kaarevuuteen perustuva mitoitus vastasi tuloksiltaan vertailulaskelmia. Aluksi käytetyllä laskentapohjan 1.50 versiolla hoikkuuden raja-arvo  $\lambda_{lim}$  sai arvon 85,61. Poikkeama johtui  $\lambda_{lim} = 20 \cdot A \cdot B \cdot C / \sqrt{n}$  kaavassa olevasta  $C = 1,7 - r_m$  termistä. Virheellinen laskentapohja antoi termille  $r_m$  arvon 0,2 kun RSA laskennassa  $r_m = 1,0$ . Tämä vaikutti pilarin valintaan, koska molemmissa laskentamenetelmissä pilarista haluttiin hoikka. Uuteen 1.51 versioon oli korjattu mastopilarin laskenta ja tulokset saatiin tällä vastaamaan toisiaan. Taulukossa 1 esitetyt vertailulaskelmat on tehty laskentapohjan versiolla 1.51.



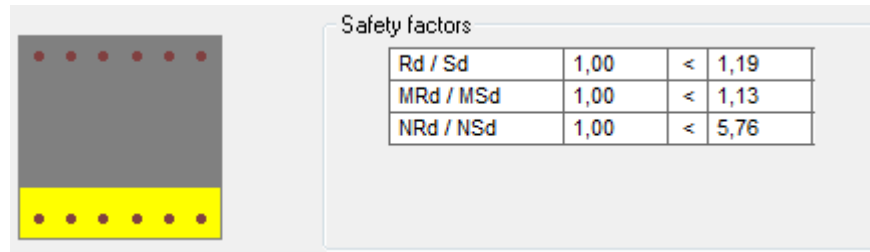
Kuvio 13. Normaalivoiman ja momentin yhteisvaikutusdiagrammi nimellisen kaarevuuden menetelmällä

Yllä oleva kuvio 13 esittää pilarin kestävyyttä siihen kohdistuviin rasituksiin nähden. Diagrammin pystyakselilla on pilariin kohdistuva puristava normaalivoima  $N$  ja vaakakselilla pilariin kohdistuva taivutusmomentti  $M_y$ . Rajattu alue kertoo pilarin kestävyysden erilaisille normaalivoiman ja taivutusmomentin yhdistelmille.



Kuvio 14. Momenttikestävyys nimellisen kaarevuuden menetelmällä

Kuviossa 14 rajattu alue osoittaa taivutusmomenttikestävyyttä ja  $M_y$  - akselilla sijaitseva piste vaikuttavaa taivutusmomenttia. Pilariin vaikuttavaa momenttia esittävä piste sijaitsee kuvaajan vaaka-akselilla, koska taivutusta esiintyy vain toiseen suuntaan.



Kuvio 15. Yhden akselin suuntaisesti taivutetun pilarin kestävyys nimelliset kaarevuuden menetelmällä

Kuviosta 15 nähdään pilarin neutraaliakselin sijainti eli puristus- ja vetojännitysten jakauma. Keltainen alue kuvaa pilarin puristettua ja harmaa vedettyä osaa. Termi  $S_d$  kuvaa kuormitusvektorin pituutta ja  $R_d$  kuormitusvektorin suuntaisen pilarin kestävyysvektorin pituutta annetulla epäkeskisyydellä. Tarkasteltavan pilarin normaalivoimakestävyys  $N_{Rd} = 4521,6 \text{ kN}$ . Tämä vastaa  $N_{Rd} = 5,76 \cdot N_{Ed}$  vaikuttavaa normaalivoimaa. Y-Y - akselin suuntainen taivutusmomentti  $M_{Ed} = 559,7 \text{ kNm}$ . Kyseisen akselin suuntaisen taivutusmomenttikestävyys  $M_{Rd} = 1,13 \cdot M_{Ed} = 632,5 \text{ kNm}$ .

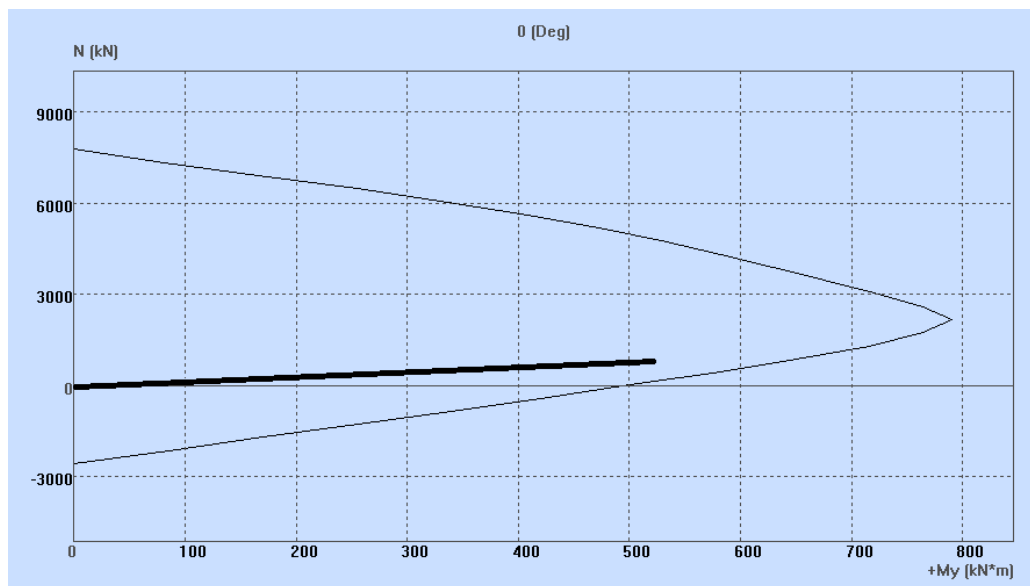
#### 4.1.2 Nimellisen jäykkyyden menetelmä

Seuraavaksi toisen kertaluvun vaikutus laskettiin nimellisen jäykkyyden menetelmällä.

Taulukko 2. Nimellisen jäykkyyden menetelmällä suoritettujen mitoitusten tulokset.

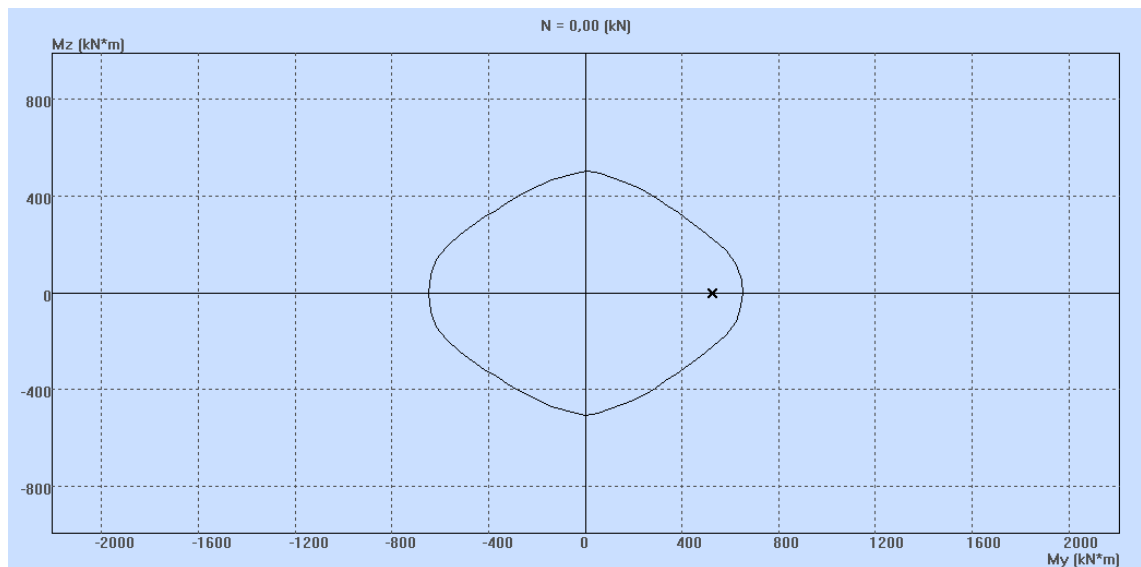
TAIVUTUS 1-SUUNTAAN			
NIMELLISEN JÄYKKYYDEN MENETELMÄ			
	Yksikkö	VERTAILU	RSA
$I_s$	$[\text{mm}^4]$	211758930	211528833
$I_c$	$[\text{mm}^4]$	4423680000	4423680000
$EI$	$[\text{kNm}^2]$	49817,4	49771,3
$N_b$	$[\text{kN}]$	2111,4	2109,5
$\beta$	$[-]$	1,23	1,23
$M_{Ed}$	$[\text{kNm}]$	523,6	523,9

Nimelliseen jäykkyyteen perustuvalla menetelmällä laskettaessa vertailulaskelmat vastasivat RSA - ohjelmalla saatuja. Pieni ero ilmeni raudoituksen jäyhyysmomentin ( $I_s$ ) laskennassa. Ohjelma ja vertailulaskelma antavat pääraudoituksen tankojen väliseksi etäisyydeksi hieman eri arvot. Tällä ei kuitenkaan ole merkitystä, koska tulokset poikkeavat vain vähän toisistaan. Lisäksi vertailulaskelmilla pyrittiin vain varmistamaan laskentamallin tarkoituksenmukainen toiminta.



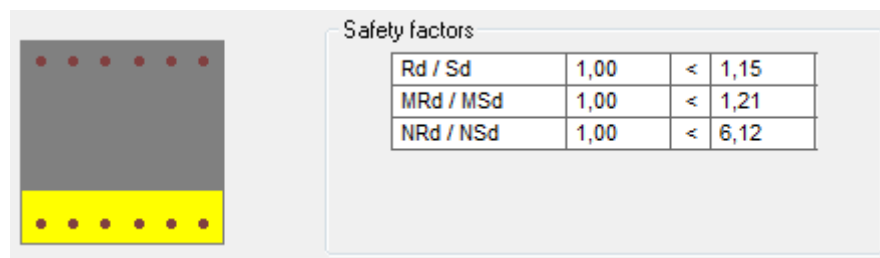
Kuvio 16. Normaalivoiman ja momentin yhteisvaikutus nimellisen jäykkyyden menetelmällä

Nimellisen jäykkyyden menetelmällä laskettuna normaalivoiman ja momentin yhteisvaikutusdiagrammi on muodoltaan ja arvoiltaan lähes identtinen nimellisen kaarevuuden menetelmällä laskettuun verrattuna.



Kuvio 17. Momenttikestävyys nimellisen jäykkyyden menetelmällä

Momenttikestävyden ja mitoitusmomentin suuruus esitetään kuviossa 17. Siitä nähdään, että mitoitusmomentti ei vaihtelee laskentamenetelmästä riippuen merkittävästi.



Kuvio 18. Yhden akselin suuntaisesti taivutetun pilarin kestävyys nimelliset jäykkyyden menetelmällä

Vertaamalla kuviota 18 kuvioon 15 nähdään, että pilarin neutraaliakselin sijainti ja sen veto- ja puristusjännitys jakauma on lähes identtinen riippumatta siitä, kumpaa toisen kertaluvun laskentamenetelmää käytetään. Nimellisen jäykkyyden menetelmällä pilarin Y-Y - akselin suhteen laskettu mitoittava taivutusmomentti saa arvon  $M_{Ed} = 523,9 \text{ kNm}$  ja sen taivutusmomenttikestävyys  $M_{Rd} = 1,21 \cdot M_{Ed} = 633,9 \text{ kNm}$ . Pilarin mitoittava normaalivoima  $N_{Ed} = 785 \text{ kN}$  ja normaalivoimakestävyys  $N_{Rd} = 6,12 \cdot N_{Ed} = 4804,2 \text{ kN}$ .

Taulukko 3. Pilarin hoikkuuden vaikutus mitoitus tuloksiin

PITUUS [m]	$\lambda$	$M_{Ed}$ NIMELLISEN JÄYKKYY- DEN MENETELMÄLLÄ [kNm]	$M_{Ed}$ NIMELLISEN KAAREVUU- DEN MENETELMÄLLÄ [kNm]	POIKKEAMA [%]
4,0	62,9	381,0	396,1	3,8
5,0	78,7	443,9	434,9	2,1
6,0	94,4	481,1	489,8	1,8
7,0	110,1	523,9	559,7	6,4
8,0	125,9	573,6	639,9	10,4
9,0	141,6	631,9	730,5	13,5

Vertailtaessa hoikkuusluvun  $\lambda$  vaikutusta menetelmien antamiin mitoitusmomentteihin huomattiin, että kasvattamalla pilarin hoikkuuslukua pituuden muutoksen kautta, kasvoi myös mitoitusmomenttien poikkeama eri laskentamenetelmien välillä. Pienin poikkeama esiintyi pilarilla, jonka pituus oli 6 m ja hoikkuusluku 94,4. Tällöin poikkeama oli 1,8 %. Muuttamalla pilarin pituus 9 m kasvoi hoikkuusluku 141,6. Nyt saatu 13,5 % poikkeama oli suurin mitä tarkastelluilla pituuksilla havaittiin.

RIL 202-2011/By61 betonirakenteiden suunnitteluohje määrittelee, että  $\lambda \leq 100$ . Tämän määritelmän perusteella korkein käytettävissä oleva pilari olisi 6 m. Hoikkuusluvun pienentyessä poikkeama pysyi vähäisenä, mutta kasvoi 2 % pilarin pituuden muuttuessa kuudesta metrillä neljään metriin.

#### 4.2 Kahteen suuntaan taivutettu teräsbetonipilari

Tutkittaessa vinoa taivutusta valittiin teräsbetonipilariksi mastopilari. Mitoitus tehtiin edellä esitetystä yhden suunnan taivutuksesta poiketen siten, että nyt RSA - ohjelmalla luotiin aluksi rakenteen staattinen malli, johon määriteltiin teräsbetonipilarin ominaisuudet ja vaikuttavat ulkoiset voimasuureet. Mallin valmistuttua tuotiin se ohjelman RC Design - tilaan. Tämän menettelyn seurauksena momenttipintojen ja pilarin ominaisuuksien määrittelyltä välttyttiin mitoitusvaiheessa.

Laskennassa tutkittiin viittä eri teräsbetonipilaria, joiden pituudet vaihtelivat kolmesta metrillä seitsemään metriin. Tällä haluttiin selvittää hoikkuusluvun vaikutus toisen ker-  
taluvun laskentamenetelmien antamiin mitoitusmomentteihin. Vertailulaskelmat tehtiin



pilarille, jonka pituus oli viisi metriä. Ohjelman laskentaraaportti on liitteenä 4 ja vertailulaskelmat liitteenä 5.

#### 4.2.1 Nimellisen kaarevuuden menetelmä

Toisen kertaluvun vaikutus laskettiin ensin nimellisen kaarevuuden menetelmällä.

Taulukko 4. Nimellisen kaarevuuden menetelmällä suoritettujen mitoitusten tulokset

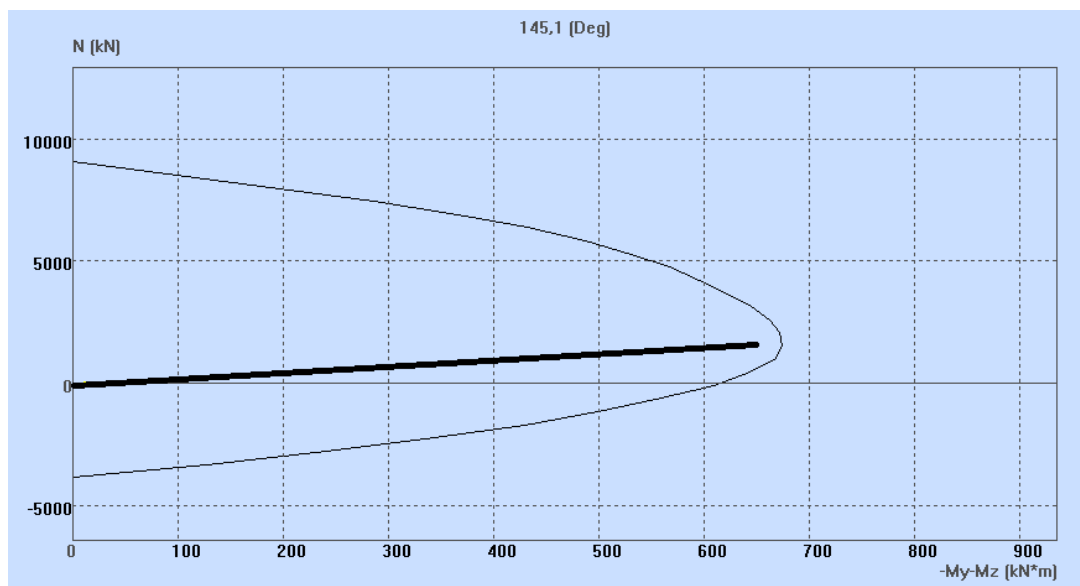
NIMELLISEN KAAREVUUDEN MENETELMÄ					
		Y-SUUNTAAN		Z-SUUNTAAN	
	Yksikkö	VERTAILU	RSA	VERTAILU	RSA
$\lambda_{lim}$	[-]	30,3	30,3	30,3	30,3
$\alpha_h$	[-]	0,89	0,89	0,89	0,89
$\alpha_m$	[-]	1,0	1,0	1,0	1,0
$e_i$	[mm]	24,4	24,4	-	-
$K_r$	[-]	1,0	1,0	1,0	1,0
$K_\phi$	[-]	1,0	1,0	1,0	1,0
$1/r_0$	[1/m]	0,01	0,01	0,01	0,01
$c$	[-]	8	8	10	10
$e_2$	[mm]	184,1	184,2	157,5	157,5
$M_{Ed}$	[kNm]	532,8	532,9	371,2	371,3

Nimellisen kaarevuuden menetelmällä laskettaessa vertailulaskelmat ja RSA - laskelmat vastasivat toisiaan. Aluksi käytetyllä laskentapohjan 1.50 versiolla hoikkuuden raja-arvo  $\lambda_{lim}$  sai arvon 73,58. Poikkeama johtui  $\lambda_{lim} = 20 \cdot A \cdot B \cdot C / \sqrt{n}$  kaavassa olevasta  $C = 1,7 - r_m$  termistä. Virheellinen laskentapohja antoi termille  $r_m$  arvon 0,2 kun RSA laskennassa  $r_m = 0,7$ . Korjattu 1.51 versio laskentapohjasta korjasi mitoitusvirheen ja laskelmat vastasivat tämän jälkeen toisiaan. Taulukossa 4 on käytetty laskentapohjan versiota 1.51.

Taulukko 5. Vinosta taivutuksesta aiheutuva käyttöaste

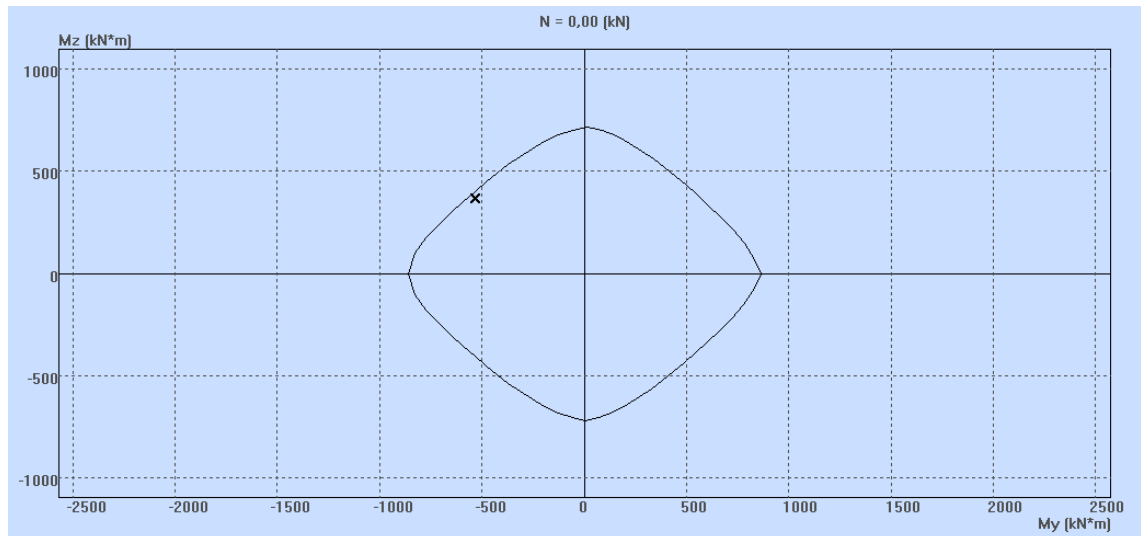
	VINO TAIVUTUS	
	NIMELLISEN KAAREVUUDEN MENETELMÄ	
	MITOITUS YLEISELLÄ MENETELMÄLLÄ	MITOITUS YKSINKERTAISTETULLA MENETELMÄLLÄ
KÄYTTÖASTE	0,96	1,10
$A_{s,vaad}$	$8496 \text{ mm}^2$	$9710 \text{ mm}^2$

Vinon taivutuksen laskentatapa vaikutti merkittävästi vaadittavaan rauditusmäärään. Menetelmästä riippuen tarvittava pääraudoituspinta-ala  $A_{s,vaad}$  erosi  $1214 \text{ mm}^2$ . Yksinkertaistetulla menetelmällä laskettaessa valittu 18T25 pääraudoitus ei riittäisi pilariin, vaan sen käyttöaste ylittyisi 10 %.



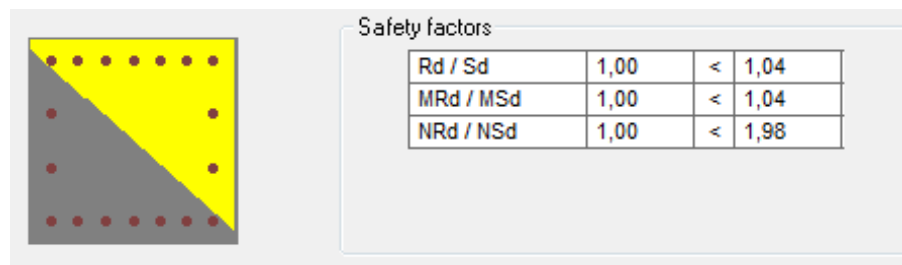
Kuvio 19. Normaalivoiman ja momentin yhteisvaikutusdiagrammi nimellisen kaarevuuden menetelmällä kun vino taivutus lasketaan yleisellä menetelmällä.

Kuviosta 19 nähdään pilarin kestävyys normaalivoiman ja vinon taivutuksen suhteen. Pilarin kestävyys ylittyy jos normaalivoima kasvaa arvoon  $N_{Rd} = 3148,2 \text{ kN}$ . Kestävyys myös ylittyy, jos pilaria rasittava normaalivoima laskee tietyn arvon alle.



Kuvio 20. Vinon taivutuksen momenttikestävyys nimellisen kaarevuuden menetelmällä kun vino taivutus lasketaan yleisellä menetelmällä

Kuvio 20 osoittaa, että teräsbetonipilari ei valitulla raudoituksella kestäisi momenttien lisäästä. Toisen akselin ympäri suuntautuvan momentin kasvaessa ylittyisi pilarin käyttöaste, jos toista momenttia ei pystyittäisi pienentämään samassa suhteessa. Kuvasta huomataan hyvin ero kohdassa 4.1 tarkasteltuun yhden suunnan taivutukseen, jossa vaikuttavaa momenttia kuvaava piste sijaitisi vaak akselilla.



Kuvio 21. Vinoa taivutus ja pilarin varmuus murtumista vastaan

Kuviosta 21 nähdään kulma, jonka pilarin neutraaliakseli on kiertynyt vinon taivutuksen seurauksena. Keltainen alue kuvaa pilarin puristettua ja harmaa vedettyä pinta-alaa. Pilarin normaalivoimakestävyys  $N_{Rd}$  on lähes kaksinkertainen puristavaan normaalivoimaan  $N_{Ed}$  nähden,  $N_{Rd} = 1,98 \cdot N_{Ed} = 1,98 \cdot 1590 \text{ kN} = 3148,2 \text{ kN}$ . Taivutusmomenttikestävyys  $M_{Rd} = 1,04 \cdot M_{Ed}$  eli pilarin käyttöaste taivutusmomentille on 96 %.

#### 4.2.2 Nimellisen jäykkyyden menetelmä

Seuraavaksi suoritettiin laskenta nimellisen jäykkyyden menetelmää käyttäen.

Taulukko 6. Nimellisen jäykkyyden menetelmällä suoritettujen mitoitus tulokset

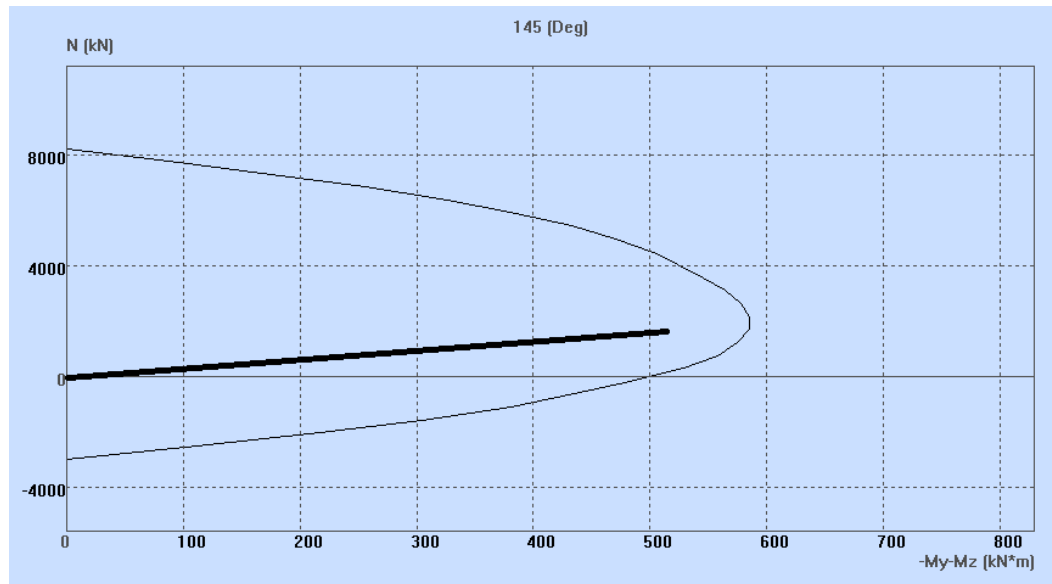
NIMELLISEN JÄYKKYYDEN MENETELMÄ					
		Y-SUUNTAAN		Z-SUUNTAAN	
	Yksikkö	VERTAILU	RSA	VERTAILU	RSA
$I_s$	[mm <sup>4</sup> ]	200782070	200513624	127260408	126991962
$I_c$	[mm <sup>4</sup> ]	4423680000	4423680000	4423680000	4423680000
$EI$	[kNm <sup>2</sup> ]	50119,6	50066,4	35415,3	35362,1
$N_b$	[kN]	4163,5	4159,0	2942,0	2937,5
$\beta$	[-]	0,82	1,23	0,82	1,23
$M_{Ed}$	[kNm]	362,0	423,3	237,5	296,5

Nimellisen jäykkyyden menetelmällä vertailulaskelmat ja ohjelman laskelmat poikkesivat toisistaan huomattavasti.  $M_y$  - momentissa poikkeamaa oli 61,3 kN eli 14,5 % ja  $M_z$  - momentissa 59,0 kN eli 19,9 %. Poikkeaman selittää kohdassa 3.8.3 esitetty termi  $\beta = \pi^2/c$ . Ohjelman oletuksena  $c = 8$ , koska keskialueen tarkkaa momenttijakaumaa ei tunneta, eikä sitä ole erikseen ohjelmaan määritetty. Vertailulaskennassa on käytetty kolmionmuotoiselle momenttipinnalle oikeaa  $c = 12$  arvoa. Ohjelman oletus johtaa kuitenkin varmalla puolella olevaan tulokseen, joten sitä voidaan haluttaessa käyttää mitoituksessa.

Taulukko 7. Vinosta taivutuksesta aiheutuva käyttöaste

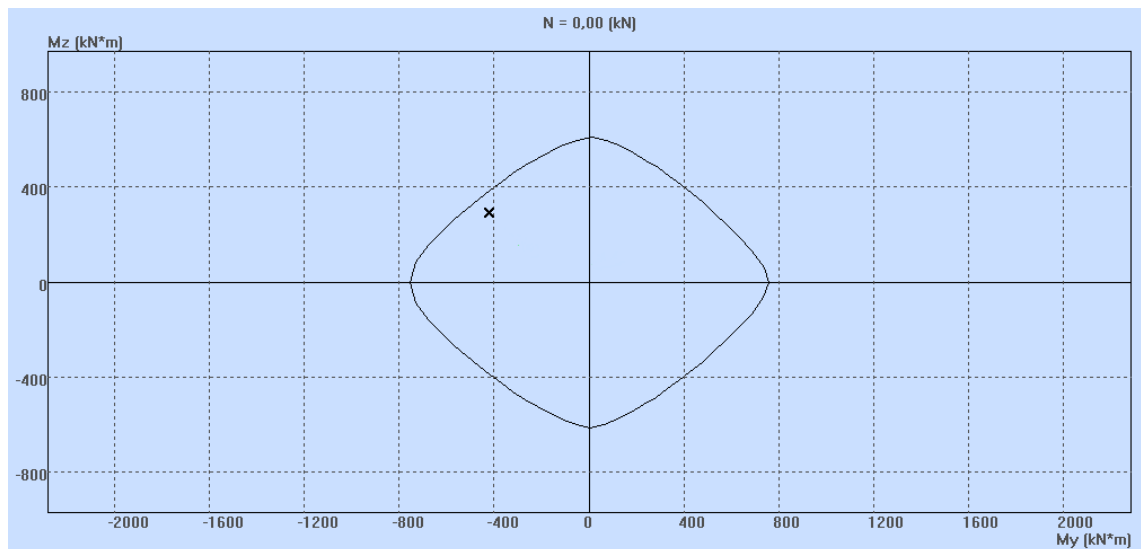
	VINO TAIVUTUS	
	NIMELLISEN JÄYKKYYDEN MENETELMÄ	
	MITOITUS YLEISELLÄ MENETELMÄLLÄ	MITOITUS YKSINKERTAISTETULLA MENETELMÄLLÄ
KÄYTTÖASTE	0,93	1,00
$A_{s,vaad}$	6363 mm <sup>2</sup>	6872 mm <sup>2</sup>

Vinon taivutuksen laskentamenetelmästä riippuen vaadittava pääraudoituksen poikkileikkauspinta-ala  $A_{s,vaad}$  vaihteli  $509 \text{ mm}^2$ . Laskemalla vino taivutus yleisellä menetelmällä päästään 7,4 % pienempään pääraudoitusalaan kuin mitoitettaessa yksinkertaistetulla menetelmällä.



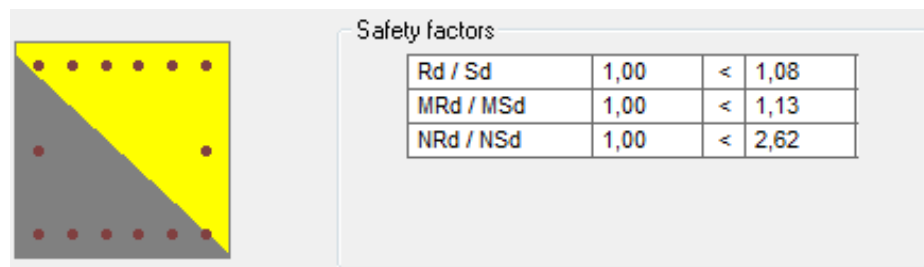
Kuvio 22. Normaalivoiman ja momentin yhteisvaikutusdiagrammi nimellisen jäykkyyden menetelmällä kun vino taivutus lasketaan yleisellä menetelmällä

Nimellisen jäykkyyden menetelmällä laskettu normaalivoiman ja vinon taivutuksen yhteisvaikutus pilariin nähdään kuviosta 22. Kuviota ei voida suoraan verrata nimellisen kaarevuuden menetelmällä laskettuun kuvioon 19, koska mitoitusmomenttien lisäksi myös pääraudoitukset poikkeavat toisistaan. Nimellisen kaarevuuden menetelmällä pääraudoitus oli  $18T25$  ja nimellisen jäykkyyden menetelmällä  $14T25$ .



Kuvio 23. Vinon taivutuksen momenttikestävyys nimellisen jäykkyyden menetelmällä kun vino taivutus lasketaan yleisellä menetelmällä

Mitoitusmenetelmästä riippuvan pääraudoituksen muutoksen seurauksena pilarin taivutusmomenttikestävyys on nyt pienempi kuin nimellisen kaarevuuden menetelmällä laskettuna.  $M_y$ - ja  $M_z$ - taivutusmomenttien yhteisvaikutuksen osoittava piste on kuviossa 23 sijainniltaan sama kuin kuviossa 20 , mutta suuruudeltaan erilainen.



Kuvio 24. Vino taivutus ja pilarin käyttöasteet nimellisen jäykkyyden menetelmällä kun vino taivutus lasketaan yleisellä menetelmällä

Pilarin neutraaliakselin kiertymä sekä puristus- ja vetojännitysten jakauma vastaa nimellisen kaarevuuden menetelmällä laskettua. Taivutusmomenttikestävyys nimellisen jäykkyyden menetelmällä on  $M_{Rd} = 1,13 \cdot M_{Ed}$  ja normaalivoimakkestävyys  $N_{Rd} = 2,62 \cdot N_{Ed} = 2,62 \cdot 1590 \text{ kN} = 4190 \text{ kN}$ .

Taulukko 8. Hoikkuusluvun vaikutus laskentamenetelmien antamiin mitoitusmomentteihin

PITUUS [m]	$\lambda$	M <sub>Ed</sub> NIMELLISEN JÄYKKYY- DEN MENETELMÄLLÄ [kNm]		M <sub>Ed</sub> NIMELLISEN KAAREVUU- DEN MENETELMÄLLÄ [kNm]		POIKKEAMA [%]	
		M <sub>Ed,yy</sub>	M <sub>Ed,zz</sub>	M <sub>Ed,yy</sub>	M <sub>Ed,zz</sub>	M <sub>Ed,yy</sub>	M <sub>Ed,zz</sub>
3,0	47,2	328,2	203,2	360,0	240,1	8,8	15,4
4,0	62,9	358,3	267,6	450,3	308,1	20,4	13,2
5,0	78,7	423,3	296,5	532,9	371,3	20,6	20,1
6,0	94,4	497,4	342,0	654,2	464,4	24,0	26,3
7,0	110,1	591,1	408,8	818,6	578,0	27,8	29,3

Tutkittaessa hoikkuuden vaikutusta vinon taivutuksen tapauksessa tarkasteltiin viittä eri pilaria, joiden pituudet vaihtelivat kolmesta seitsemään metriin. Menetelmistä saadut mitoitusmomentit poikkesivat toisistaan sitä enemmän mitä suuremmaksi pilarin hoikkuuslukua kasvatettiin pilarin pituutta muuttamalla.

Suurimpaan poikkeamaan päädyttiin kun pilarin pituudeksi valittiin seitsemän metriä. Nyt hoikkuusluku oli 110,1 ja menetelmien välinen poikkeama Y-Y – akselin suhteen 27,3 % ja Z-Z – akselin suhteen 29,3 %. Pienimmän poikkeaman antoi pilari, jonka pituus oli kolme metriä. Nyt hoikkuusluku oli 47,2 ja poikkeama Y-Y – akselin suhteen 8,8 % ja Z-Z akselin suhteen 15,4 %. Tulosten perusteella voidaankin kysyä onko pilarien, joiden hoikkuusluku on suuri, mitoitus järkevää tehdä nimellisen jäykkyyden menetelmällä, koska se antaa paljon pienemmät mitoitusmomentit nimellisen kaarevuuden menetelmään verrattuna?

#### 4.3 Monikerrospilari

Mitoitus suoritettiin kaksikerroksiselle monikerrospilarille, johon kohdistuu välipohjalta sekä yläpohjalta tulevat vaaka- ja pystykuormat. Mitoitusmalli luotiin samoin kuin edellä tarkastellussa vinon taivutuksen tapauksessa. Pilarin ominaisuudet ja ulkoiset kuormat määriteltiin mallitilassa, josta valmis malli tuotiin RC Design - tilaan. Vertailulaskelmat ja tarkempi tarkastelu tehtiin pilarille, jonka pituus oli seitsemän metriä. Ohjelman laskentaraaportti on liitteenä 6 ja vertailulaskelmat liitteenä 7.

#### 4.3.1 Nimellisen kaarevuuden menetelmä

Monikerrospilari mitoitettiin aluksi nimellisen kaarevuuden menetelmää käyttäen.

Taulukko 9. Nimellisen kaarevuuden menetelmällä suoritettun mitoituksen tulokset

NIMELLISEN KAAREVUUDEN MENETELMÄ					
		Y-SUUNTAAN		Z-SUUNTAAN	
	Yksikkö	VERTAILU	RSA	VERTAILU	RSA
$\lambda_{lim}$	[-]	34,5	34,5	34,5	34,5
$\alpha_h$	[-]	0,76	0,76	0,76	0,76
$\alpha_m$	[-]	1,0	1,0	1,0	1,0
$e_i$	[mm]	-	-	28,8	28,8
$K_r$	[-]	1,0	1,0	1,0	1,0
$K_\varphi$	[-]	1,0	1,0	1,0	1,0
$1/r_0$	[1/m]	0,01	0,01	0,01	0,01
$c$	[-]	10	10	10	10
$e_2$	[mm]	230,7	230,6	230,7	230,6
$M_{Ed}$	[kNm]	757,4	757,1	664,8	664,5

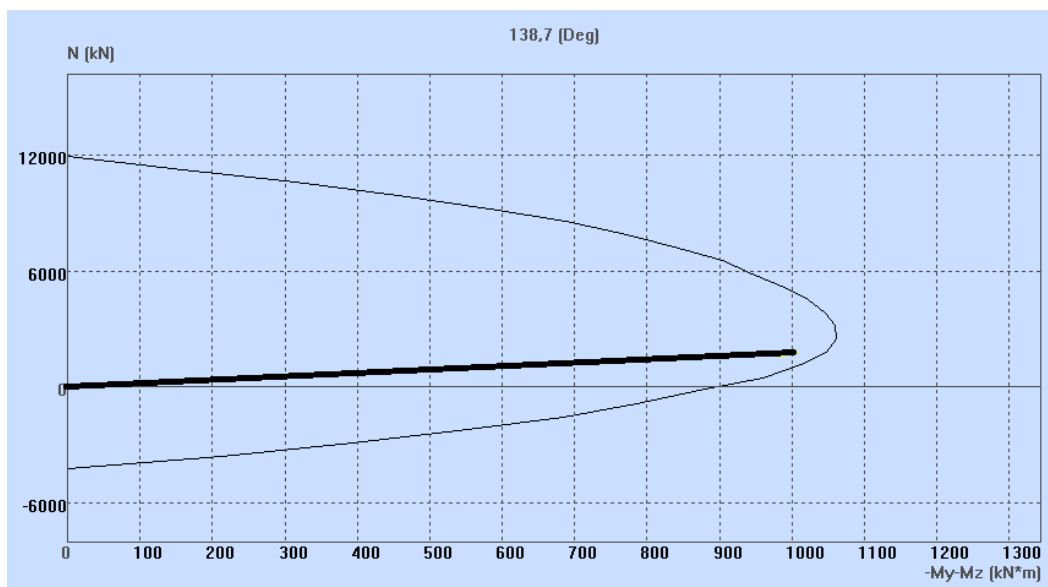
RSA - ohjelman ja SKOL Eurocode - laskentapohjan 1.51 version välillä ei ilmennyt eroja. Vanha 1.50 versio antoi monikerrospilarille hoikkuusluvun  $\lambda = 83,7$ . Tämä vaikutti pilarin valintaan, koska molemmista laskennoista haluttiin hoikka pilari. Yllä esitetty taulukko 9. esittää laskelmapohjan 1.51 tuloksia.

Taulukko 10. Vinon taivutuksen aiheuttama käyttöaste nimellisen kaarevuuden menetelmällä

	VINO TAIVUTUS	
	NIMELLISEN KAAREVUUDEN MENETELMÄ	
	MITOITUS YLEISELLÄ MENETELMÄLLÄ	MITOITUS YKSINKERTAISTETULLA MENETELMÄLLÄ
KÄYTTÖASTE	0,96	1,19
$A_{s,vaad}$	9425 mm <sup>2</sup>	11683 mm <sup>2</sup>

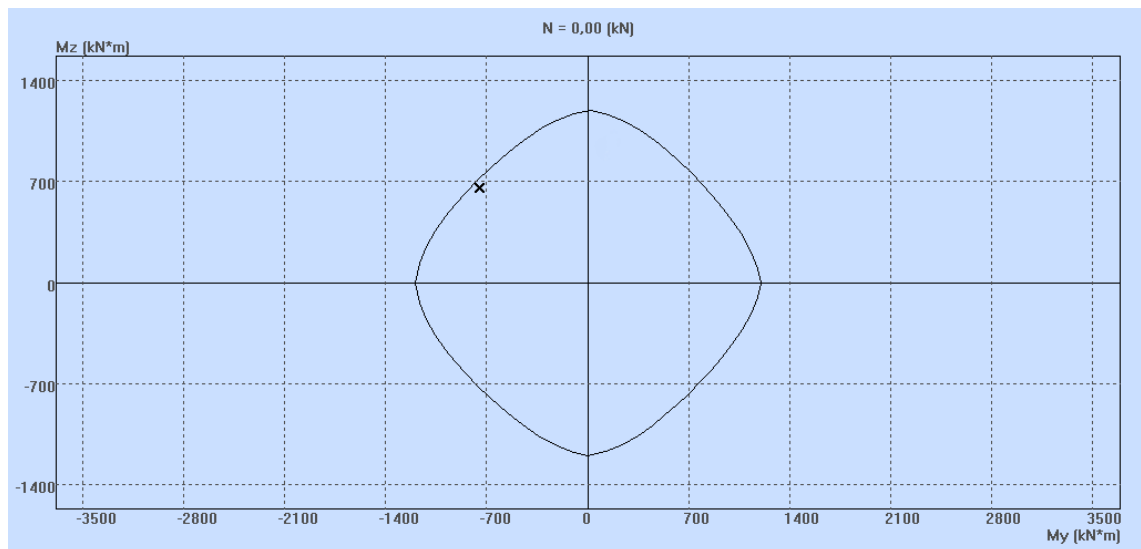


Kun vino taivutus lasketaan EN:n mukaisesti yleisellä menetelmällä, tarvittava pääraudoituksen poikkileikkauspinta-ala  $A_{s,vaad} = 9425 \text{ mm}^2$ . Kun mitoitus suoritetaan yksinkertaistetulla menetelmällä  $A_{s,vaad} = 11683 \text{ mm}^2$ . Laskentamenetelmien väliseksi eroksi tulee näin ollen  $2258 \text{ mm}^2$ . Yleisellä menetelmällä laskettaessa päästään siis 19,3 % pienempään raudoitusalaan kuin yksinkertaistettua menetelmää käyttäen. Laskentaohjelmalla valittu raudoitus 20T25, jonka  $A_{s,vaad} = 9827 \text{ mm}^2$  ei riittäisi pilarille mitoitettaessa yksinkertaistetulla menetelmällä.



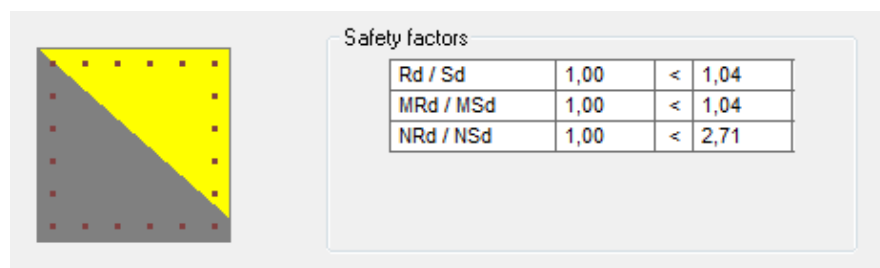
Kuvio 25. Normaalivoiman ja momentin yhteisvaikutus pilariin nimellisen kaarevuuden menetelmällä vino taivutus lasketaan yleisellä menetelmällä

Kuviosta 25 nähdään pilarin normaalivoiman  $N$  ja Y-Y - ja Z-Z - akselien suhteen olevien  $M_y$  - ja  $M_z$  - momenttien yhteisvaikutus pilarin kestävyYTEEN. Pilarin käyttöaste ylittyy jos  $N_{Ed}$  kasvaa arvosta  $1755 \text{ kN}$  arvoon  $4756,1 \text{ kN}$ . Myös normaalivoiman tarpeeksi suuresta laskusta seuraa käyttöasteen ylittyminen ja pilarin murtuminen.



Kuvio 26. Vinon taivutuksen aiheuttama rasitus pilariin kun vino taivutus lasketaan yleisellä menetelmällä

Kuvio 26 esittää Y-Y - ja Z-Z - akselien suuntaisten momenttien yhteisvaikutuksen tarkasteltavaan pilariin. Rajattu alue osoittaa pilarin kestävyuden näiden momenttien suhteen.



Kuvio 27. Vinoa taivutus ja pilarin käyttöasteet kun vino taivutus lasketaan yleisellä menetelmällä

Kuvio 27 kuvaa pilarin neutraaliakselin kiertymää ja puristetun sekä vedetyn poikkileikkauspinta-alan jakaumaa. Nimellisen kaarevuuden menetelmällä laskettaessa pilarin kestävyys puristavalle normaalivoimalle  $N_{Rd} = 2,71 \cdot N_{Ed} = 2,71 \cdot 1755 = 4756 \text{ kN}$ . Taivutusmomenttikestävyys  $M_{Rd} = 1,04 \cdot M_{Ed}$ . Tämä vastaa 96 % käyttöastetta.

### 4.3.2 Nimellisen jäykkyyden menetelmä

Laskenta suoritettiin myös nimellisen jäykkyyden menetelmällä

Taulukko 11. Nimellisen jäykkyyden menetelmällä suoritettujen mitoitus tulokset

NIMELLISEN JÄYKKYYDEN MENETELMÄ					
		Y-SUUNTAAN		Z-SUUNTAAN	
	Yksikkö	VERTAILU	RSA	VERTAILU	RSA
$I_s$	[mm <sup>4</sup> ]	310029912	311017673	310029912	311017673
$I_c$	[mm <sup>4</sup> ]	9430413333	9430413333	9430413333	9430413333
$EI$	[kNm <sup>2</sup> ]	84330,8	84528,8	84330,8	84528,8
$N_b$	[kN]	3574,2	3582,6	3574,2	3582,6
$\beta$	[-]	1,00	1,00	1,00	1,00
$M_{Ed}$	[kNm]	691,5	691,0	509,8	509,4

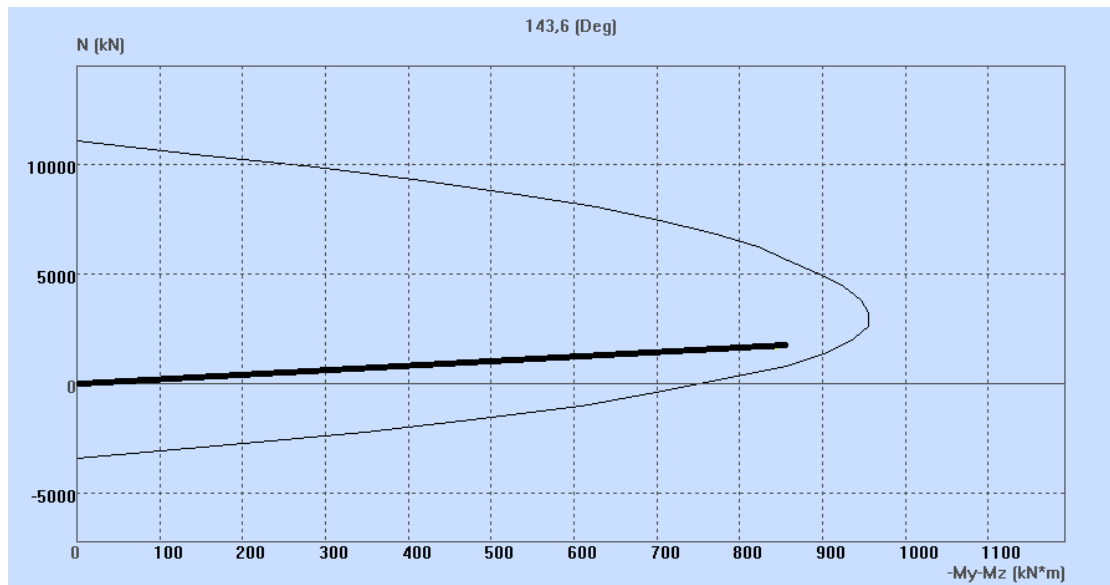
Vertailulaskelmissa ja ohjelman laskelmissa ilmeni eroja raudoituksen jäyhyysmomentissa  $I_s$ . Jäyhyysmomentin erot ovat pieniä ja selittyvät laskennassa käytettyjen raudoitustankojen välisten etäisyyksien eroista. Momenttijakauma on poikkeava välipohjan kuormien takia. Tästä syystä kaavan  $\beta = \pi^2/c$  kerrointa  $c$  ei voida määritellä ja  $\beta$  voidaan käyttää suoraan arvoa  $\beta = 1$  kohdan 3.8.3 perusteella.

Taulukko 12. Vinon taivutuksen aiheuttama käyttöaste nimellisen jäykkyyden menetelmällä

	VINO TAIVUTUS	
	NIMELLISEN JÄYKKYYDEN MENETELMÄ	
	MITOITUS YLEISELLÄ MENETELMÄLLÄ	MITOITUS YKSINKERTAISTETULLA MENETELMÄLLÄ
KÄYTTÖASTE	0,95	1,08
$A_{s,vaad}$	7461 mm <sup>2</sup>	8482 mm <sup>2</sup>

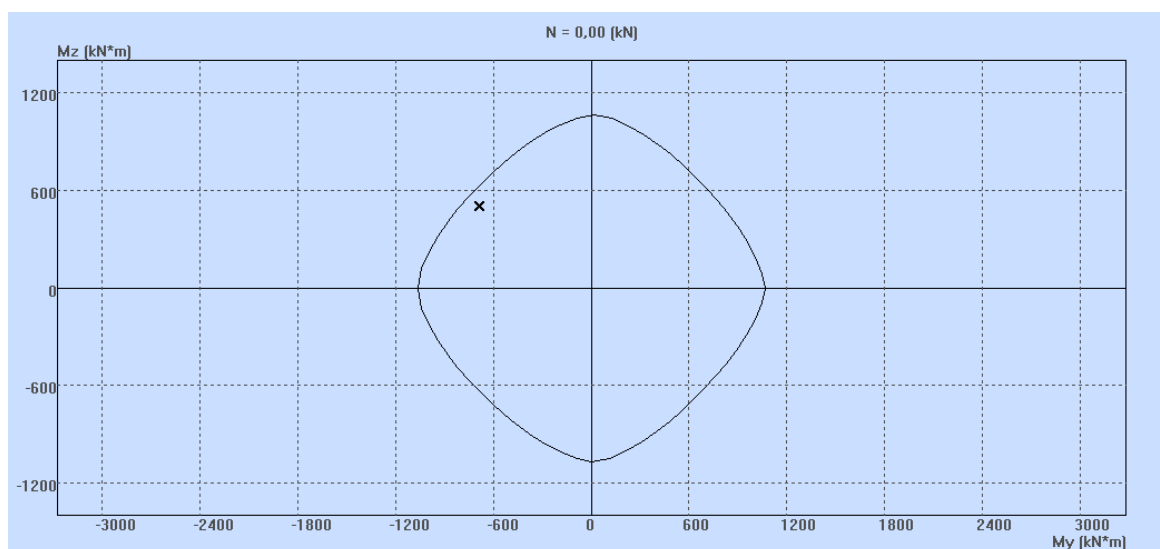
Vinon taivutuksen laskentamenetelmästä riippuen vaadittava pääraudoituksen poikkealeikkausala vaihtelee 1021 mm<sup>2</sup>. Yleisellä menetelmällä laskettu raudoitusalaa on 12 % pienempi kuin yksinkertaistetulla mitoituksella saatu. Valitun 16T25 pääraudoituksen

poikkileikkauspinta-ala  $A_s = 7854 \text{ mm}^2$ , eikä se täytä vaatimuksia mitoitettaessa yksinkertaistettua menetelmää käyttäen.



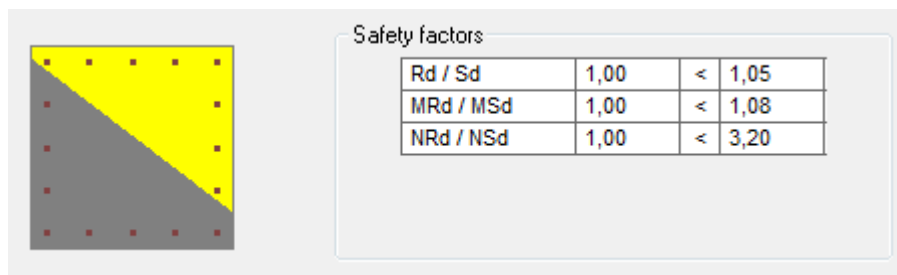
Kuvio 28. Normaalivoiman ja momentin yhteisvaikutus pilariin nimellisen kaarevuuden menetelmällä kun vino taivutus lasketaan yleisellä menetelmällä

Kuviosta 28 nähdään normaalivoiman  $N$  ja momenttien  $M_y$ - ja  $M_z$ - vaikutus pilarin kestävyyteen. Pilarin puristuskestävyys vaikuttavilla momenteilla on  $N_{Rd} = 5616 \text{ kN}$ . Kestävyys ylittyy myös normaalivoiman puristavan vaikutuksen laskiessa tietyn arvon alle.



Kuvio 29. Vinon taivutuksen aiheuttama rasitus pilariin kun vino taivutus lasketaan yleisellä menetelmällä

Kuvio 29 vastaa muodoltaan kuviota 26. Kestävyyssalueen sijainti kuitenkin poikkeaa kuvissa. Tämä johtuu siitä, että nimellisen jäykkyyden menetelmällä päädyttiin 16T25 raudoitukseen kun nimellisen kaarevuuden menetelmässä raudoitus oli 20T25.



Kuvio 30. Vino taivutus ja pilarin käyttöasteet kun vino taivutus lasketaan yleisellä menetelmällä

Kun toisen kertaluvun vaikutus lasketaan nimellisen jäykkyyden menetelmällä, saadaan teräsbetonipilarin normaalivoimakestävyydeksi  $N_{Rd} = 5616 \text{ kN}$ . Tämä on  $860 \text{ kN}$  suurempi kuin nimellisen kaarevuuden menetelmällä laskettaessa. Näitä kestävyksiä ei voi kuitenkaan suoraan verrata toisiinsa, koska menetelmissä on käytetty erilaista pääraudoitusta. Yleisellä menetelmällä laskettu taivutusmomenttikestävyyden mitoitusarvo on  $M_{Rd} = 1,08 \cdot M_{Ed}$ .

Taulukko 13. Hoikkuusluvun vaikutus yleisellä menetelmällä laskettuihin mitoitusmomentteihin

PITUUS [m]	$\lambda$	M <sub>Ed</sub> NIMELLISEN JÄYKKYYDEN MENETELMÄLLÄ [kNm]		M <sub>Ed</sub> NIMELLISEN KAAREVUUDEN MENETELMÄLLÄ [kNm]		POIKKEAMA [%]	
		M <sub>Ed,yy</sub>	M <sub>Ed,zz</sub>	M <sub>Ed,yy</sub>	M <sub>Ed,zz</sub>	M <sub>Ed,yy</sub>	M <sub>Ed,zz</sub>
4,0	52,1	478,8	365,8	499,8	419,6	4,2	12,8
5,0	65,1	526,4	435,5	577,0	492,2	8,8	11,5
6,0	78,1	570,8	459,5	647,6	574,9	11,9	20,1
7,0	94,1	691,0	509,4	757,1	664,5	8,7	23,3
8,0	104,2	754,3	550,7	881,3	793,5	14,4	30,6
9,0	117,18	832,3	602,0	1029,8	930,4	19,2	35,3
10,0	130,2	937,6	666,4	1193,9	1088,2	21,5	38,8

Hoikkuusluvun muutoksen vaikutusta tutkittiin muuttamalla pilarin pituutta. Monikerospilarin tapauksessa tutkittiin seitsemää pilaria, joiden pituudet vaihtelivat neljästä kymmeneen metriin taulukon 13 mukaisesti.

Kaikissa tapauksissa nimellisen kaarevuuden menetelmällä saatiin suuremmat mitoitusmomentit. Menetelmien välinen ero kasvoi sitä enemmän mitä suuremmaksi hoikkuusluku kasvoi. 4 metriä korkealla pilarilla, jonka hoikkuusluku oli 52,1 oli Y-Y akselin suhteen laskettu poikkeama momentissa  $M_{Ed,yy} = 4,2 \%$  ja momentissa  $M_{Ed,zz} = 12,8 \%$ . Tämä oli pienin poikkeama, joka vertailusta saatiin. Suurin poikkeama saatiin pilarilla, jonka pituus oli 10 metriä ja hoikkuusluku 130,2. Tällöin poikkeama momentissa  $M_{Ed,yy} = 21,5 \%$  ja momentissa  $M_{Ed,zz} = 38,8 \%$ . RIL 202 - 2011/By61 määrittelee hoikkuusluvun ylärajaksi  $\lambda \leq 100$ . Tämän perusteella 7 m korkea pilari olisi suurin mitä voitaisiin käyttää. Menetelmien väliset momenttipoikkeamat kyseisellä pilarilla ovat  $M_{Ed,yy} = 8,7 \%$  ja  $M_{Ed,zz} = 23,3 \%$ .

## 5 Yhteenveto

Tämän insinööriyön tarkoituksena oli kartoittaa mahdollisia ongelmia teräsbetonipilarin mitoituksessa RSA 2012 – ohjelmalla sekä helpottaa uusien käyttäjien siirtymistä ohjelman pariin. Teräsbetonipilarin mitoitus tehtiin molemmilla standardin EN1992-1-1 yksinkertaistetulla mitoitusmenetelmällä: nimellisen kaarevuuden menetelmällä ja nimellisen jäykkyyden menetelmällä.

Nimellisen kaarevuuden menetelmän ja nimellisen jäykkyyden menetelmän käytöstä huomattiin, että mitä suuremmaksi pilarin hoikkuusluku kasvoi, sitä suuremmaksi näiden yksinkertaistettujen toisen kertaluvun laskentamenetelmien erot kasvoivat. Kun tarkasteltiin pilaria, jota taivutetaan yhden akselin suhteen, ei poikkeama vielä ollut ratkaiseva, mutta vinon taivutuksen tapauksessa momenttierot ovat jo niin suuria, että mitoituksen tulokset olisi hyvä tarkistaa tapauskohtaisesti toisella ohjelmalla. Nimellisen kaarevuuden menetelmä antoi jokaisessa tarkastellussa tilanteessa suuremmat mitoitusmomentit ja sitä kautta päädyttiin suurempaan raudoituksen poikkileikkauspinta-alaan. Tämän takia nimellisen kaarevuuden menetelmällä mitoittamista voidaan pitää turvallisempaa vaihtoehtona.

Vertailulaskelmissa aluksi käytetty SKOL Eurocode – laskentapohja: B3 Kahteen suuntaan taivutettu teräsbetonipilari versio 1.50 antoi hoikkuskriteerille liian suuria arvoja kun laskennan kohteena oli mastopilari. Tämän seurauksena toisen kertaluvun vaikutukset voivat jäädä pohjassa huomioimatta vaikka pilari todellisuudessa olisikin hoikka. Laskentapohjassa ollut virhe on kuitenkin korjattu versioon 1.51, jolla lopulliset vertailulaskelmat tehtiin. Käytettäessä kyseistä SKOL Eurocode – laskentapohjaa mitoituksessa tulee tarkistaa, että käytössä on korjattu 1.51 versio.

Vinoa taivutusta tarkasteltiin molemmilla standardin EN1992-1-1 menetelmillä. Yksinkertaistettu menetelmä antoi odotetusti jokaisessa tilanteessa suuremman vaadittavan pääraudoituksen poikkileikkauspinta-alan. Tarkastelluissa tapauksissa päästiin parhaimmillaan lähes 20 % pienempään raudoitusalaan huomioimalla vino taivutus yleisellä menetelmällä.

Teräsbetonipilarin mitoitus RSA – ohjelmalla käytiin lävitse liitteessä 1. Tähän työohjeeseen koottiin yleisimmät mitoituksessa huomioitavat asiat. Siinä selvitettiin myös rakenteen ja ympäristöolosuhteiden sekä kuormien määrittäminen. Työohje suunnattiin ensisijaisesti uusille käyttäjille. Sen tehtävänä on vähentää virheiden määrää mitoituksessa ja pienentää kynnystä siirtyä ohjelman pariin. Työohjetta on mahdollista päivittää jos ohjelmaan tulee oleellisia muutoksia uusien versioiden tai päivitysten kautta.

Tulevaisuudessa työn laajentaminen on mahdollista. RSA – ohjelmalla voidaan pilarien lisäksi laskea myös palkkien, anturoiden ja seinärakenteiden raudoituksia. Näiden mitoittaminen tapahtuu myös ohjelman RC Elements Design – osiossa. Edellä mainittujen rakenneosien mitoittamisesta voitaisiin tehdä vastaavanlainen selvitys ja työohje. Työhön voitaisiin ottaa mukaan myös Tekla Structures – ohjelma, jolla mallinnettu rakenne voidaan siirtää RSA – ohjelmaan. Ihanteellisessa tilanteessa valmis rakennuksen runko voitaisiin tuoda suoraan Teklasta RSA – ohjelmaan. Nyt tarvitsisi määrittää vain kuormat ja suorittaa mitoittaminen, koska kaikki rakenteen ominaisuudet olisi jo valmiiksi määriteltä. Pilarien mitoituksessa tutkittiin hoikkusluvun vaikutusta menetelmien välisiin eroihin. Työtä voitaisiinkin laajentaa selvittämällä virumanluvun suuruuden vaikutusta menetelmien antamiin mitoitusmomentteihin ja näiden eroihin.

Teräsbetonipilarin mitoittaminen RSA – ohjelmalla oli nopeaa ja selkeää. Ohjelman tulokset vastasivat vertailulaskelmia tai ne olivat varmalla puolella näihin nähden. Suurin

tutkimuksessa noussut kysymys oli mitoitusmenetelmien väliset erot. Varsinkin vinosti taivutetuissa pilareissa, joiden hoikkuusluku oli suuri, saatiin menetelmästä riippuen hyvin erilaisia mitoitusmomentteja. Tämä ei selity laskentamallin virheillä, koska vertailulaskelmat antoivat vastaavia tuloksia.

Mitoituksessa on suositeltavaa käyttää nimellisen kaarevuuden menetelmää toisen ker-  
taluvun laskennassa. SKOL Eurocode - laskentapohja: B3 Kahteen suuntaan taivutettu  
teräsbetonipilari sekä RIL 202-2011/By61 Betonirakenteiden suunnitteluohje käyttävät  
kyseistä menetelmää ja RSA - ohjelman antamien tulosten suuruusluokka on helppo  
tarkastaa näiden kahden avulla. Tarkastuksessa tulee kuitenkin huomioida, että lasken-  
tapohja käyttää yksinkertaistettua menetelmää vinon taivutuksen ja pilarin käyttöas-  
teen laskentaan. Ohjelmalla laskettaessa kannattaa käyttää yleistä menetelmää jos  
vain mahdollista. Näin saadaan optimoitua tarvittava rauditusmäärä ja vältetään yli-  
määräiseltä varmuudelta. Liitteenä 1 olevan työohjeen avulla pystytään suorittamaan  
oikeaoppinen teräsbetonipilarin mitoitus, jossa huomioidaan kaikki yllä esitetyt lasken-  
nan kannalta oleelliset asiat.



## Lähteet

- 1 Suomen Betoniyhdistys r. y. helmikuu 2009  
By60 Suunnitteluohje EC2 osat 1-1 ja 1-2. 4. korjattu painos
- 2 Betoniteollisuus  
Betonirakenteiden suunnittelu eurokoodien mukaan. Osa 5. Pilarit  
[www.elementtisuunnittelu.fi/Download/23185/Leaflet\\_5\\_Pilarit.pdf](http://www.elementtisuunnittelu.fi/Download/23185/Leaflet_5_Pilarit.pdf)  
Verkkodokumentti. luettu 22.1.2012
- 3 Suomen Standardisoimisliitto SFS vahvistettu 2005-05-30  
SFS-EN 1992-1-1+AC Eurokoodi 2: Betonirakenteiden suunnittelu.  
Osa 1-1: Yleiset säännöt ja rakennuksia koskevat säännöt
- 4 Lähteenmäki Matti. Elementtimenetelmän perusteet 1.1.  
[home.tamk.fi/~mlahteen/arkistot/elpe\\_pdf/johdanto.pdf](http://home.tamk.fi/~mlahteen/arkistot/elpe_pdf/johdanto.pdf)  
Verkkodokumentti. luettu 13.1.2012
- 5 Suomen betoniyhdistys ry. Gummerus Kirjapaino Oy Jyväskylässä 1995  
By203 Betonirakenteiden perusteiden oppikirja, 4.painos
- 6 Jykyri Pekka. 29.10.2009. Teräsbetonipilarin laskenta EC2 mukaan  
[http://www.tekniikka.oamk.fi/~pekkany/opiskelijat/Betrak1/Laskuprosessi\\_tb-pilari.pdf](http://www.tekniikka.oamk.fi/~pekkany/opiskelijat/Betrak1/Laskuprosessi_tb-pilari.pdf) Verkkodokumentti. luettu 17.1.2012
- 7 Suomen Betoniyhdistys ry, Gummerus Oy Jyväskylässä 1986,  
By202 Betonirakenteiden suunnittelun oppikirja osa 1
- 8 Westerberg Bo, 2002. Second order effect. Background to chapters 5.8,  
5.9 and Annex H in EN 1992-1-1  
<http://www.sis.se/upload/632974579854363532.pdf> Verkkodokumentti.  
luettu 5.3.2012
- 9 Suomen Rakennusinsinöörin Liitto RIL ry, Suomen Betoniyhdistys ry.  
2011, RIL 202-2011/By61 Betonirakenteiden suunnitteluohje
- 10 By201 Betonitekniikan oppikirja 2004, viides, uudistettu painos, lisäpainos  
Gummerus kirjapaino Oy, Jyväskylässä 2007
- 11 Suomen Betoniyhdistys ry ja Matti V. Leskelä , By210 Betonirakenteiden  
suunnittelu ja mitoitus, 2005, Libris Oy, Helsinki 2006
- 12 Suomen Rakennusinsinöörin Liitto RIL ry, Suomen Betoniyhdistys ry  
BY 61 Betonirakenteiden suunnitteluohje, 2011

## 1 Johdanto

Tässä työohjeessa käydään lävitse teräsbetonipilarin mitoitus ja raudoitus Robot Structural Analysis Professional 2012 – ohjelmalla.

Työohje on tehty opinnäytetyön ”Teräsbetonipilarin EN:n mukainen mitoitus Robot Structural Analysis Professional 2012 - ohjelmalla” yhteydessä keväällä 2012.

## 2 Pilarin mallintaminen

Rakenneosa voidaan tuoda suoraan valmiista rakennemallista, jolloin saadaan kuormat sekä rakennemalliin määritellyt rakenneosan ominaisuudet valmiina.

Toinen vaihtoehto on luoda uusi rakenneosa ja määritellä sen ominaisuudet ja kuormat erikseen. Alla perehdytään molempiin menetelmiin.

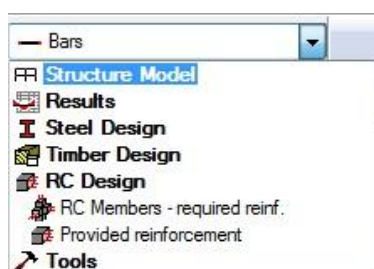
### 2.1 Työskentely-ympäristö


Työskentely-ympäristön valinta riippuu siitä, saadaanko rakenneosa ja siihen kohdistuvat kuormat valmiista mallista vai tehdäkö täysin uusi pilari, jolle määritellään kuormat ja ominaisuudet käsin. Valmista mallia käytettäessä pilarin tietoja voidaan tarvittaessa muuttaa.

#### 2.1.1 Rakenneosa valmiista mallista

Kun mitoitettava pilari tuodaan valmiista FEM – mallista, saadaan pilarin voimat, kuormitustapaukset, poikkileikkaus, pituus, liittyminen muihin rakenteisiin ja nurjahduspituus valmiina.

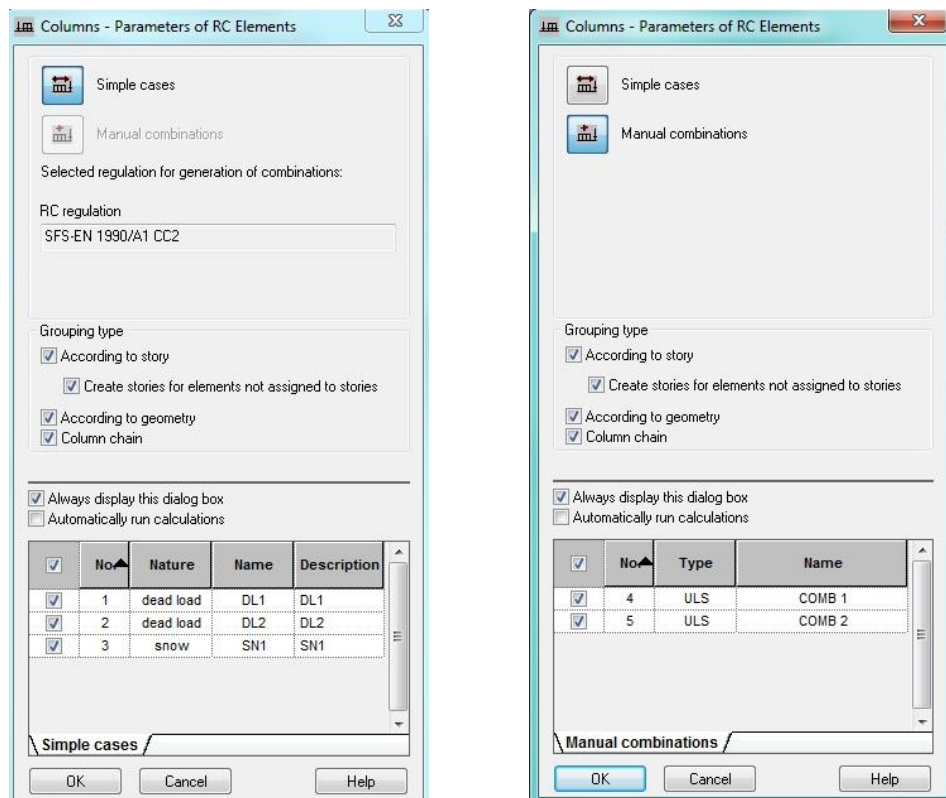
Kun valmis rakennemalli on auki, valitse työkalurivin valikosta *RC Design -> Provided reinforcement*



Avautuvasta ikkunasta valitse raudoitettava rakenneosa ja paina oikealta sivupalkista  tai työkaluriviltä *Design -> Provided Reinforcement of RC Element*.

*Columns – Parameters of RC Elements* ikkuna avautuu, josta valitaan mitoituksessa käytettävät kuormitusyhdistelmät (*Simple cases / Manual combinations*).


*Column Chain* tulee valita, mikäli pilareita sijaitsee päällekkäin niin, että alemman pilarin yläpään node on ylemmän pilarin alapään node.




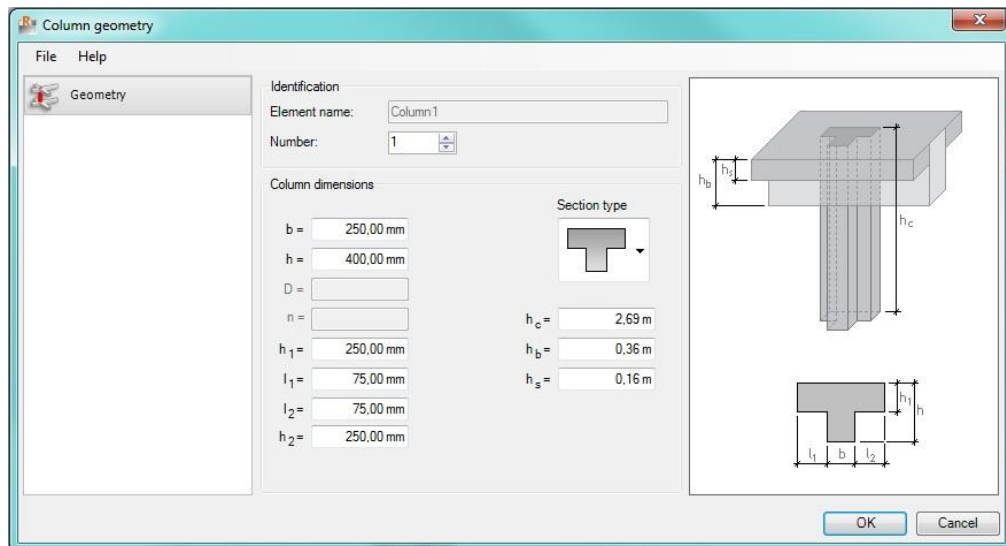
### 2.1.2 Ympäristö uuden pilarin määrittämiseen

Jos pilari luodaan RC Elements Design tilassa, joudutaan pilarin voimat ja muut vastaavat tiedot syöttämään käsin.

Ohjelman avautuessa ensimmäisenä pitää valita työympäristö. Valitse *New project -> More... -> RC Elements Design* .

Valitse seuraavaksi ylävalikosta *RC Element -> New -> Column*  *Column*

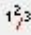
Valitse seuraavaksi ylävalikosta *RC Element -> Column geometry...*  *Column Geometry...*

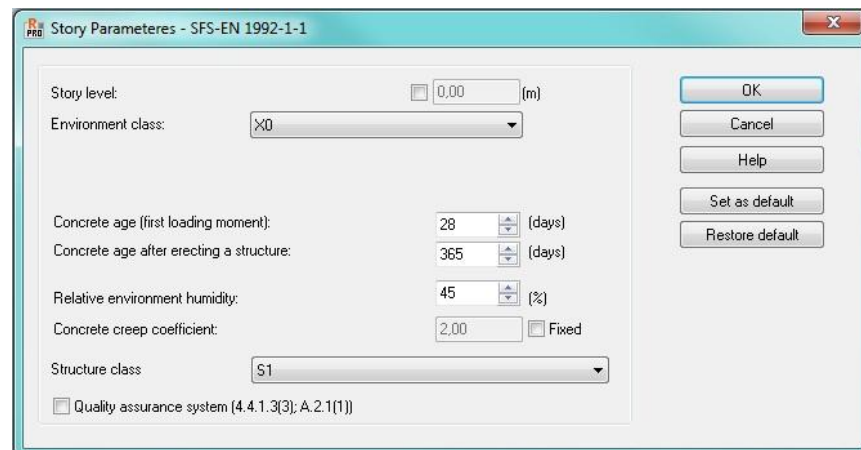


*Column dimensions* kohdasta määritetään pilarin poikkileikkausmitat

*Section type* kohdasta määritellään pilarin poikkileikkausmuoto ja yläpuolisen rakenteen mitat (palkki / laatta).

## 2.2 Ympäristöolosuhteiden määritteleminen

Ympäristöolosuhteet määritellään työkalurivin *Analysis -> Story Parameters...* kohdasta  **Story Parameters...**



Määritettäviä kohtia ovat mm. rasitusluokka ja ympäristön suhteellinen kosteus. Myös virumaluku voidaan pakottaa tiettyyn arvoon Concrete Creep Coefficient kohdasta. Jos Quality assurance system valitaan, ei suojabetonipeitteen sallittua mittapoikkeamaa ( $\Delta c_{dev}$ ) huomioida.



*Concrete* välilehteen määritetään betonin ominaisuudet. *Aggregate size* tarkoittaa kiviaineksen suurinta raekokoa. Tarvittaessa myös betonin materiaalimalli voidaan muuttaa.

Calculation Options - SFS-EN 1992-1-1; Regulation - SFS-EN 1990/A1 CC2

General Concrete Longitudinal reinf. Transversal reinf.

Steel: sfs-en 1992-1-1

Grade: A500HW Deformed

Characteristic strength: 500,00 (MPa)

Ductility class: -

	<input checked="" type="checkbox"/>	Name	d (mm)	A (mm²)
1	<input checked="" type="checkbox"/>	6	6,0	28,27
2	<input checked="" type="checkbox"/>	8	8,0	50,27
3	<input checked="" type="checkbox"/>	10	10,0	78,54
4	<input checked="" type="checkbox"/>	12	12,0	113,10
5	<input type="checkbox"/>	16	16,0	201,06
6	<input type="checkbox"/>	20	20,0	314,16
7	<input type="checkbox"/>	25	25,0	490,87
8	<input type="checkbox"/>	32	32,0	804,25

Stress-strain diagrams:  $f_{yk}/\gamma_{s1}$  and  $k f_{yk}/\gamma_{s1}$

*Longitudinal reinforcement* kohdasta määritetään pääraudoituksena käytettävien raudoitetankojen sallitut tankokoot, teräsluokka sekä teräksen materiaalimalli.

*Transversal reinforcement* kohdasta määritetään vastaavat asetukset poikittaisille raudoille.

## 2.4 Nurjahduspituuden määrittäminen

Nurjahduspituus määritellään erikseen y- ja z-suuntaan. Valitse sivupalkista tai työkaluriviltä *RC Elements -> Buckling length...* **Buckling Length...**

Buckling model

☒ Bracing system

Total structure height: 32,00 m

Number of vertical elements m: 1

Direction Y

☐ Off

Structure: ☒ Non-sway ☐ Sway

$L_y = 8,00$  m

$k_y = 1,00$

Direction Z

☐ Off

Structure: ☒ Non-sway ☐ Sway

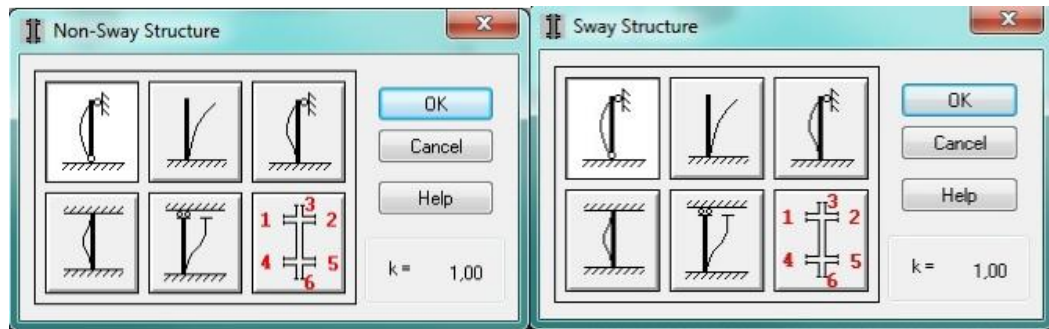
$L_z = 8,00$  m

$k_z = 1,00$

Buttons: Apply, Close, Help, Standard, Save As..., Delete


*Bracing system* tarkoittaa jäykistysjärjestelmää. Sen ollessa kyseessä pitää määritellä rakennuksen kokonaiskorkeus sekä vertikaalisten elementtien lukumäärä.

Pilarin nurjahdusmuoto ja pilarin yläpään tuentatapa voidaan valita painamalla pilarin staattista mallia kuvaavaa ikonia.

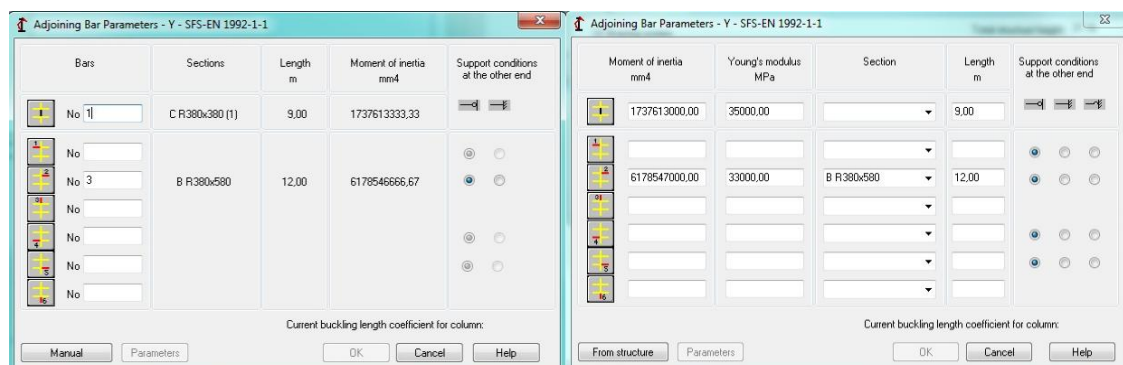


*Non-Sway structure* = Sivusiirtymätön rakenne. Rakenne, jonka sivuttainen siirtymä estetään rakennuksen jäykistyksellä tai rakenneosan omalla jäykkyydellä.

*Sway Structure* = Sivusiirtävä rakenne. Rakenne, jonka sivuttainen siirtymä ei ole estetty rakennuksen jäykistyksellä tai rakenneosan omalla jäykkyydellä.

Rakenneosaan liittyvät muut rakenteet voidaan määritellä yksitellen *Adjoining Bar parameters* kohdasta .

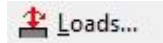
Määrittäminen voidaan tehdä suoraan mallista sauvan numeron perusteella (kuva vasemmalla). Toinen vaihtoehto on manuaalisesti määritellä jokainen liittyvä sauva ja sen ominaisuudet (kuva oikealla).





### 3 Kuormat

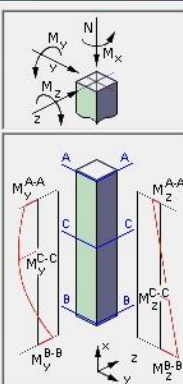
Pilarin kuormat voidaan syöttää taulukkomuodossa, jos niitä ei tuoda suoraan laskentamallista. Valitse työkaluriviltä *RC Element -> Loads...*



N	Pilaria kuormittava normaalivoima	[kN]
$M_{yA}, M_{zA}$	Pilarin yläpään momentti	[kNm]
$M_{yB}, M_{zB}$	Pilarin alapään momentti	[kNm]
$M_{yC}, M_{zC}$	Pilarin keskikohdan momentti	[kNm]

Tarkista *Loads* taulukosta, että kuormien osavarmuusluvut ( $\gamma$ ) vastaavat laskennassa käytettävän standardin arvoja.

Loads



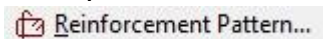
No.	Case	Nature	Subnature	Group	N (kN)	MyA (kNm)	MyB (kNm)	MyC (kNm)	MzA (kNm)	MzB (kNm)	MzC (kNm)	$\gamma$
1	DL1	dead load	Structural	1	60,78	30,62	-15,30	12,25	0,00	-0,00	-0,00	1,35
2	DL2	dead load	Structural	1	150,00	141,61	-70,74	56,67	0,00	-0,00	-0,00	1,35
3	SN1	snow	-----	1	210,00	196,25	-99,04	79,34	0,00	-0,00	-0,00	1,35
*			-----									

☐ Add upper loads

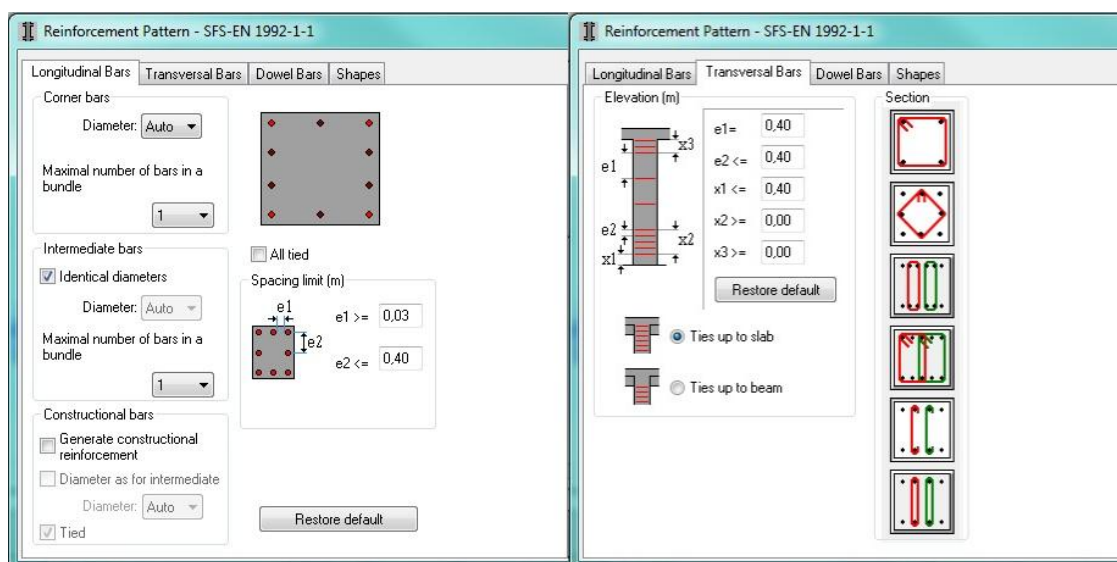
Close Help

### 4 Raudoituksen määrittäminen

Raudoitukseen liittyvät asetukset määritellään oikeanpuoleisesta työkalurivistä tai valikkorivin kohdasta *Analysis -> Reinforcement pattern...*

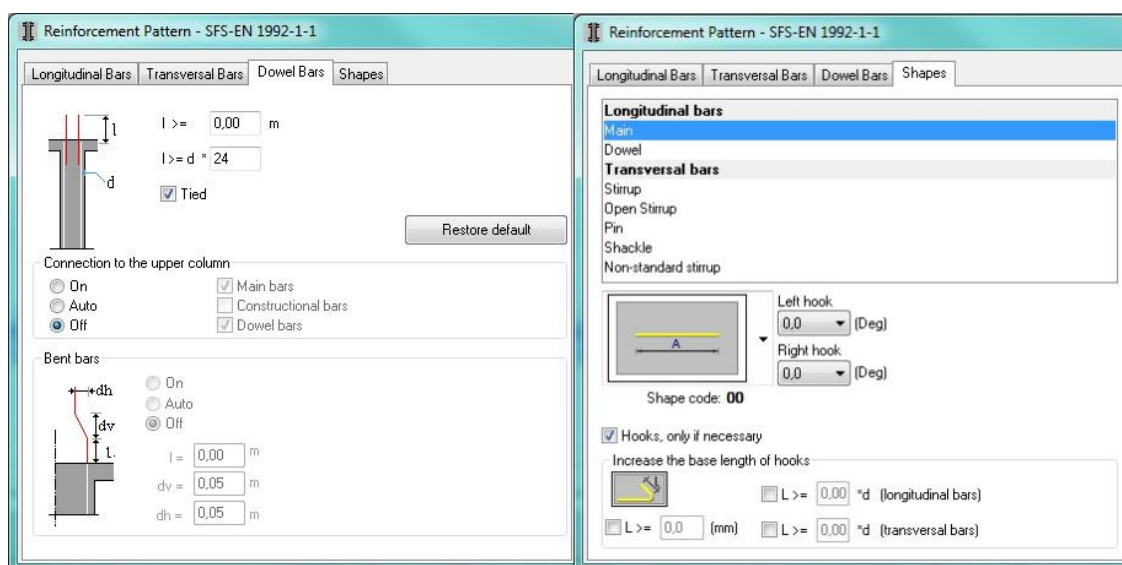






*Longitudinal bars* välilehdestä voidaan määrittää raudoitenippujen rautojen lukumäärä sekä pakottaa rautojen halkaisija haluttuun kokoon. Lisäksi voidaan määrittää minimi- ja maksimietäisyydet pääraudoituksen välillä.



*Transversal bars* välilehdestä määritellään poikittaisrautojen sijainnit pilarin pystysuunnassa, poikittaisrautojen sidontatapa sekä pilarin muoto.



*Dowel Bars* välilehdestä määritetään liitosrautojen pituus ja sidonta, yläpuoliseen pilariin tehtävän liitoksen ominaisuudet sekä liitosrautojen taivutukset.

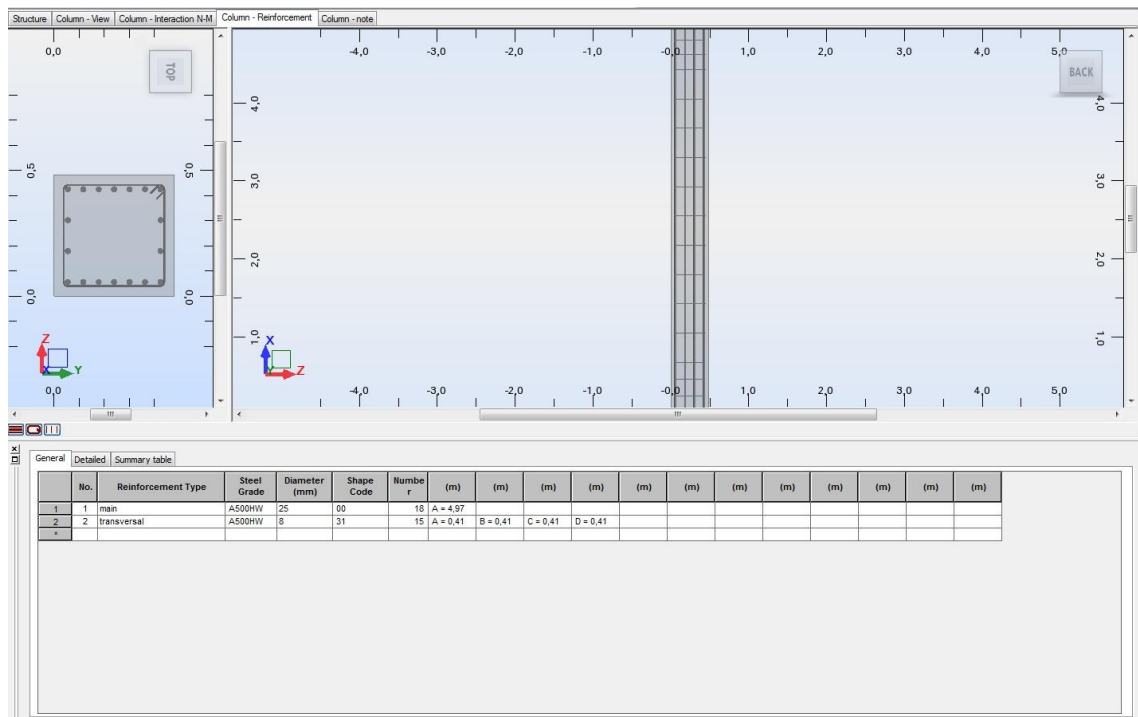
*Shapes* välilehdestä voidaan määrittellä eri raudoitetyypeille päiden taivutuksien ominaisuudet sekä tulevatko taivutukset vain tarvittaessa.

## 5 Laskenta

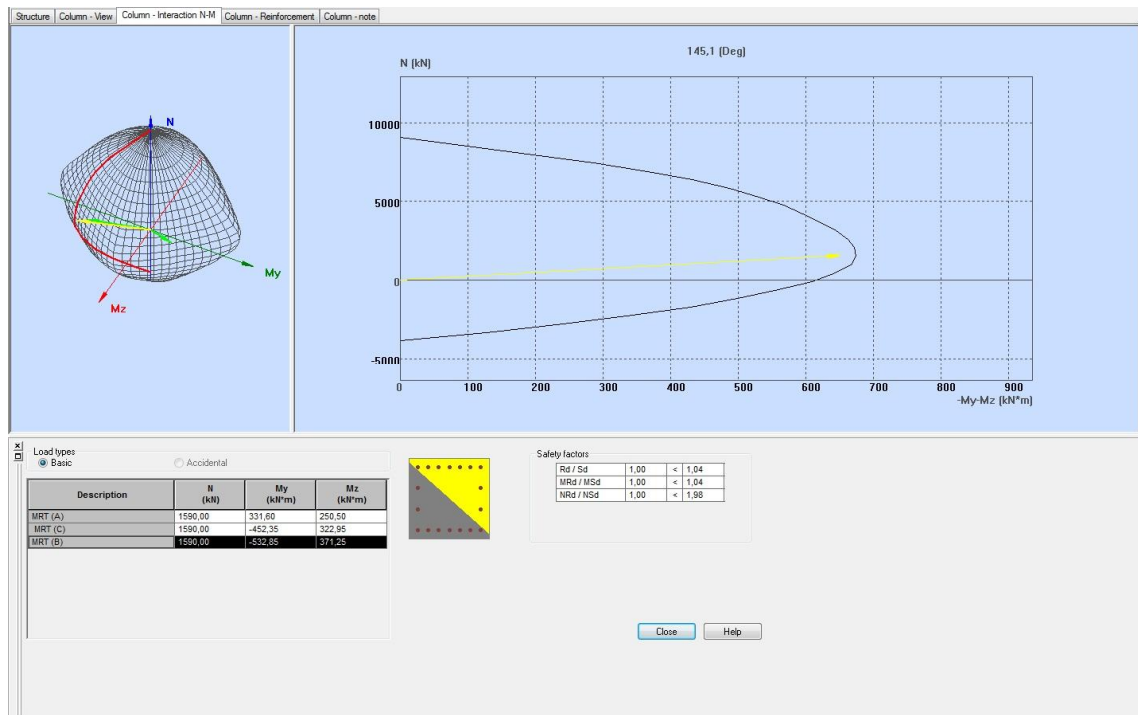
Pilarin, raudoituksen ja kuormien määrittelyn jälkeen voidaan suorittaa laskenta. Tämä tehdään työkaluriviltä *Analysis -> Calculations...*  *Calculations...* kohdasta tai yläpalkin kuvakkeesta .

## 6 Tulokset ja niiden tarkastelu

Laskennan jälkeen ohjelma määrittää pilarille sopivan raudoituksen.



*Column reinforcement* välilehdestä nähdään ohjelman määrittämä raudoitus. Välilehdellä olevasta taulukosta voidaan haluttujen raudoitteiden ominaisuuksia muokata.



Column Interaction N-M välilehdestä päästään tarkastelemaan eri kuormitusyhdistelmiä sekä pilarin yhteisvaikutusdiagrammeja ja käyttöasteita. Hiiren oikealla painikkeella voidaan valita määräävä kuormitusyhdistelmä (*Governing Case*) tai tarkasteltavat rasitukset:

- *N-M interaction diagram* näyttää normaalivoiman ja momentin yhteisvaikutusdiagrammin.
- *My-Mz interaction diagram* näyttää  $M_y$  ja  $M_z$  suuntaisten momenttien vuorovaikutuskäyrän.

# 1-SUUNTAAN TAIVUTETTU TERÄSBETONIPILARI

LASKELMAT ROBOT STRUCTURAL ANALYSIS 2012 - OHJELMALLA

## Sisällysluettelo:

s. 1-3	Nimellisen kaarevuuden menetelmä	L=7,0 m
s. 4-6	Nimellisen jäykkyyden menetelmä	L=7,0 m

# 1-SUUNTAAN TAIVUTETTU TERÄSBETONIPILARI

## NIMELLISEN KAAREVUUDEN MENETELMÄ

L=7,0m

### 1 Level:

- Name : ---
- Reference level : ---
- Concrete creep coefficient :  $\varphi_p = 1,38$
- cement class : N
- Environment class : XC3
- Structure class : S1

### 2 Column: Taivutus 1-suuntaan

Number: 1

#### 2.1 Material properties:

- Concrete : C40/50  $f_{ck} = 40,00$  (MPa)
- Unit weight : 2501,36 (kG/m<sup>3</sup>)
- Aggregate size : 32,0 (mm)
- Longitudinal reinforcement: : A500HW  $f_{yk} = 500,00$  (MPa)
- Ductility class : -
- Transversal reinforcement: : A500HW  $f_{yk} = 500,00$  (MPa)

#### 2.2 Geometry:

- 2.2.1 Rectangular 480,0 x 480,0 (mm)
- 2.2.2 Height: L = 7,00 (m)
- 2.2.3 Slab thickness = 0,00 (m)
- 2.2.4 Beam height = 0,00 (m)
- 2.2.5 Cover = 30,0 (mm)

#### 2.3 Calculation options:

- Calculations according to : SFS-EN 1992-1-1
- Seismic dispositions : No requirements
- Precast column : yes
- Pre-design : no
- Slenderness taken into account : yes
- Compression : with bending
- Ties : to slab
- More than 50 % loads applied: after 90 day
- Fire resistance class : No requirements

#### 2.4 Loads:

Case	Nature	Group	$\gamma_f$	N (kN)	My(s) (kN*m)	My(i) (kN*m)	Mz(s) (kN*m)	Mz(i) (kN*m)
DSGN1	design	1	1,00	785,00	55,00	280,00	0,00	0,00

$\gamma_f$  - load factor

## 2.5 Calculation results:

Safety factors  $R_d/E_d = 1,19 > 1.0$

### 2.5.1 ULS Analysis

Design combination: DSGN1 (B)

Internal forces:

$N_{sd} = 785,00$  (kN)       $M_{sdy} = 280,00$  (kN\*m)       $M_{sdz} = 0,00$  (kN\*m)

Design forces:

Lower node

$N = 785,00$  (kN)       $N^*e_{totz} = 559,65$  (kN\*m)       $N^*e_{toty} = 0,00$  (kN\*m)

Eccentricity:	$e_z$ (My/N)	$e_y$ (Mz/N)
Static	$e_{Ed}$ : 356,7 (mm)	0,0 (mm)
Imperfection	$e_i$ : 28,8 (mm)	0,0 (mm)
II order	$e_2$ : 327,4 (mm)	0,0 (mm)
Minimal	$e_{min}$ : 20,0 (mm)	0,0 (mm)
Total	$e_{tot}$ : 712,9 (mm)	0,0 (mm)

#### 2.5.1.1. Detailed analysis-Direction Y:

##### 2.5.1.1.1 Slenderness analysis

Sway structure

$L$ (m)	$L_0$ (m)	$\lambda$	$\lambda_{lim}$	
7,00	15,26	110,13	39,83	Slender column

##### 2.5.1.1.2 Buckling analysis

$M_2 = 280,00$  (kN\*m)       $M_1 = 55,00$  (kN\*m)

Case: Cross-section at the column end (Lower node), Slenderness taken into account

$M_0 = 280,00$  (kN\*m)

$e_a = \theta_1 \cdot l_0 / 2 = 28,8$  (mm)

$\theta_1 = \theta_0 \cdot \alpha_h \cdot \alpha_m = 0,00$

$\theta_0 = 0,01$

$\alpha_h = 0,76$

$\alpha_m = (0,5(1+1/m))^{0.5} = 1,00$

$m = 1,00$

##### Method based on nominal curvature

$M_2 = N \cdot e_2 = 257,01$  (kN\*m)

$e_2 = l_0^2 / c \cdot (1/r) = 327,4$  (mm)

$c = 8,00$

$(1/r) = K_r \cdot K_\phi \cdot (1/r_0) = 0,01$

$K_r = 1,00$

$K_\phi = 1 + \beta \cdot \varphi_{ef} = 1,00$

$\beta = 0.35 + f_{ck} / 200 - \lambda / 150 = -0,18$

$\varphi_{ef} = 1,38$

$1/r_0 = (f_{yd}/E_s) / (0.45 \cdot d) = 0,01$

$d = 429,5$  (mm)

$E_s = 200000,00$  (MPa)

$f_{yd} = 434,78$  (MPa)

(5.35)

$M_{Edmin} = 15,70$  (kN\*m)

$M_{Ed} = \max(M_{Edmin}, M_0 E_d + M_2) = 559,65$  (kN\*m)

### 2.5.2 Reinforcement:

Real (provided) area

$A_{sr} = 5890,49$  (mm<sup>2</sup>)

Ratio:

$\rho = 2,56$  %

## 2.6 Reinforcement:

### Main bars (A500HW):

- 12  $\phi 25$        $l = 6,97$  (m)

### Transversal reinforcement: (A500HW):

stirrups:      21  $\phi 8$        $l = 1,75$  (m)

pins      21  $\phi 8$        $l = 1,75$  (m)

## 3 Material survey:

- Concrete volume      = 1,61 (m<sup>3</sup>)
- Formwork      = 13,44 (m<sup>2</sup>)
- Steel A500HW
  - Total weight      = 336,92 (kG)
  - Density      = 208,91 (kG/m<sup>3</sup>)
  - Average diameter = 19,8 (mm)
  - Reinforcement survey:

Diameter	Length (m)	Weight (kG)	Number (No.)	Total weight (kG)
8	1,75	0,69	21	14,52
25	6,97	26,87	12	322,41

# 1-SUUNTAAN TAIVUTETTU TERÄSBETONIPILARI

## NIMELLISEN JÄYKKYYDEN MENETELMÄ

L=7,0m

### 1 Level:

- Name : ---
- Reference level : ---
- Concrete creep coefficient :  $\varphi_p = 1,38$
- cement class : N
- Environment class : XC3
- Structure class : S1

### 2 Column: Taivutus 1-suuntaan

Number: 1

#### 2.1 Material properties:

- Concrete : C40/50  $f_{ck} = 40,00$  (MPa)
- Unit weight : 2501,36 (kG/m<sup>3</sup>)
- Aggregate size : 32,0 (mm)
- Longitudinal reinforcement: : A500HW  $f_{yk} = 500,00$  (MPa)
- Ductility class : -
- Transversal reinforcement: : A500HW  $f_{yk} = 500,00$  (MPa)

#### 2.2 Geometry:

- 2.2.1 Rectangular 480,0 x 480,0 (mm)
- 2.2.2 Height: L = 7,00 (m)
- 2.2.3 Slab thickness = 0,00 (m)
- 2.2.4 Beam height = 0,00 (m)
- 2.2.5 Cover = 30,0 (mm)

#### 2.3 Calculation options:

- Calculations according to : SFS-EN 1992-1-1
- Seismic dispositions : No requirements
- Precast column : yes
- Pre-design : no
- Slenderness taken into account : yes
- Compression : with bending
- Ties : to slab
- More than 50 % loads applied: after 90 day
- Fire resistance class : No requirements

#### 2.4 Loads:

Case	Nature	Group	$\gamma_f$	N (kN)	My(s) (kN*m)	My(i) (kN*m)	Mz(s) (kN*m)	Mz(i) (kN*m)
DSGN1	design	1	1,00	785,00	55,00	280,00	0,00	0,00

$\gamma_f$  - load factor



## 2.5 Calculation results:

Safety factors  $R_d/E_d = 1,15 > 1.0$

### 2.5.1 ULS Analysis

Design combination: DSGN1 (B)

Internal forces:

$N_{sd} = 785,00$  (kN)       $M_{sdy} = 280,00$  (kN\*m)       $M_{sdz} = 0,00$  (kN\*m)

Design forces:

Lower node

$N = 785,00$  (kN)       $N^*_{etotz} = 523,93$  (kN\*m)       $N^*_{etoty} = 0,00$  (kN\*m)

Eccentricity:	$e_z$ (My/N)	$e_y$ (Mz/N)
Static	$e_{Ed}$ : 356,7 (mm)	0,0 (mm)
Imperfection	$e_i$ : 28,8 (mm)	0,0 (mm)
Initial	$e_0$ : 385,5 (mm)	0,0 (mm)
Minimal	$e_{min}$ : 20,0 (mm)	0,0 (mm)
Total	$e_{tot}$ : 667,4 (mm)	0,0 (mm)

#### 2.5.1.1. Detailed analysis-Direction Y:

##### 2.5.1.1.1 Slenderness analysis

Sway structure

$L$ (m)	$L_0$ (m)	$\lambda$	$\lambda_{lim}$	
7,00	15,26	110,13	39,83	Slender column

##### 2.5.1.1.2 Buckling analysis

$M_2 = 280,00$  (kN\*m)       $M_1 = 55,00$  (kN\*m)

Case: Cross-section at the column end (Lower node), Slenderness taken into account

$M_0 = 280,00$  (kN\*m)

$e_a = \theta_1 \cdot l_0 / 2 = 28,8$  (mm)

$\theta_1 = \theta_0 \cdot \alpha_h \cdot \alpha_m = 0,00$

$\theta_0 = 0,01$

$\alpha_h = 0,76$

$\alpha_m = (0,5(1+1/m))^{0.5} = 1,00$

$m = 1,00$

Method based on nominal stiffness

$$\left[ 1 + \frac{\beta}{(N_B / N) - 1} \right] = 1,73$$

$\beta = 1,23$

$N_b = (\pi^2 \cdot E J) / l_0^2 = 2109,45$  (kN)

$E J = K_c \cdot E_{cd} \cdot J_c + K_s \cdot E_s \cdot J_s = 49771,34$  (kN\*m<sup>2</sup>)

$\varphi_{ef} = 1,38$

$J_c = 4423680000,0$  (mm<sup>4</sup>)

$J_s = 211528833,0$  (mm<sup>4</sup>)

$K_c = 0,06$  ()

$K_s = 1,00$  ()

$M_{Edmin} = 15,70$  (kN\*m)

$$M_{Ed} = \max \left\{ M_{Edmin}; \left[ 1 + \frac{\beta}{(N_B / N) - 1} \right] M_{0Ed} \right\} = 523,93 \text{ (kN*m)}$$

### 2.5.2 Reinforcement:

Real (provided) area  $A_{sr} = 5890,49 \text{ (mm}^2\text{)}$   
Ratio:  $\rho = 2,56 \%$

### 2.6 Reinforcement:

#### Main bars (A500HW):

- 12  $\phi 25$   $l = 6,97 \text{ (m)}$

#### Transversal reinforcement: (A500HW):

stirrups: 21  $\phi 8$   $l = 1,75 \text{ (m)}$

pins 21  $\phi 8$   $l = 1,75 \text{ (m)}$

## 3 Material survey:

- Concrete volume  $= 1,61 \text{ (m}^3\text{)}$
- Formwork  $= 13,44 \text{ (m}^2\text{)}$
- Steel A500HW
  - Total weight  $= 336,92 \text{ (kG)}$
  - Density  $= 208,91 \text{ (kG/m}^3\text{)}$
  - Average diameter  $= 19,8 \text{ (mm)}$
  - Reinforcement survey:

Diameter	Length (m)	Weight (kG)	Number (No.)	Total weight (kG)
8	1,75	0,69	21	14,52
25	6,97	26,87	12	322,41

# 1-SUUNTAAN TAIVUTETTU TERÄSBETONIPILARI

## VERTAILULASKELMAT

NIMELLISEN KAAREVUUDEN MENETELMÄ  
NIMELLISEN JÄYKKYYDEN MENETELMÄ

### Sisällysluettelo:

s. 1	Nurjahduspituus
s. 2-3	Lähtötiedot (nimellisen kaarevuuden menetelmä)
s. 4-10	Laskenta (nimellisen kaarevuuden menetelmä)
s. 11-12	Tulokset (nimellisen kaarevuuden menetelmä)
s. 13	Laskenta (nimellisen jäykkyyden menetelmä)

## 1-suuntaan taivutettu teräsbetonipilari nurjahduspituus

$$l_0 = l \cdot \max \left\{ \sqrt{1 + 10 \cdot \frac{k_1 \cdot k_2}{k_1 + k_2}}; \left(1 + \frac{k_1}{1 + k_1}\right) \cdot \left(1 + \frac{k_2}{1 + k_2}\right) \right\}$$

$k_1$  = yläpään kiertymäjoustavuuden suhteellinen arvo

$k_2$  = alapään kiertymäjoustavuuden suhteellinen arvo

$k_1 = 0,1$

$k_2 = \infty$



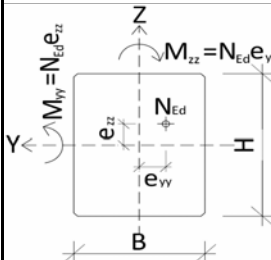
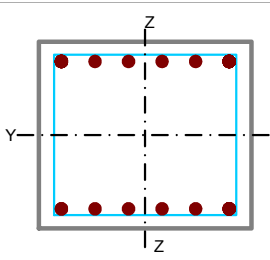
$l = 7000 \text{ mm}$

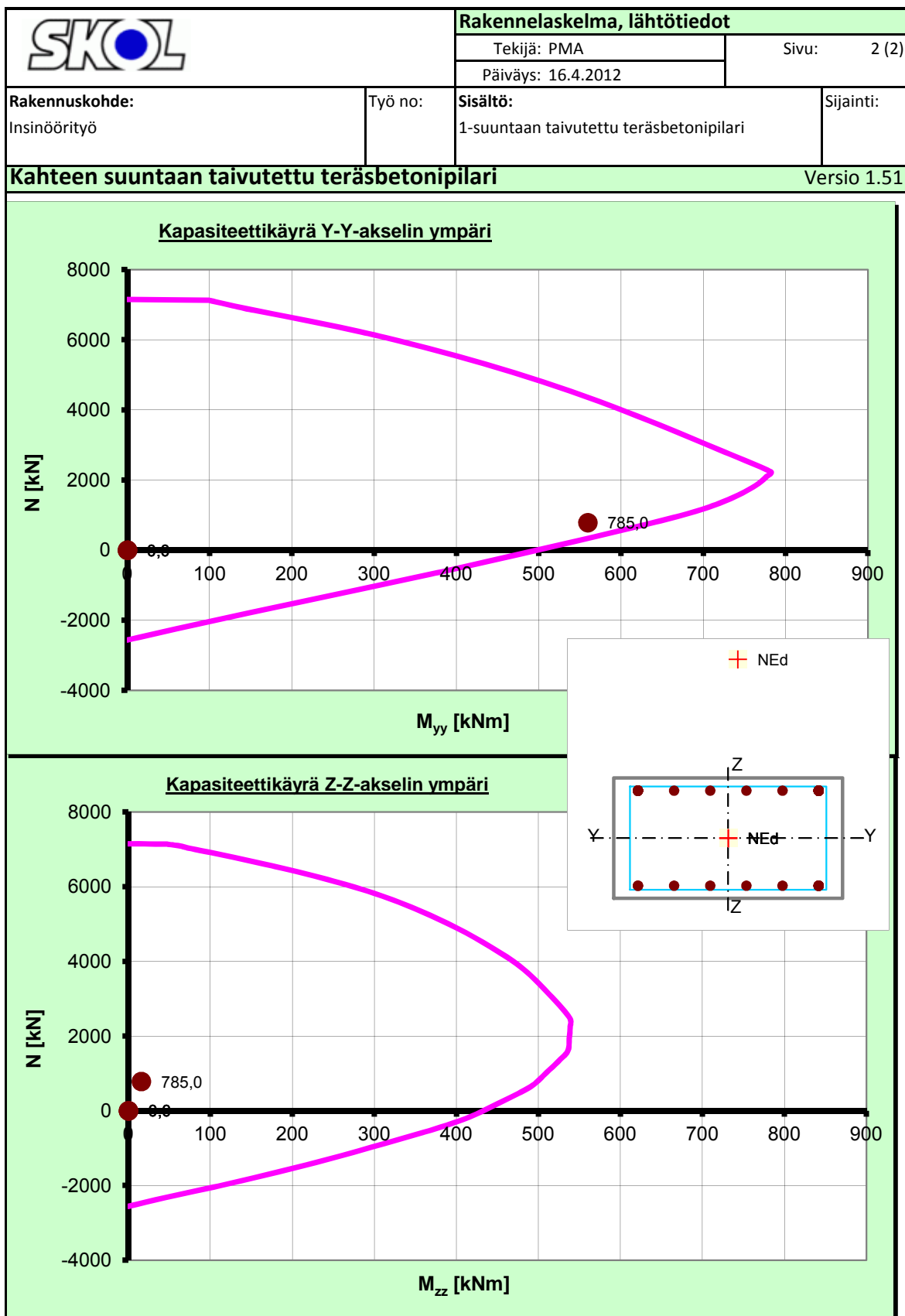
$$l_0 = 7000 \text{ mm} \cdot \max \left\{ \sqrt{1 + 10 \cdot \frac{0,1 \cdot \infty}{0,1 + \infty}}; \left(1 + \frac{0,1}{1 + 0,1}\right) \cdot \left(1 + \frac{\infty}{1 + \infty}\right) \right\}$$

$$l_0 = 7000 \text{ mm} \cdot \max \{1,41; 2,18\}$$

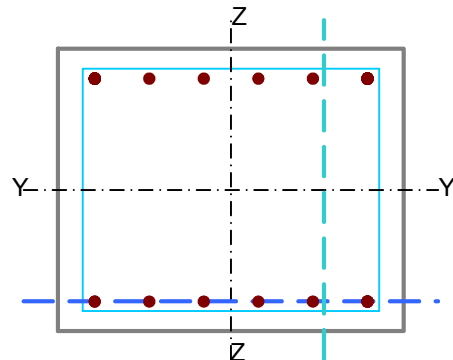
$$l_0 = \mathbf{15260 \text{ mm}}$$

Vertailulaskelmat on laskettu ”Kahteen suuntaan taivutettu teräsbetonipilari – laskentapohjalla”. Vertailtaessa näitä RSA – laskelmiin tarvitsee huomioida vain tarkastelu Y-Y akselin ympäri. Tarkastelu Z-Z akselin ympäri voidaan jättää kokonaan huomiotta.

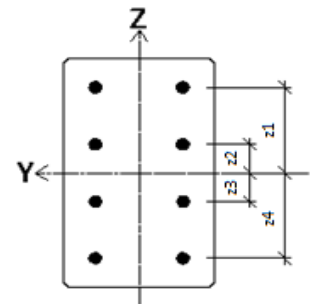
		<b>Rakennelaskelma, lähtötiedot</b>																																					
Finnmap Consulting Oy, Ratamestarinkatu 7a, 00521 HELSINKI		Tekijä: PMA	Sivu: 1 (2)																																				
Päiväys: 16.4.2012																																							
<b>Rakennuskohde:</b> Insinööritoimisto	Työ no:	<b>Sisältö:</b> 1-suuntaan taivutettu teräsbetonipilari	Sijainti:																																				
<b>B3 Kahteen suuntaan taivutettu teräsbetonipilari</b>																																							
Versio 1.51																																							
 Toteutettu SKOL Eurocode-laskentapohjahankkeessa 2008-2011																																							
<b>Olosuhdetekijät:</b>		<b>Poikkileikkauksen mitat:</b>																																					
Rasitusluokka = XC3 Suun. käyttöikä = 50 vuotta RH = 50 % $t_0 = 28$ $t = 3650$	Kohtalaisen kostea #N/A d	Korkeus, H = 480 mm Leveys, B = 480 mm																																					
<b>Materiaalit:</b>		<b>Pilarin pituus ja nurjahduskertoimet:</b>																																					
Rakenneluokka = 2 Betoni = C40/50 Betoniteräs $f_{yk} = 500$ MPa		Pilarin pituus, L = 7000 mm $\mu_{yy} = 2,18$ $\mu_{zz} = 0,00$	Nurjahduskerroin, Y-Y Nurjahduskerroin, Z-Z																																				
																																							
<b>Betonipeitteen nimellisarvo ja max. raekoko:</b>		<b>Rauditus:</b>																																					
Betonipeite, c = 30 mm $\Delta c_{dev} = 10$ mm Max raekoko, $d_g = 32$ mm		$\phi_{main} = 25$ mm teräsriv. h sivulla = 2 = $n_h$ teräsriv. b sivulla = 6 = $n_b$ $\phi_{Haat} = 8$ mm s = 350 mm																																					
<b>Tarkistukset, Tulokset ja Maksimikäyttöasteet:</b>																																							
$A_s = 5890,5$ mm <sup>2</sup> $A_{s,min} = 460,8$ mm <sup>2</sup> $A_{s,max} = 13824,0$ mm <sup>2</sup> $c_{nom} = 27$ mm $a_{min} = 35$ mm $\phi_{haka,min} = 6,25$ mm $s_{cl,max} = 375$ mm	<table border="1"> <thead> <tr> <th></th> <th colspan="2">Y-Y-akselin ympäri[kNm]</th> <th colspan="2">Z-Z-akselin ympäri[kNm]</th> <th>Vinotaivutus (Eq 5.39)</th> </tr> <tr> <th></th> <th><math>M_{Ed,yy}</math></th> <th><math>M_{Rd,yy}</math></th> <th><math>M_{Ed,zz}</math></th> <th><math>M_{Rd,zz}</math></th> <th></th> </tr> </thead> <tbody> <tr> <td>Tapaus 1</td> <td>559,6</td> <td>639,0</td> <td>15,7</td> <td>498,1</td> <td>0,91</td> </tr> <tr> <td>Tapaus 2</td> <td>0,0</td> <td>497,4</td> <td>0,0</td> <td>432,1</td> <td>0,00</td> </tr> <tr> <td>Tapaus 3</td> <td>0,0</td> <td>497,4</td> <td>0,0</td> <td>432,1</td> <td>0,00</td> </tr> <tr> <td>Tapaus 4</td> <td>0,0</td> <td>497,4</td> <td>0,0</td> <td>432,1</td> <td>0,00</td> </tr> </tbody> </table>		Y-Y-akselin ympäri[kNm]		Z-Z-akselin ympäri[kNm]		Vinotaivutus (Eq 5.39)		$M_{Ed,yy}$	$M_{Rd,yy}$	$M_{Ed,zz}$	$M_{Rd,zz}$		Tapaus 1	559,6	639,0	15,7	498,1	0,91	Tapaus 2	0,0	497,4	0,0	432,1	0,00	Tapaus 3	0,0	497,4	0,0	432,1	0,00	Tapaus 4	0,0	497,4	0,0	432,1	0,00	$\phi(t, t_0) = 1,75$ $i_{yy} = 138,6$ $i_{zz} = 138,6$ $\lambda_{yy} = 110,1$ $\lambda_{zz} = 0,0$ $L_{0,yy} = 15260,0$ mm $L_{0,zz} = 0,0$ mm	
	Y-Y-akselin ympäri[kNm]		Z-Z-akselin ympäri[kNm]		Vinotaivutus (Eq 5.39)																																		
	$M_{Ed,yy}$	$M_{Rd,yy}$	$M_{Ed,zz}$	$M_{Rd,zz}$																																			
Tapaus 1	559,6	639,0	15,7	498,1	0,91																																		
Tapaus 2	0,0	497,4	0,0	432,1	0,00																																		
Tapaus 3	0,0	497,4	0,0	432,1	0,00																																		
Tapaus 4	0,0	497,4	0,0	432,1	0,00																																		
<b>Ensimmäisen kertaluvun voimasuureet (sisältää pilarin oman painon):</b>																																							
Voimasuureet sisältävät 2-kertaluvun vaikutukset : Ei		Rakenne on:																																					
Huomioi mittaepätarkkuudet: Z-Z suunnassa		Sivusiirtävä(mastopilari) Z-Z suunnassa																																					
		Sivusiirtymätön Y-Y suunnassa																																					
<b>Murtorajatilan voimasuureet pilarin päissä</b>																																							
Puristus = (+) Veto = (-) $N_{Ed}$ [kN]	Yläpää (top) $M_{0yy,top}$ [kNm] $M_{0zz,top}$ [kNm]	Alapää (btm) $M_{0yy,btm}$ [kNm] $M_{0zz,btm}$ [kNm]	KRT Pitkäaikaisen ja MRT Momentin suhde $(M_{0Eqp}/M_{0Ed})_{yy}$ $(M_{0Eqp}/M_{0Ed})_{zz}$	Kokonaiskaarevuuden jakaumasta riippuva kerroin $c_{yy}$ $c_{zz}$																																			
Tapaus 1	785	55	0	280	0																																		
Tapaus 2																																							
Tapaus 3																																							
Tapaus 4																																							



B3 Kahteen suuntaan taivutettu teräsbetonipilari/ Laskenta						Versio 1.51		Sivu1(7)																		
<b>Olosuhdetekijät:</b>																										
		<table border="1" style="width: 100%; border-collapse: collapse;"> <thead> <tr> <th>Tunnus</th> <th></th> </tr> </thead> <tbody> <tr> <td>Rasitusluokka =</td> <td>XC3</td> </tr> <tr> <td>Suun. käyttöikä =</td> <td>50 vuotta</td> </tr> <tr> <td>RH =</td> <td>50 %</td> </tr> <tr> <td>t =</td> <td>3650</td> </tr> <tr> <td>t<sub>0</sub> =</td> <td>28</td> </tr> </tbody> </table>								Tunnus		Rasitusluokka =	XC3	Suun. käyttöikä =	50 vuotta	RH =	50 %	t =	3650	t <sub>0</sub> =	28					
Tunnus																										
Rasitusluokka =	XC3																									
Suun. käyttöikä =	50 vuotta																									
RH =	50 %																									
t =	3650																									
t <sub>0</sub> =	28																									
		<div style="text-align: right;">d</div>																								
<b>BETONI</b>																										
		<table border="1" style="width: 100%; border-collapse: collapse;"> <thead> <tr> <th>Rakenneluokka =</th> <th>2</th> </tr> </thead> <tbody> <tr> <td>Osavarmuusluku, γ<sub>c</sub> =</td> <td>1,5</td> </tr> <tr> <td>α<sub>cc</sub> =</td> <td>0,85</td> </tr> </tbody> </table>								Rakenneluokka =	2	Osavarmuusluku, γ <sub>c</sub> =	1,5	α <sub>cc</sub> =	0,85											
Rakenneluokka =	2																									
Osavarmuusluku, γ <sub>c</sub> =	1,5																									
α <sub>cc</sub> =	0,85																									
		f <sub>ck</sub>	f <sub>cd</sub>	f <sub>cm</sub>	E <sub>cm</sub>	ε <sub>c3</sub>	ε <sub>cu3</sub>	λ	η																	
Tunnus		MPa	MPa	MPa	GPa	‰	‰																			
C40/50		40,00	22,67	48,00	23	1,75	3,50	0,80	1,00																	
<b>BETONITERÄS</b>																										
		<table border="1" style="width: 100%; border-collapse: collapse;"> <thead> <tr> <th>Osavarmuusluku, γ<sub>s</sub> =</th> <th>1,15</th> </tr> </thead> <tbody> <tr> <td>f<sub>yk</sub></td> <td>f<sub>yd</sub></td> <td>E<sub>s</sub></td> <td>ε<sub>yd</sub></td> <td>ε<sub>ud</sub></td> </tr> <tr> <td>MPa</td> <td>MPa</td> <td>MPa</td> <td>‰</td> <td>‰</td> </tr> <tr> <td>500</td> <td>434,8</td> <td>200000</td> <td>2,174</td> <td>10</td> </tr> </tbody> </table>								Osavarmuusluku, γ <sub>s</sub> =	1,15	f <sub>yk</sub>	f <sub>yd</sub>	E <sub>s</sub>	ε <sub>yd</sub>	ε <sub>ud</sub>	MPa	MPa	MPa	‰	‰	500	434,8	200000	2,174	10
Osavarmuusluku, γ <sub>s</sub> =	1,15																									
f <sub>yk</sub>	f <sub>yd</sub>	E <sub>s</sub>	ε <sub>yd</sub>	ε <sub>ud</sub>																						
MPa	MPa	MPa	‰	‰																						
500	434,8	200000	2,174	10																						
		<div style="text-align: right;"> <math>f_{cd} = \alpha_{cc} \cdot f_{ck} / \gamma_c</math>  <math>f_{yd} = f_{yk} / \gamma_s</math>  <math>\epsilon_{yd} = f_{yd} / E_s</math> </div>																								
<b>RAKENNEOSAN MITAT JA GEOMETRIA:</b>																										
Korkeus, H =		480	mm	L =		7000	mm																			
Leveys, B =		480	mm	μ <sub>yy</sub> =		2,18	Nurjahduskerroin Y-Y akselin ympäri																			
A <sub>c</sub> =		230400	mm <sup>2</sup>	μ <sub>zz</sub> =		0	Nurjahduskerroin Z-Z akselin ympäri																			
		A <sub>c</sub> = B * H		Rakenne on:		Sivusiirtyvä(mastopilari) Z-Z suunnassa																				
						Sivusiirtymätön Y-Y suunnassa																				
Betonipeite, c =		30	mm	Huomioi epätarkkuudet(e):		Z-Z suunnassa																				
Δc <sub>dev</sub> =		10	mm																							
Max rakoko, d <sub>g</sub> =		32	mm																							
		Rauditus		Nurjahduspituudet																						
Ø <sub>main</sub> =		25	mm	L <sub>0,yy</sub> =		15260	mm	L <sub>0,yy</sub> = L * μ <sub>yy</sub>																		
n <sub>h</sub> =		2		L <sub>0,zz</sub> =		0	mm	L <sub>0,zz</sub> = L * μ <sub>zz</sub>																		
n <sub>b</sub> =		6		Jäyhyyssäteet																						
Σbars =		12		i <sub>yy</sub> =		138,6	mm	i <sub>yy</sub> = H / (12) <sup>0,5</sup>																		
		Σbars = 2 * n <sub>h</sub> + 2 * (n <sub>b</sub> - 2)		i <sub>zz</sub> =		138,6	mm	i <sub>zz</sub> = B / (12) <sup>0,5</sup>																		
A <sub>stot</sub> =		5890	mm <sup>2</sup>	Hoikkuusluvut																						
ω =		0,4904		λ <sub>yy</sub> =		110,1		λ <sub>yy</sub> = L <sub>0,yy</sub> / i <sub>yy</sub>																		
		ω = A <sub>s</sub> * f <sub>yd</sub> / (A <sub>c</sub> * f <sub>cd</sub> )		λ <sub>zz</sub> =		0,0		λ <sub>zz</sub> = L <sub>0,zz</sub> / i <sub>zz</sub>																		
Ø <sub>Haat</sub> =		8	mm	EHTO:		λ <sub>yy</sub> < 140 OK																				
s =		350	mm			λ <sub>zz</sub> < 140 OK																				
<b>SISÄISET VOIMASUUREET</b>																										
MRT - Murtorajatilan voimasuureet [kN] ja [kNm]																										
Puristus = (+)		Yläpää (top)		Alapää (btm)		KRT Pitkäaikaisen ja MRT Momentin suhde		Kokonaiskaarevuuden jakaumasta riippuva kerroin																		
Veto = (-)		M <sub>0yy,top</sub>	M <sub>0zz,top</sub>	M <sub>0yy,btm</sub>	M <sub>0zz,btm</sub>	(M <sub>0Eqp</sub> / M <sub>0Ed</sub> ) <sub>yy</sub>	(M <sub>0Eqp</sub> / M <sub>0Ed</sub> ) <sub>zz</sub>	c <sub>yy</sub>	c <sub>zz</sub>																	
N <sub>Ed</sub> [kN]		[kNm]	[kNm]	[kNm]	[kNm]																					
1	785	55	0	280	0	0,790	0,000	8,000	0,000																	
2	0	0	0	0	0	0,000	0,000	0,000	0,000																	
3	0	0	0	0	0	0,000	0,000	0,000	0,000																	
4	0	0	0	0	0	0,000	0,000	0,000	0,000																	

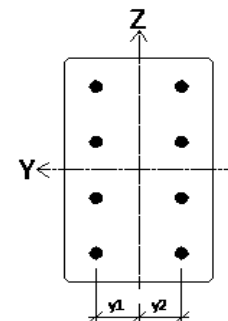


Laskenta ja mitoitus alkaa tästä:										Sivu2(7)	
<b>1. Raudoituksen jäyhyyssäteiden laskeminen Y-Y ja Z-Z akselien ympäri</b>											
H=	480	mm	$\phi_{main} =$	25	mm	$A_{stot} =$	5890	mm <sup>2</sup>			
B=	480	mm	$A_{s1} =$	491	mm <sup>2</sup>	$I_{\phi main} =$	19174,8	mm <sup>4</sup>			
						$I_{\phi main} =$	$\pi * \phi^4 / 64$				
Raudoituksen jäyhyyssäde $i_y$ Y-Y akselin ympäri											
rivi	$d'_n$ [mm]	$z$ [mm]	$z^2$ [mm <sup>2</sup> ]	$n$ [kpl]	$I_{s,yy,n}$						
1	50,5	189,5	35910,3	6	105879465						
2	429,5	-189,5	35910,3	6	105879465						
					$I_{s,yy} =$	2,12,E+08	mm <sup>4</sup>				
					$i_{s,yy} =$	189,60	mm				
Raudoituksen jäyhyyssäde $i_z$ Z-Z akselin ympäri											
rivi	$d'_n$ [mm]	$y$ [mm]	$y^2$ [mm <sup>2</sup> ]	kpl	$I_{s,zz,n}$						
1	50,5	189,5	35910,3	2	35293155						
2	126,3	113,7	12927,7	2	12730079						
3	202,1	37,9	1436,4	2	1448542						
4	277,9	-37,9	1436,4	2	1448542						
5	353,7	-113,7	12927,7	2	12730079						
6	429,5	-189,5	35910,3	2	35293155						
					$I_{s,zz} =$	9,89,E+07	mm <sup>4</sup>				
					$i_{s,zz} =$	129,60	mm				
2. Virumaluvun laskenta (EC2 liite B)											
$t_0 =$	28	d	RH =	50,00 %		H =	480	mm			
$t =$	3650	d	$f_{cm} =$	48,00	MPa	B =	480	mm			
$u =$	1920	mm	$u = 2 * (B + H)$			$A_c =$	230400	mm			
$h_0 =$	240,00	mm	$h_0 = 2 * u / A_c$								
$\alpha_1 =$	0,802		$\alpha_2 =$	0,939		$\alpha_3 =$	0,854				
$\alpha_1 =$	$[35/f_{cm}]^{0,7}$		$\alpha_2 =$	$[35/f_{cm}]^{0,2}$		$\alpha_3 =$	$[35/f_{cm}]^{0,3}$				
$\beta(f_{cm}) =$	2,425		$\beta(f_{cm}) =$	$16.8 / (f_{cm})^{0,3}$							
$\beta(t_0) =$	0,488		$\beta(t_0) =$	$1 / [0.1 + t_0^{0,4}]$							
$\beta_H =$	573,515		$\beta_H (f_{cm} \leq 35) =$	$\text{MIN}\{ 1.5 * [1 + (0.012RH)^{1,5}] h_0 + 250 ; 1500 \}$							
$\varphi_{RH} =$	1,544		$\beta_H (f_{cm} > 35) =$	$\text{MIN}\{ 1.5 * [1 + (0.012RH)^{1,5}] h_0 + 250 * \alpha_3 ; 1500 * \alpha_3 \}$							
$\varphi_0 =$	1,829		$\varphi_{RH} (f_{cm} \leq 35) =$	$1 + (1 - RH/100) / (0.1 * h_0^{1/3})$							
$\beta_c(t, t_0) =$	0,957		$\varphi_{RH} (f_{cm} > 35) =$	$[1 + (1 - RH/100) / (0.1 * h_0^{1/3}) * \alpha_1] * \alpha_2$							
$\varphi(t, t_0) =$	1,750		$\varphi_0 =$	$\varphi_{RH} * \beta(f_{cm}) * \beta(t_0)$							
			$\beta_c(t, t_0) =$	$[(t - t_0) / (\beta_H + t - t_0)]^{0,3}$							
			$\varphi(t, t_0) =$	$\varphi_0 * \beta_c(t, t_0)$							



$$I_{s,yy} = \sum I_{s,yy,n}$$

$$i_{s,yy} = (I_{s,yy} / A_{stot})^{0.5}$$



$$I_{s,zz} = \sum I_{s,zz,n}$$

$$i_{s,zz} = (I_{s,zz} / A_{stot})^{0.5}$$



**TARKISTUKSET**

Sivu3(7)

**3. Betonipeitteen minimipaksuuden nimellisarvon laskenta (EC2 kohta 4.4)**

$$c_{min,b} = 17 \text{ mm}$$

$$c_{min,b} = \text{MAX} \begin{cases} \phi_{main} - \phi_{haka} \\ \phi_{haka} \end{cases}$$

$$f_{ck,min} = 30 \text{ MPa}$$

$$\text{Ehto: } f_{ck} \geq f_{ck,min} \text{ OK}$$

$$f_{ck,väh} = 35 \text{ MPa}$$

$$c_{min,dur,basic} = 20 \text{ mm}$$

$$+c_{min,100v} = 0 \text{ mm}$$

$$+c_{min,fck} = -5 \text{ mm}$$

$$+c_{min,rkl} = 0 \text{ mm}$$

$$c_{min,dur} = 15 \text{ mm}$$

$$c_{min,dur} = c_{min,dur,basic} + c_{min,100v} + c_{min,fck} + c_{min,rkl}$$

$$\Delta c_{dur,y} = 0 \text{ mm}$$

$$\Delta c_{dur,st} = 0 \text{ mm}$$

$$\Delta c_{dur,add} = 0 \text{ mm}$$

$$c_{min} = 17 \text{ mm}$$

$$\Delta c_{dev} = 10 \text{ mm}$$

$$c_{min} = \text{MAX} \begin{cases} c_{min,b} \\ c_{min,dur} + \Delta c_{dur,y} - \Delta c_{dur,st} - \Delta c_{dur,add} \\ 10 \text{ mm} \end{cases}$$

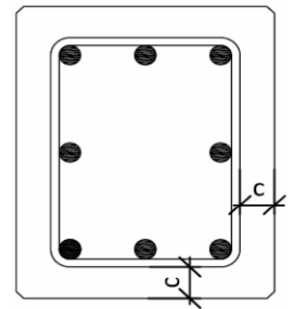
$$c_{nom} = 27 \text{ mm}$$

$$c_{nom} = \Delta c_{dev} + c_{min}$$

$$\text{EHTO:}$$

$$c \geq c_{nom} \text{ OK}$$

$$\text{Betonipeite, } c = 30 \text{ mm}$$



**4. Tankojen välisen vapaan välin minimietäisyyden laskenta (EC2 kohta 8.2)**

$$k_1 = 1$$

$$k_2 = 3 \text{ mm}$$

$$\phi_{main} = 25 \text{ mm}$$

$$d_g = 32 \text{ mm}$$

$$a_{min} = 35 \text{ mm}$$

$$a_{min} = \text{MAX} \begin{cases} k_1 * \phi_{main} \\ d_g + k_2 \\ 20 \text{ mm} \end{cases}$$

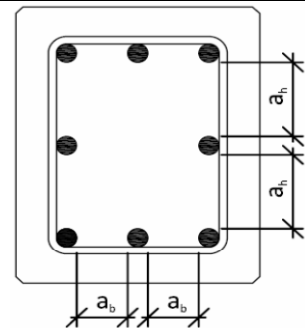
$$\text{EHTO:}$$

$$a_h \geq a_{min} \text{ OK}$$

$$a_b \geq a_{min} \text{ OK}$$

$$a_h = 354,00 \text{ mm}$$

$$a_b = 50,80 \text{ mm}$$



**5. Pääraudoituksen minimi/maksimivaatimukset (EC2 kohta 9.5.2)**

$$A_c = 230400 \text{ mm}^2$$

$$N_{Ed,max} = 785 \text{ kN}$$

$$A_{s,min} = 460,8 \text{ mm}^2$$

$$A_{s,min} = \text{MAX} \begin{cases} 0.1 * N_{Ed,max} / f_{yd} \\ 0.002 * A_c \end{cases}$$

$$A_{s,max} = 13824 \text{ mm}^2$$

$$A_{s,max} = 0.06 * A_c$$

$$\text{EHTO:}$$

$$A_{stot} \geq A_{s,min} \text{ OK}$$

$$A_{stot} \leq A_{s,max} \text{ OK}$$

$$A_{stot} = 5890 \text{ mm}^2$$

**6. Hakaraudoituksen minimi ja maksimivaatimukset (EC2 kohta 9.5.3)**

$$\phi_{h,min} = 6,25 \text{ mm}$$

$$\phi_{h,min} = \text{MAX} \begin{cases} 0.25 * \phi \\ 6 \text{ mm} \\ 15 * \phi_{main} \end{cases}$$

$$\text{EHTO:}$$

$$\phi_{haat} \geq \phi_{h,min} \text{ OK}$$

$$s_{cl,tmax} = 375 \text{ mm}$$

$$s_{cl,tmax} = \text{MIN} \begin{cases} \min(H, B) \\ 400 \text{ mm} \end{cases}$$

$$\text{EHTO:}$$

$$s \leq s_{cl,tmax} \text{ OK}$$

**7. Päätankojen sitominen, (EC2 kohta 9.5.3(6))**

9.5.3(6) Jokainen poikkileikkauksen nurkkaan sijoitettu päätanko sidotaan haoilla. Poikkileikkauksen

puristetussa osassa mikään päätanko ei saa olla kauempana kuin 150mm etäisyydellä sidotusta tangosta.

$$\text{Max etäisyys H sivulla} = 379 \text{ mm}$$

$$\text{Max etäisyys B sivulla} = 152 \text{ mm}$$

$$\text{OK - päätangot nurkissa}$$

$$\text{LISÄHAAT TARVITAAN}$$

MITOITUSLASKELMAT						Sivu4(7)
<b>8. Ekvivalentin vakiomomentin <math>M_{0e}</math> laskeminen, (EC2 kohta 5.8.8.2)</b>						
$M_{01,yy} = \text{MIN} ( M_{0yy,top}  ;  M_{0yy,btm} )$ $M_{02,yy} = \text{MAX} ( M_{0yy,top}  ;  M_{0yy,btm} )$ $M_{0e,yy} = \text{MAX} \begin{cases} 0.6 * M_{02,yy} + 0.4 * M_{01,yy} \\ 0.4 * M_{02,yy} \end{cases}$			$M_{01,zz} = \text{MIN} ( M_{0zz,top}  ;  M_{0zz,btm} )$ $M_{02,zz} = \text{MAX} ( M_{0zz,top}  ;  M_{0zz,btm} )$ $M_{0e,zz} = \text{MAX} \begin{cases} 0.6 * M_{02,zz} + 0.4 * M_{01,zz} \\ 0.4 * M_{02,zz} \end{cases}$			
<b>Y-Y akselin ympäri</b>			<b>Z-Z akselin ympäri</b>		Ehto:	
	$M_{01,yy}$ [kNm]	$M_{02,yy}$ [kNm]	$M_{0e,yy}$ [kNm]	$M_{01,zz}$ [kNm]	$M_{02,zz}$ [kNm]	$M_{0e,zz}$ [kNm]
1	55,0	280,0	190,0	0,0	0,0	0,0
2	0,0	0,0	0,0	0,0	0,0	0,0
3	0,0	0,0	0,0	0,0	0,0	0,0
4	0,0	0,0	0,0	0,0	0,0	0,0
						$ M_{02,yy}  \geq  M_{01,yy} $ $ M_{02,zz}  \geq  M_{01,zz} $
<b>9. Mittaepätarkkuuksien aiheuttaman taivutusmomentin laskenta (EC2 kohta 5.2, menetelmä a)</b>						
$\theta_0 = \frac{1}{200}$ $\theta_i = \frac{2,529}{}$ $\theta_i = \theta_0 * \alpha_m * \alpha_h$		$m = \frac{1}{}$ $\alpha_m = \frac{1}{}$ $\alpha_m = [0,5 * (1 + 1/m)]^{0,5}$		$L = \frac{7,0}{}$ m $\alpha_h = \frac{0,756}{}$ $\alpha_h = 2/(L)^{0,5}; 2/3 < \alpha_h < 1$		
	$N_{Ed}$ [kN]	$M_{i,yy}$ [kNm]	$M_{i,zz}$ [kNm]	Huomioi epätarkkuus(e): Z-Z suunnassa		
1	785	22,6	0,0	$e_{i,zz} = \frac{28,8}{}$ mm	$e_{i,zz} = \theta_i * L_{0,yy} / 2$	
2	0	0,0	0,0	$e_{i,yy} = \frac{0,0}{}$ mm	$e_{i,yy} = \theta_i * L_{0,zz} / 2$	
3	0	0,0	0,0			
4	0	0,0	0,0			
				$M_{i,yy} = e_{i,zz} * N_{Ed}$ $M_{i,zz} = e_{i,yy} * N_{Ed}$		
<b>10. Tehollisen virumaluvun <math>\phi_{ef}</math> laskenta (EC2 kohta 5.8.4)</b>						
	$M_{0Eqp,yy} / M_{0Ed,yy}$	$\phi_{ef,yy}$	$M_{0Eqp,zz} / M_{0Ed,zz}$	$\phi_{ef,zz}$	Virumaluku:	
1	0,79	1,38	0,00	0,00	$\phi(t, t_0) = \frac{1,75}{}$	
2	0,00	0,00	0,00	0,00	$\phi_{ef,yy} = \phi(t, t_0) * (M_{0Eqp,yy} / M_{0Ed,yy})$	
3	0,00	0,00	0,00	0,00	$\phi_{ef,yy} = \phi(t, t_0) * (M_{0Eqp,yy} / M_{0Ed,yy})$	
4	0,00	0,00	0,00	0,00		
<b>11. Taivutuskestävyyden <math>M_{Rd}</math> ratkaiseminen eri <math>N_{Ed}</math> arvoille</b>						
11.1. Taivutuskestävyys $M_{Rdyy}$ Y-Y akselin ympäri						$M_{Rdyy} = f M_{Rd} + f \Delta M_{Rd} * [(N_{Ed} - f N_{Rd,yy}) / (f \Delta N_{Rd})]$
	$N_{Ed}$ [kN]	$f N_{Rd,yy}$ [kN]	$f M_{Rd,yy}$ [kNm]	$f \Delta N_{Rd,yy}$ [kN]	$f \Delta M_{Rd,yy}$ [kNm]	$M_{Rd,yy}$ [kNm]
1	785	748,6	633,0	247,0	40,8	639,0
2	0	-74,5	483,7	130,5	24,0	497,4
3	0	-74,5	483,7	130,5	24,0	497,4
4	0	-74,5	483,7	130,5	24,0	497,4
11.2. Taivutuskestävyys $M_{Rdzz}$ Z-Z akselin ympäri						$M_{Rdzz} = f M_{Rd,zz} + f \Delta M_{Rd,zz} * [(N_{Ed} - f N_{Rd,zz}) / (f \Delta N_{Rd})]$
	$N_{Ed}$ [kN]	$f N_{Rd,zz}$ [kN]	$f M_{Rd,zz}$ [kNm]	$f \Delta N_{Rd,zz}$ [kN]	$f \Delta M_{Rd,zz}$ [kNm]	$M_{Rd,zz}$ [kNm]
1	785	682,8	493,0	330,5	16,5	498,1
2	0	-193,2	413,3	339,7	33,2	432,1
3	0	-193,2	413,3	339,7	33,2	432,1
4	0	-193,2	413,3	339,7	33,2	432,1

12. Erillisten sauvojen hoikkuskriteerin  $\lambda_{lim}$  laskenta (EC2 kohta 5.8.3.1) Sivu5(7)

$$B = \boxed{1,41} \quad B = (1+2*\omega)^{0.5}$$

12.1. Hoikkuskriteeri Y-Y akselin ympäri

$$A_{yy} = 1/(1+0.2*\varphi_{ef,yy})$$

$$C_{yy} = 1.7 - r_{m,yy}$$

$$\lambda_{lim,yy} = 20*A_{yy}*B*C_{yy}/(n^{0.5})$$

$$r_{m,yy} = \begin{cases} 1 & \text{jos rakenne on sivusiirtävä (mastopilari)} \\ 1 & \text{jos } M_{02,yy}+e_{i,zz}*N_{Ed} = 0 \\ (M_{01,yy}+e_{i,zz}*N_{Ed})/(M_{02,yy}+e_{i,zz}*N_{Ed}) & \text{muussa tapauksessa} \end{cases}$$

$$n = N_{Ed}/(A_c*f_{cd})$$

Ehto hoikkuudelle:

	$N_{Ed}$ [kN]	n	$A_{yy}$	$r_{m,yy}$	$C_{yy}$	$\lambda_{lim,yy}$	$\lambda_{yy}$	$\lambda_{yy} > \lambda_{lim,yy}$
1	785,0	0,15	0,78	1,00	0,70	39,8	110,1	Hoikka
2	0,0	0,00	1,00	1,00	0,70	9999,0	110,1	Ei-hoikka
3	0,0	0,00	1,00	1,00	0,70	9999,0	110,1	Ei-hoikka
4	0,0	0,00	1,00	1,00	0,70	9999,0	110,1	Ei-hoikka

12.2. Hoikkuskriteeri Z-Z akselin ympäri

$$A_{zz} = 1/(1+0.2*\varphi_{ef,zz})$$

$$C_{zz} = 1.7 - r_{m,zz}$$

$$\lambda_{lim,zz} = 20*A_{zz}*B*C_{zz}/(n^{0.5})$$

$$r_{m,zz} = \begin{cases} 1 & \text{jos rakenne on sivusiirtävä (mastopilari)} \\ 1 & \text{jos } M_{02,zz}+e_{i,yy}*N_{Ed} = 0 \\ (M_{01,zz}+e_{i,yy}*N_{Ed})/(M_{02,zz}+e_{i,yy}*N_{Ed}) & \text{muussa tapauksessa} \end{cases}$$

$$n = N_{Ed}/(A_c*f_{cd})$$

Ehto hoikkuudelle:

	$N_{Ed}$ [kN]	n	$A_{zz}$	$r_{m,zz}$	$C_{zz}$	$\lambda_{lim,zz}$	$\lambda_{zz}$	$\lambda_{zz} > \lambda_{lim,zz}$
1	785,0	0,15	1,00	1,00	0,70	50,8	-	Ei-hoikka
2	0,0	-	1,00	1,00	0,70	9 999,0	-	Ei-hoikka
3	0,0	-	1,00	1,00	0,70	9 999,0	-	Ei-hoikka
4	0,0	-	1,00	1,00	0,70	9 999,0	-	Ei-hoikka

13. Toisen kertaluvun momentin laskenta nimellisellä kaarevuudella (EC2 kohta 5.8.8.3)

$$n_u = \boxed{1,49}$$

$$n_{bal,yy} = \boxed{0,429}$$

$$n_{bal,zz} = \boxed{0,478}$$

$$n_u = 1+\omega$$

$$n_{bal,yy} = N_{Rd,bal,yy}/(A_c*f_{cd})$$

$$n_{bal,zz} = N_{Rd,bal,zz}/(A_c*f_{cd})$$

13.1. Toisen kertaluvun taivutusmomentti Y-Y akselin ympäri

$$\beta_{yy} = \boxed{-0,184}$$

$$i_{s,yy} = \boxed{189,6} \text{ mm}$$

$$d_{yy} = \boxed{429,6} \text{ mm}$$

$$(1/r_0)_{yy} = \boxed{0,000011} \text{ 1/mm}$$

$$\beta_{yy} = 0.35 + f_{ck}/200 - \lambda_{yy}/150$$

$$d_{yy} = H/2 + i_{s,yy}$$

$$(1/r_0)_{yy} = \epsilon_{yd}/(0.45*d_{yy})$$

Normaalivoiman korjauserroin:  
Viruman korjauserroin  
Kaarevuus:

$$K_{r,yy} = (n_u - n)/(n_u - n_{bal,yy}) \leq 1$$

$$K_{\varphi,yy} = 1 + \beta_{yy} * \varphi_{ef,yy} \geq 1$$

$$(1/r)_{yy} = K_{r,yy} * K_{\varphi,yy} * (1/r_0)_{yy}$$

Taipuma:  
Toisen kertaluvun momentti:



$$e_{2,zz} = (1/r)_{yy} * L_{0yy} / c_{yy}$$

$$M_{2,yy} = \begin{cases} e_{2,zz} * N_{Ed} & , \text{ jos } \lambda_{yy} > \lambda_{lim,yy} \\ 0 & , \text{ jos } \lambda_{yy} \leq \lambda_{lim,yy} \\ 0 & , \text{ jos } M_{2,yy} < 0.1*(M_{0e,yy} + M_{i,yy}) \end{cases}$$

	$N_{Ed}$ [kN]	n	$K_{r,yy}$	$\varphi_{ef,yy}$	$K_{\varphi,yy}$	$(1/r)_{yy}$ [1/mm]	$c_{yy}$	$e_{2,zz}$ [mm]	$M_{2,yy}$ [kNm]
1	785	0,15	1,000	1,4	1,000	0,000011	8,00	327,3	257,0
2	0	0,00	1,000	0,0	1,000	0,000011	0,00	0,0	0,0
3	0	0,00	1,000	0,0	1,000	0,000011	0,00	0,0	0,0
4	0	0,00	1,000	0,0	1,000	0,000011	0,00	0,0	0,0

13.2. Toisen kertaluvun taivutusmomentti Z-Z akselin ympäri								Sivu6(7)	
$\beta_{zz} =$	0,550		$\beta_{zz} = 0.35 + f_{ck}/200 - \lambda_{zz}/150$						
$i_{s,zz} =$	129,6	mm							
$d_{zz} =$	369,6	mm			$d_{zz} = B/2 + i_{s,zz}$				
$(1/r_0)_{zz} =$	0,000013	1/mm			$(1/r_0)_{zz} = \epsilon_{yd}/(0.45 \cdot d_{zz})$				
Normaalivoiman korjauskerroin:			$K_{r,zz} = (n_u - n)/(n_u - n_{bal,zz}) \leq 1$						
Viruman korjauskerroin:			$K_{\phi,zz} = 1 + \beta_{zz} \cdot \phi_{ef,zz} \geq 1$						
Kaarevuus:			$(1/r)_{zz} = K_{r,zz} \cdot K_{\phi,zz} \cdot (1/r_0)_{zz}$						
Taipuma:			$e_{2,yy} = (1/r)_{zz} \cdot L_{0zz} / c_{zz}$						
Toisen kertaluvun momentti:			$M_{2,zz} = \begin{cases} e_{2,yy} \cdot N_{Ed} & , \text{ jos } \lambda_{zz} > \lambda_{lim,zz} \\ 0 & , \text{ jos } \lambda_{zz} \leq \lambda_{lim,zz} \\ 0 & , \text{ jos } M_{2,zz} < 0.1 \cdot (M_{0e,zz} + M_{i,zz}) \end{cases}$						
	$N_{Ed}$ [kN]	$n$	$K_{r,zz}$	$\phi_{ef,zz}$	$K_{\phi,zz}$	$(1/r)_{zz}$ [1/mm]	$c_{zz}$	$e_{2,yy}$ [mm]	$M_{2,yy}$ [kNm]
1	785,0	0,15	1,000	0,00	1,000	0,000013	0,00	0,0	0,0
2	0,0	-	1,000	0,00	1,000	0,000013	0,00	0,0	0,0
3	0,0	-	1,000	0,00	1,000	0,000013	0,00	0,0	0,0
4	0,0	-	1,000	0,00	1,000	0,000013	0,00	0,0	0,0
14. Taivutusmomentin mitoitusarvot (EC2 kohta 5.8.8.2 sekä 6.1(4) )									
14.1. Mitoittava taivutusmomentti Y-Y akselin ympäri									
	$e_{0,zz} =$	20,00	mm	$e_{0,zz} = \text{MAX}(20\text{mm} ; H/30)$					
	Sivusiirtymättömälle rakenteelle:				Sivusiirtyvälle rakenteelle:				
	$M_{Ed,yy} = \text{MAX} \begin{cases} e_{0,zz} \cdot N_{Ed} \\ M_{02,yy} + M_{i,yy} \\ M_{0e,yy} + M_{2,yy} + M_{i,yy} \end{cases}$				$M_{Ed,yy} = \text{MAX} \begin{cases} e_{0,zz} \cdot N_{Ed} \\ M_{02,yy} + M_{2,yy} + M_{i,yy} \end{cases}$				
	$N_{Ed}$ [kN]	$M_{02,yy}$ [kNm]	$M_{0e,yy}$ [kNm]	$M_{2,yy}$ [kNm]	$M_{i,yy}$ [kNm]	$e_{0,zz} \cdot N_{Ed}$ [kNm]	$M_{Ed,yy}$ [kNm]	$M_{Rd,yy}$ [kNm]	Ehto:
1	785,0	280,0	190,0	257,0	22,6	15,7	559,6	639,0	$M_{Rd,yy} \geq M_{Ed,yy}$ OK
2	0,0	0,0	0,0	0,0	0,0	0,0	0,0	497,4	OK
3	0,0	0,0	0,0	0,0	0,0	0,0	0,0	497,4	OK
4	0,0	0,0	0,0	0,0	0,0	0,0	0,0	497,4	OK
14.2. Mitoittava taivutusmomentti Z-Z akselin ympäri									
	$e_{0,yy} =$	20,00	mm	$e_{0,yy} = \text{MAX}(20\text{mm} ; B/30)$					
	Sivusiirtymättömälle rakenteelle:				Sivusiirtyvälle rakenteelle:				
	$M_{Ed,zz} = \text{MAX} \begin{cases} e_{0,yy} \cdot N_{Ed} \\ M_{02,zz} + M_{i,zz} \\ M_{0e,zz} + M_{2,zz} + M_{i,zz} \end{cases}$				$M_{Ed,zz} = \text{MAX} \begin{cases} e_{0,yy} \cdot N_{Ed} \\ M_{02,zz} + M_{2,zz} + M_{i,zz} \end{cases}$				
	$N_{Ed}$ [kN]	$M_{02,zz}$ [kNm]	$M_{0e,zz}$ [kNm]	$M_{2,zz}$ [kNm]	$M_{i,zz}$ [kNm]	$e_{0,yy} \cdot N_{Ed}$ [kNm]	$M_{Ed,zz}$ [kNm]	$M_{Rd,zz}$ [kNm]	Ehto:
1	785,0	0,0	0,0	0,0	0,0	15,7	15,7	498,1	$M_{Rd,zz} \geq M_{Ed,zz}$ OK
2	0,0	0,0	0,0	0,0	0,0	0,0	0,0	432,1	OK
3	0,0	0,0	0,0	0,0	0,0	0,0	0,0	432,1	OK
4	0,0	0,0	0,0	0,0	0,0	0,0	0,0	432,1	OK

15. Vinon taivutuksen tarkistus (EC2 kohta 5.8.9(4))					Sivu7(7)	
$N_{Rd,comp.} =$		<div>7783,5</div>	$kN$		$N_{Rd,comp.} = A_c \cdot f_{cd} + A_s \cdot f_{yd}$	
$N_{Rd,tens.} =$		<div>2561,1</div>	$kN$		$N_{Rd,tens.} = A_s \cdot f_{yd}$	
Eksponentti a suorakaidepoikkileikkaukselle (väliarvot interpoloidaan lineaarisesti)						
$N_{Ed} / N_{Rd} =$		<div><math>\leq 0.1</math></div>	<div>0,7</div>	<div><math>\geq 1</math></div>		
a =		<div>1,0</div>	<div>1,5</div>	<div>2,0</div>		
Kaava (5.39) = $(M_{Edyy}/M_{Rdyy})^a + (M_{Edzz}/M_{Rdzz})^a \leq 1.0$						
Tapaus	<div><math>N_{Ed}</math> [kN]</div>	<div><math>N_{Ed}/N_{Rd}</math></div>	<div>a</div>	<div><math>(M_{Ed}/M_{Rd})_{yy}</math></div>	<div><math>(M_{Ed}/M_{Rd})_{zz}</math></div>	<div>Kaava 5.39 tulos</div>
1	785,0	0,101	1,001	0,876	0,032	<b>0,907</b>
2	0,0	0,000	1,000	0,000	0,000	<b>0,000</b>
3	0,0	0,000	1,000	0,000	0,000	<b>0,000</b>
4	0,0	0,000	1,000	0,000	0,000	<b>0,000</b>
						Ehto: (5.39) $\leq 1$
						OK
						OK
						OK
						OK

		<b>Rakennelaskelma, tulos</b>	
VALITSE YHTIÖ -----		Tekijä: PMA	Sivu: 1 (3)
		Päiväys: 16.4.2012	
<b>Rakennuskohde:</b> Insinööritoimisto	Työ no:	<b>Sisältö:</b> 1-suuntaan taivutettu teräsbetonipilari	Sijainti:
<b>B3 Kahteen suuntaan taivutettu teräsbetonipilari</b>			Versio 1.51
 Toteutettu SKOL Eurocode-laskentapohjahankkeessa 2008-2011			
<b>Poikkileikkauksen mitat:</b>		<b>Pilarin pituus ja nurjahduskertoimet:</b>	
Korkeus, H = 480 mm Leveys, B = 480 mm A <sub>c</sub> = 230400 mm <sup>2</sup>		Pilarin pituus, L = 7000 mm μ <sub>yy</sub> = 2,18 L <sub>0,yy</sub> = 15260 mm i <sub>yy</sub> = 138,6 mm λ <sub>yy</sub> = 110,13	μ <sub>zz</sub> = L <sub>0,zz</sub> = mm i <sub>zz</sub> = 138,6 mm λ <sub>zz</sub> =
<b>Betonipeitteen nimellisarvo ja max. raekoko:</b>			
Betonipeite, c = 30 mm Δc <sub>dev</sub> = 10 mm Max rakoko, d <sub>g</sub> = 32 mm c <sub>nom</sub> = 27 mm a <sub>min</sub> = 35 mm		<b>Olosuhdetekijät:</b>	
		t <sub>0</sub> = 28 t = 3650 φ(t, t <sub>0</sub> ) = 1,750	Rasitusluokka = XC3 Suun. käyttöikä = 50 vuotta RH = 50 %
		<b>Rauditus:</b>	
		Ø <sub>main</sub> = 25 mm teräsriv. h sivulla = 2 = nh teräsriv. b sivulla = 6 = nb Σbars = 12 kpl ω = 0,490 Ø <sub>Haat</sub> = 8 mm Ø <sub>haka,min</sub> = 6,25 mm s = 350 mm s <sub>cl,max</sub> = 375 mm A <sub>s</sub> = 5890 mm <sup>2</sup> A <sub>s,min</sub> = 460,8 mm <sup>2</sup> A <sub>s,max</sub> = 13824 mm <sup>2</sup> i <sub>s,yy</sub> = 189,6 mm i <sub>s,zz</sub> = 129,6 mm d <sub>yy</sub> = 429,6 mm d <sub>zz</sub> = 369,6 mm UMPIHAAT RIITTÄVÄT	
<b>Materiaalit:</b>			
Rakenneluokka = 2			
<b>BETONITERÄS</b>			
Osavarmuusluku, γ <sub>s</sub> = 1,15			
f <sub>yk</sub> [Mpa]	f <sub>yd</sub> [Mpa]	E <sub>s</sub> [Mpa]	ε <sub>yd</sub> [‰]
500	500	434,78	200000
<b>BETONI</b>			
α <sub>cc</sub> = 0,85			
Osavarmuusluku, γ <sub>c</sub> = 1,5			
f <sub>ck</sub> [Mpa]	f <sub>cd</sub> [Mpa]	f <sub>cm</sub> [Mpa]	E <sub>cm</sub> [Gpa]
C40/50	40	22,67	48
ε <sub>cu3</sub> [‰]			
λ			
η			
1			
Voimasuureet sisältävät 2-kertaluvun vaikutukset : Ei		Rakenne on:	
Huomioi mittaepätarkkuudet: Z-Z suunnassa		Sivusiirtävä(mastopilari) Z-Z suunnassa	
		Sivusiirtymätön Y-Y suunnassa	
<b>MRT - Murtorajatilan voimasuureet [kN] ja [kNm]</b>			
Puristus = (+) Veto = (-) N <sub>Ed</sub> [kN]	Yläpää (top) M <sub>0yy,top</sub> [kNm] M <sub>0zz,top</sub> [kNm]	Alapää (btm) M <sub>0yy,btm</sub> [kNm] M <sub>0zz,btm</sub> [kNm]	KRT Pitkäaikaisen ja MRT Momentin suhde (M <sub>0Eqp</sub> /M <sub>0Ed</sub> ) <sub>yy</sub> (M <sub>0Eqp</sub> /M <sub>0Ed</sub> ) <sub>zz</sub>
Tapaus 1 Tapaus 2 Tapaus 3 Tapaus 4	785 55 55 55	280 280 280 280	0,790 0,790 0,790 0,790
Kokonaiskaarevuuden jakaumasta riippuva kerroin			
C <sub>yy</sub> C <sub>zz</sub>			
8,0 8,0			

		<b>Rakennelaskelma, tulos</b>							
		Tekijä: PMA	Sivu: 2 (3)						
		Päiväys: 16.4.2012							
<b>Rakennuskohde:</b> Insinöörityö	<b>Työ no:</b>	<b>Sisältö:</b> 1-suuntaan taivutettu teräsbetonipilari	<b>Sijainti:</b>						
<b>B3 Kahteen suuntaan taivutettu teräsbetonipilari</b>									
			Versio 1.51						
<b>Mitoitus Y-Y akselin ympäri</b>									
Ekvivalentin vakiomomentin ja mittaepätarkkuuksien laskenta									
	$N_{Ed}$ [kN]	$M_{01,yy}$ [kNm]	$M_{02,yy}$ [kNm]	$M_{0e,yy}$ [kNm]	$M_{i,yy}$ [kNm]	Huomioi epätarkkuus(ei): Z-Z suunnassa $e_{i,zz} = $ <span style="border: 1px solid black; padding: 2px 10px;">28,84</span> mm			
Tapaus 1	785	55	280	190	22,64				
Tapaus 2									
Tapaus 3									
Tapaus 4									
Taivutusmomentin mitoitusarvon laskenta									
	$\lambda_{yy}$	$\lambda_{yy} > \lambda_{lim,yy}$	$M_{02,yy}$ [kNm]	$M_{0E,yy}$ [kNm]	$M_{2,yy}$ [kNm]	$M_{i,yy}$ [kNm]	$e_{0,zz} * N_{Ed}$ [kNm]	$M_{Ed,yy}$ [kNm]	$M_{Rd,yy}$ [kNm]
Tapaus 1	39,8	Hoikka	280	190	256,9514	22,6	15,7	559,6	639,0
Tapaus 2	9999,0	Ei-hoikka							497,4
Tapaus 3	9999,0	Ei-hoikka							497,4
Tapaus 4	9999,0	Ei-hoikka							497,4
<b>Mitoitus Z-Z akselin ympäri</b>									
Ekvivalentin vakiomomentin ja mittaepätarkkuuksien laskenta									
	$N_{Ed}$ [kN]	$M_{01,zz}$ [kNm]	$M_{02,zz}$ [kNm]	$M_{0e,zz}$ [kNm]	$M_{i,zz}$ [kNm]	Huomioi epätarkkuus(ei): Z-Z suunnassa $e_{i,yy} = $ <span style="border: 1px solid black; padding: 2px 10px;"></span> mm			
Tapaus 1	785								
Tapaus 2									
Tapaus 3									
Tapaus 4									
Taivutusmomentin mitoitusarvon laskenta									
	$\lambda_{zz}$	$\lambda_{zz} > \lambda_{lim,zz}$	$M_{02,zz}$ [kNm]	$M_{0E,zz}$ [kNm]	$M_{2,zz}$ [kNm]	$M_{i,zz}$ [kNm]	$e_{0,yy} * N_{Ed}$ [kNm]	$M_{Ed,zz}$ [kNm]	$M_{Rd,zz}$ [kNm]
Tapaus 1	50,8	Ei-hoikka					15,7	15,7	498,1
Tapaus 2	9999,0	Ei-hoikka							432,1
Tapaus 3	9999,0	Ei-hoikka							432,1
Tapaus 4	9999,0	Ei-hoikka							432,1
<b>Vino taivutus (EC2 kohta 5.8.9(4))</b>									
	$N_{Ed}$ [kN]	$N_{Ed}/N_{Rd}$	a	$(M_{Ed}/M_{Rd})_{yy}$	$(M_{Ed}/M_{Rd})_{zz}$	Kaava 5.39 tulos	Ehto: (5.39) < 1		
Tapaus 1	785	0,101	1,001	0,876	0,032	0,907	OK		
Tapaus 2			1,000				OK		
Tapaus 3			1,000				OK		
Tapaus 4			1,000				OK		
<b>HUOM! TÄMÄ LASKENTAPOHJA EI TEE PALOMITOITUSTA!</b> <b>PALOMITOITUS TEHTÄVÄ ERIKSEEN EUROKODI EN-1992-1-2 MUKAAN!</b>									

NIMELLISEN JÄYKKYYDEN MENETELMÄ		
MITOITAVA TAIVUTUSMOMENTTI Y-Y AKSELIN YMPÄRI		
Jäykkyyden vaikutuskerroin, raudoituksen vaikutus		
$K_s$	1	
Jäykkyyden vaikutuskerroin, betonin vaikutus		
$K_c$	0,08	$K_c = K_1 \cdot k_2 / (1 + \varphi_{ef})$
$k_1$	1,41	$k_1 = \sqrt{f_{ck} / 20 \text{ MPa}}$
$k_2$	0,097	$k_2 = \eta \cdot (\lambda / 170)$ kuitenkin $k_2 < 0,2$
Tehollinen virumaluku		
$\varphi_{ef}$	1,38	kts. Vertailulaskelmien sivu 7
Suhteellinen normaalivoima		
$\eta$	0,150	kts. Vertailulaskelmien sivu 8
momenttijakaumakerroin		momenttijakaumakerroin
$\beta$	1,234	$\beta = \pi^2 / c_0$
betonin kimmokertoimen mitoitussarvo		$c_0$
$E_{cd}$	29166,7 N/mm <sup>2</sup>	8
betonipoikkileikkauksen jäyhyysmomentti		betonin kimmokertoimen osavarmuusluku
$I_c$	4423680000 mm <sup>4</sup>	$E_{cd} = E_{cm} / \gamma_{cE}$
raudoituksen jäyhyysmomentti		$\gamma_{cE}$
$I_s$	211758930 mm <sup>4</sup>	1,2
nimellisiäjäykkyys		
$EI$	49817,4 kNm <sup>2</sup>	
nurjahduskuorma		
$N_b$	2111,4 kN	$N_b = \pi^2 \cdot (EI)_{ef} / L_0^2$
momentin suurennoskerroin		
	1,73	$1 + \beta / [(N_b / N_{Ed}) - 1]$
1.kertaluvun momentti murtorajatilassa		
$M_{0Ed}$	302,6 kNm	$M_{0Ed} = M_{0yy, btm} + N_{Ed} \cdot e_i$
Kokonaismitoitusmomentti		
$M_{Ed}$	523,6 kNm	$M_{Ed} = M_{0Ed} \cdot \{1 + \beta / [(N_b / N_{Ed}) - 1]\}$



## 2-SUUNTAAN TAIVUTETTU TERÄSBETONIPILARI

LASKELMAT ROBOT STRUCTURAL ANALYSIS 2012 - OHJELMALLA

### Sisällysluettelo:

s. 1-3	Nimellisen kaarevuuden menetelmä	L=5,0 m
s. 4-6	Nimellisen jäykkyyden menetelmä	L=5,0 m

## 2-SUUNTAAN TAIVUTETTU TERÄSBETONIPILARI NIMELLISEN KAAREVUUDEN MENETELMÄ L=5,0m

### 1 Level:

- Name : Level +7,00
- Reference level : 0,00 (m)
- Concrete creep coefficient :  $\phi_p = 1,58$
- cement class : N
- Environment class : XC1
- Structure class : S1

### 2 Column: Column1

Number: 1

#### 2.1 Material properties:

- Concrete : C40/50  $f_{ck} = 40,00$  (MPa)
- Unit weight : 2501,36 (kG/m<sup>3</sup>)
- Aggregate size : 32,0 (mm)
- Longitudinal reinforcement: : A500HW  $f_{yk} = 500,00$  (MPa)
- Ductility class : -
- Transversal reinforcement: : A500HW  $f_{yk} = 500,00$  (MPa)

#### 2.2 Geometry:

- 2.2.1 Rectangular 480,0 x 480,0 (mm)
- 2.2.2 Height: L = 5,00 (m)
- 2.2.3 Slab thickness = 0,00 (m)
- 2.2.4 Beam height = 0,00 (m)
- 2.2.5 Cover = 35,0 (mm)

#### 2.3 Calculation options:

- Calculations according to : SFS-EN 1992-1-1
- Seismic dispositions : No requirements
- Precast column : yes
- Pre-design : no
- Slenderness taken into account : yes
- Compression : with bending
- Ties : to slab
- More than 50 % loads applied: after 90 day
- Fire resistance class : No requirements

#### 2.4 Loads:

Case	Nature	Group	$\gamma_f$	N (kN)	My(s) (kN*m)	My(i) (kN*m)	Mz(s) (kN*m)	Mz(i) (kN*m)
MRT	design(Structural)	1	1,00	1590,00	-0,00	-201,25	-0,00	120,75

$\gamma_f$  - load factor

## 2.5 Calculation results:

Safety factors  $R_d/E_d = 1,04 > 1.0$  (Mitoitettu suoraan vinosta taivutuksesta aiheutuvalle jännitystilalle)

Safety factors  $R_d/E_d = 0,91 < 1.0$  (Mitoitettu yksinkertaistettua mitoitusetta käyttäen)

### 2.5.1 ULS Analysis

Design combination: MRT (B)

Internal forces:

$$N_{sd} = 1590,00 \text{ (kN)} \quad M_{sdy} = -201,25 \text{ (kN*m)} \quad M_{sdz} = 120,75 \text{ (kN*m)}$$

Design forces:

Lower node

$$N = 1590,00 \text{ (kN)} \quad N^*_{etotz} = -532,85 \text{ (kN*m)} \quad N^*_{etoty} = 371,25 \text{ (kN*m)}$$

Eccentricity:	$e_z$ (My/N)	$e_y$ (Mz/N)
Static	$e_{Ed}$ : -126,6 (mm)	75,9 (mm)
Imperfection	$e_i$ : 24,4 (mm)	0,0 (mm)
II order	$e_2$ : 184,2 (mm)	157,5 (mm)
Minimal	$e_{min}$ : 20,0 (mm)	20,0 (mm)
Total	$e_{tot}$ : -335,1 (mm)	233,5 (mm)

#### 2.5.1.1. Detailed analysis-Direction Y:

##### 2.5.1.1.1 Slenderness analysis

Sway structure

L (m)	$L_0$ (m)	$\lambda$	$\lambda_{lim}$	
5,00	10,90	78,66	30,31	Slender column

##### 2.5.1.1.2 Buckling analysis

$$M_2 = -0,00 \text{ (kN*m)} \quad M_1 = -201,25 \text{ (kN*m)}$$

Case: Cross-section at the column end (Lower node), Slenderness taken into account

$$M_0 = -201,25 \text{ (kN*m)}$$

$$e_a = \theta_1 \cdot l_0 / 2 = 24,4 \text{ (mm)}$$

$$\theta_1 = \theta_0 \cdot \alpha_h \cdot \alpha_m = 0,00$$

$$\theta_0 = 0,01$$

$$\alpha_h = 0,89$$

$$\alpha_m = (0,5(1+1/m))^{0.5} = 1,00$$

$$m = 1,00$$

**Method based on nominal curvature**

$$M_2 = N \cdot e_2 = 292,85 \text{ (kN*m)}$$

$$e_2 = l_0^2 / c \cdot (1/r) = 184,2 \text{ (mm)}$$

$$c = 8,00$$

$$(1/r) = K_r \cdot K_\phi \cdot (1/r_0) = 0,01$$

$$K_r = 1,00$$

$$K_\phi = 1 + \beta \cdot \varphi_{ef} = 1,04$$

$$\beta = 0.35 + f_{ck} / 200 - \lambda / 150 = 0,03$$

$$\varphi_{ef} = 1,58$$

$$1/r_0 = (f_{yd}/E_s) / (0.45 \cdot d) = 0,01$$

$$d = 405,3 \text{ (mm)}$$

$$E_s = 200000,00 \text{ (MPa)}$$

$$f_{yd} = 434,78 \text{ (MPa)}$$

$$M_{Edmin} = 31,80 \text{ (kN*m)}$$

$$M_{Ed} = \max(M_{Edmin}, M_{0Ed} + M_2) = -532,85 \text{ (kN*m)}$$

(5.35)

## 2.5.1.2. Detailed analysis-Direction Z:

### 2.5.1.2.1 Slenderness analysis

Sway structure

L (m)	L <sub>0</sub> (m)	$\lambda$	$\lambda_{lim}$	
5,00	10,90	78,66	30,31	Slender column

### 2.5.1.2.2 Buckling analysis

$M_2 = 120,75 \text{ (kN*m)}$        $M_1 = -0,00 \text{ (kN*m)}$   
 Case: Cross-section at the column end (Lower node), Slenderness taken into account  
 $M_0 = 120,75 \text{ (kN*m)}$   
 $e_a = 0,0 \text{ (mm)}$   
**Method based on nominal curvature**  
 $M_2 = N * e_2 = 250,50 \text{ (kN*m)}$   
 $e_2 = l_0^2 / c * (1/r) = 157,5 \text{ (mm)}$   
 $c = 10,00$   
 $(1/r) = K_r * K_\phi * (1/r_0) = 0,01$   
 $K_r = 1,00$   
 $K_\phi = 1 + \beta * \varphi_{ef} = 1,04$   
 $\beta = 0.35 + f_{ck} / 200 - \lambda / 150 = 0,03$   
 $\varphi_{ef} = 1,58$   
 $1/r_0 = (f_{yd} / E_s) / (0.45 * d) = 0,01$   
 $d = 379,0 \text{ (mm)}$   
 $E_s = 200000,00 \text{ (MPa)}$   
 $f_{yd} = 434,78 \text{ (MPa)}$   
 $M_{Edmin} = 31,80 \text{ (kN*m)}$   
 $M_{Ed} = \max(M_{Edmin}, M_0) + M_2 = 371,25 \text{ (kN*m)}$

(5.35)

## 2.5.2 Reinforcement:

Real (provided) area       $A_{sr} = 8835,73 \text{ (mm}^2\text{)}$   
 Ratio:       $\rho = 3,83 \%$

## 2.6 Reinforcement:

### Main bars (A500HW):

- 18  $\phi 25$        $l = 4,97 \text{ (m)}$

### Transversal reinforcement: (A500HW):

stirrups:      15  $\phi 8$        $l = 1,71 \text{ (m)}$

pins      15  $\phi 8$        $l = 1,71 \text{ (m)}$

## 2-SUUNTAAN TAIVUTETTU TERÄSBETONIPILARI NIMELLISEN JÄYKKYYDEN MENETELMÄ L=5,0m

### 1 Level:

- Name : Level +7,00
- Reference level : 0,00 (m)
- Concrete creep coefficient :  $\phi_p = 1,58$
- cement class : N
- Environment class : XC1
- Structure class : S1

### 2 Column: Column1

Number: 1

#### 2.1 Material properties:

- Concrete : C40/50  $f_{ck} = 40,00$  (MPa)
- Unit weight : 2501,36 (kG/m<sup>3</sup>)
- Aggregate size : 32,0 (mm)
- Longitudinal reinforcement: : A500HW  $f_{yk} = 500,00$  (MPa)
- Ductility class : -
- Transversal reinforcement: : A500HW  $f_{yk} = 500,00$  (MPa)

#### 2.2 Geometry:

- 2.2.1 Rectangular 480,0 x 480,0 (mm)
- 2.2.2 Height: L = 5,00 (m)
- 2.2.3 Slab thickness = 0,00 (m)
- 2.2.4 Beam height = 0,00 (m)
- 2.2.5 Cover = 35,0 (mm)

#### 2.3 Calculation options:

- Calculations according to : SFS-EN 1992-1-1
- Seismic dispositions : No requirements
- Precast column : yes
- Pre-design : no
- Slenderness taken into account : yes
- Compression : with bending
- Ties : to slab
- More than 50 % loads applied: after 90 day
- Fire resistance class : No requirements

#### 2.4 Loads:

Case	Nature	Group	$\gamma_f$	N (kN)	My(s) (kN*m)	My(i) (kN*m)	Mz(s) (kN*m)	Mz(i) (kN*m)
MRT	design(Structural)	1	1,00	1590,00	-0,00	-201,25	-0,00	120,75

$\gamma_f$  - load factor

## 2.5 Calculation results:

Safety factors  $R_d/E_d = 1,08 > 1.0$  (Mitoitettu suoraan vinosta taivutuksesta aiheutuvalle jännitystilalle)

Safety factors  $R_d/E_d = 1,0 \geq 1.0$  (Mitoitettu yksinkertaistettua mitoitusetta käyttäen)

### 2.5.1 ULS Analysis

Design combination: MRT (B)

Internal forces:

$N_{sd} = 1590,00$  (kN)  $M_{sdy} = -201,25$  (kN\*m)  $M_{sdz} = 120,75$  (kN\*m)

Design forces:

Lower node

$N = 1590,00$  (kN)  $N^*_{etotz} = -423,26$  (kN\*m)  $N^*_{etoty} = 296,52$  (kN\*m)

Eccentricity:	$e_z$ (My/N)	$e_y$ (Mz/N)
Static	$e_{Ed}$ : -126,6 (mm)	75,9 (mm)
Imperfection	$e_i$ : 24,4 (mm)	0,0 (mm)
Initial	$e_0$ : -102,2 (mm)	75,9 (mm)
Minimal	$e_{min}$ : 20,0 (mm)	20,0 (mm)
Total	$e_{tot}$ : -266,2 (mm)	186,5 (mm)

#### 2.5.1.1. Detailed analysis-Direction Y:

##### 2.5.1.1.1 Slenderness analysis

Sway structure

L (m)	$L_0$ (m)	$\lambda$	$\lambda_{lim}$	
5,00	10,90	78,66	28,23	Slender column

##### 2.5.1.1.2 Buckling analysis

$M_2 = -0,00$  (kN\*m)  $M_1 = -201,25$  (kN\*m)

Case: Cross-section at the column end (Lower node), Slenderness taken into account

$M_0 = -201,25$  (kN\*m)

$e_a = 0,1 \cdot l_0 / 2 = 24,4$  (mm)

$\theta_1 = \theta_0 \cdot \alpha_h \cdot \alpha_m = 0,00$

$\theta_0 = 0,01$

$\alpha_h = 0,89$

$\alpha_m = (0,5(1+1/m))^{0.5} = 1,00$

$m = 1,00$

Method based on nominal stiffness

$$\left[ 1 + \frac{\beta}{(N_B / N) - 1} \right] = 1,76$$

$\beta = 1,23$

$N_b = (\pi^2 \cdot E \cdot J) / l_0^2 = 4159,04$  (kN)

$EJ = K_c \cdot E_{cd} \cdot J_c + K_s \cdot E_s \cdot J_s = 50066,40$  (kN\*m<sup>2</sup>)

$\varphi_{ef} = 1,58$

$J_c = 4423680000,0$  (mm<sup>4</sup>)

$J_s = 200513623,7$  (mm<sup>4</sup>)

$K_c = 0,08$  ()

$K_s = 1,00$  ()

$M_{Edmin} = 31,80$  (kN\*m)

$$M_{Ed} = \max \left\{ M_{Edmin}; \left[ 1 + \frac{\beta}{(N_B / N) - 1} \right] M_{0Ed} \right\} = -423,26 \text{ (kN*m)}$$

## 2.5.1.2. Detailed analysis-Direction Z:

### 2.5.1.2.1 Slenderness analysis

Sway structure

L (m)	Lo (m)	$\lambda$	$\lambda_{lim}$	
5,00	10,90	78,66	28,23	Slender column

### 2.5.1.2.2 Buckling analysis

M2 = 120,75 (kN\*m)      M1 = -0,00 (kN\*m)  
Case: Cross-section at the column end (Lower node), Slenderness taken into account  
M0 = 120,75 (kN\*m)  
ea = 0,0 (mm)

**Method based on nominal stiffness**

$$\left[ 1 + \frac{\beta}{(N_B / N) - 1} \right] = 2,46$$

$$\beta = 1,23$$

$$N_b = (\pi^2 * E J) / l_0^2 = 2937,54 \text{ (kN)}$$

$$E J = K_c * E_{cd} * J_c + K_s * E_s * J_s = 35362,07 \text{ (kN*m}^2\text{)}$$

$$\varphi_{ef} = 1,58$$

$$J_c = 4423680000,0 \text{ (mm}^4\text{)}$$

$$J_s = 126991961,7 \text{ (mm}^4\text{)}$$

$$K_c = 0,08 \text{ ()}$$

$$K_s = 1,00 \text{ ()}$$

$$M_{Edmin} = 31,80 \text{ (kN*m)}$$

$$M_{Ed} = \max \left\{ M_{Edmin}; \left[ 1 + \frac{\beta}{(N_B / N) - 1} \right] M_{0Ed} \right\} = 296,52 \text{ (kN*m)}$$

## 2.5.2 Reinforcement:

Real (provided) area

$$A_{sr} = 6872,23 \text{ (mm}^2\text{)}$$

Ratio:

$$\rho = 2,98 \%$$

## 2.6 Reinforcement:

**Main bars (A500HW):**

- 14  $\phi 25$       l = 4,97 (m)

**Transversal reinforcement: (A500HW):**

stirrups:      15  $\phi 8$       l = 1,71 (m)

pins      15  $\phi 8$       l = 1,71 (m)

## 2-SUUNTAAN TAIVUTETTU TERÄSBETONIPILARI

### VERTAILULASKELMAT

NIMELLISEN KAAREVUUDEN MENETELMÄ  
NIMELLISEN JÄYKKYYDEN MENETELMÄ

#### Sisällysluettelo:

s. 1	Nurjahduspituus	
s. 2-3	Lähtötiedot	(nimellisen kaarevuuden menetelmä)
s. 4-10	Laskenta	(nimellisen kaarevuuden menetelmä)
s. 11-12	Tulokset	(nimellisen kaarevuuden menetelmä)
s.13-15	Laskenta/Tulokset	(nimellisen jäykkyyden menetelmä)



## 2-suuntaan taivutettu teräsbetonipilari nurjahduspituus

Nurjahduspituus sama kummankin akselin suhteen

$$l_0 = l \cdot \max \left\{ \sqrt{1 + 10 \cdot \frac{k_1 \cdot k_2}{k_1 + k_2}}; \left(1 + \frac{k_1}{1 + k_1}\right) \cdot \left(1 + \frac{k_2}{1 + k_2}\right) \right\}$$

$k_1$  = yläpään kiertymäjoustavuuden suhteellinen arvo

$k_2$  = alapään kiertymäjoustavuuden suhteellinen arvo

$$k_1 = 0,1$$


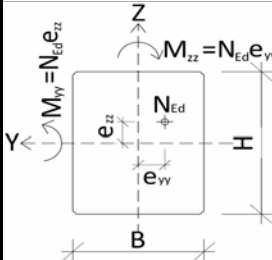
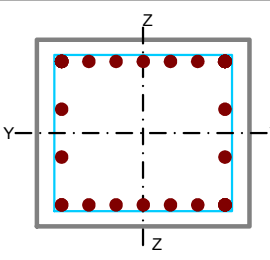
$$k_2 = \infty$$

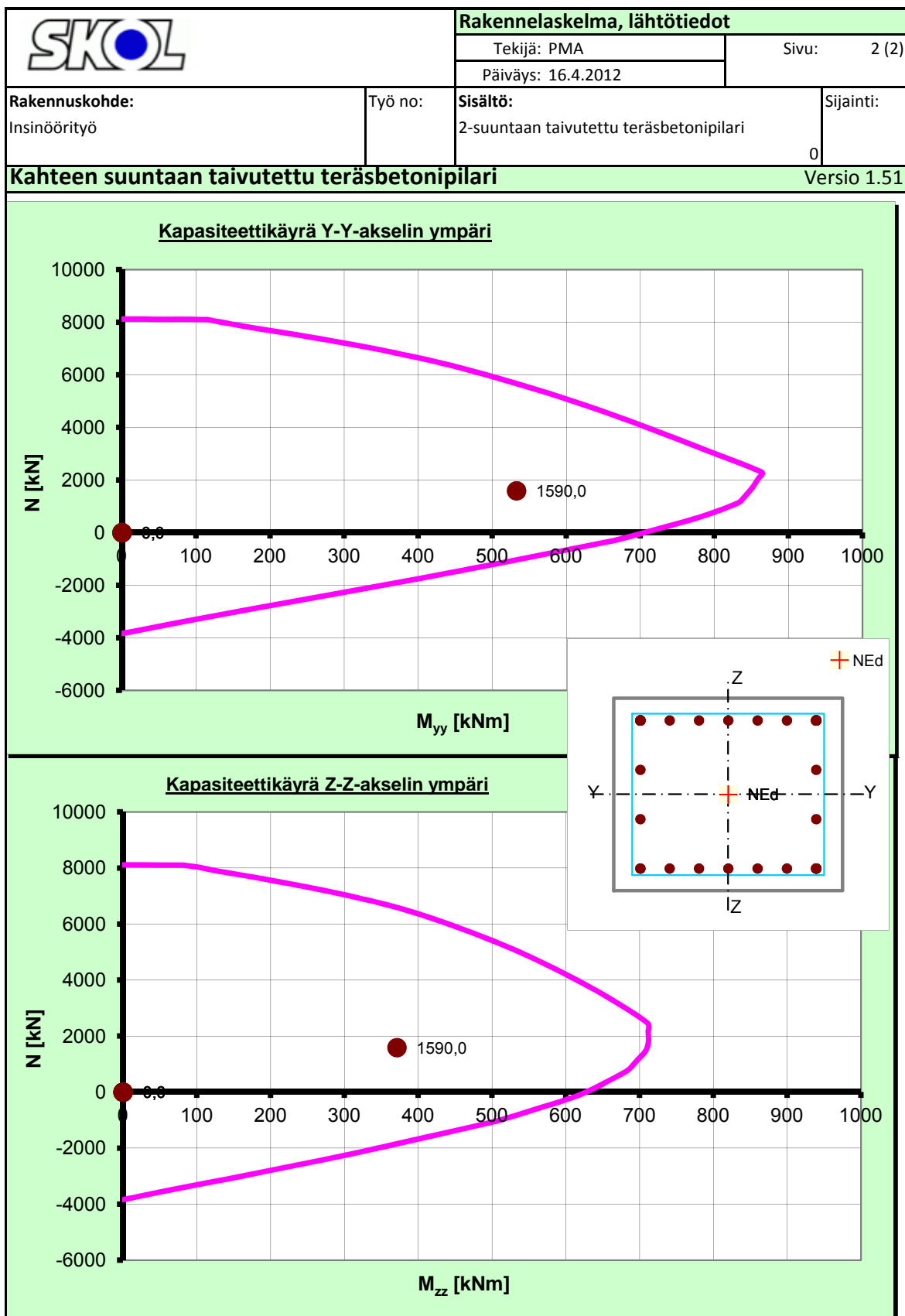
$$l = 5000 \text{ mm}$$

$$l_0 = 5000 \text{ mm} \cdot \max \left\{ \sqrt{1 + 10 \cdot \frac{0,1 \cdot \infty}{0,1 + \infty}}; \left(1 + \frac{0,1}{1 + 0,1}\right) \cdot \left(1 + \frac{\infty}{1 + \infty}\right) \right\}$$

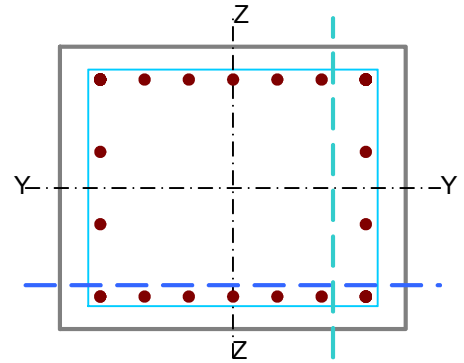
$$l_0 = 5000 \text{ mm} \cdot \max \{1,41; 2,18\}$$

$$l_0 = \mathbf{10900 \text{ mm}}$$

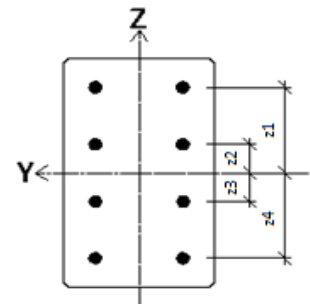
		<b>Rakennelaskelma, lähtötiedot</b>	
Finnmap Consulting Oy, Ratamestarinkatu 7a, 00521 HELSINKI		Tekijä: PMA	Sivu: 1 (2)
Päiväys: 16.4.2012			
<b>Rakennuskohde:</b> Insinööritoimisto	Työ no:	<b>Sisältö:</b> 2-suuntaan taivutettu teräsbetonipilari	Sijainti:
<b>B3 Kahteen suuntaan taivutettu teräsbetonipilari</b>			
Toteutettu SKOL Eurocode-laskentapohjahankkeessa 2008-2011			
<b>Olosuhdetekijät:</b>		<b>Poikkileikkauksen mitat:</b>	
Rasitusluokka = XC1 Suun. käyttöikä = 50 vuotta RH = 45 % $t_0 = 28$ $t = 3650$	Kuiva tai pysyvästi märkä #N/A d	Korkeus, H = 480 mm Leveys, B = 480 mm	
<b>Materiaalit:</b>		<b>Pilarin pituus ja nurjahduskertoimet:</b>	
Rakenneluokka = 2 Betoni = C40/50 Betoniteräs $f_{yk} = 500$ MPa		Pilarin pituus, L = 5000 mm $\mu_{yy} = 2,18$ $\mu_{zz} = 2,18$	Nurjahduskerroin, Y-Y Nurjahduskerroin, Z-Z
			
		<b>Betonipeitteen nimellisarvo ja max. raekoko:</b>	
		Betonipeite, c = 35 mm $\Delta c_{dev} = 10$ mm Max raekoko, $d_g = 32$ mm	
		<b>Rauditus:</b>	
		$\phi_{main} = 25$ mm teräsriv. h sivulla = 4 = $n_h$ teräsriv. b sivulla = 7 = $n_b$ $\phi_{Haat} = 8$ mm s = 350 mm	
<b>Tarkistukset, Tulokset ja Maksimikäyttöasteet:</b>			
$A_s = 8835,7$ mm <sup>2</sup> $A_{s,min} = 460,8$ mm <sup>2</sup> $A_{s,max} = 13824,0$ mm <sup>2</sup> $c_{nom} = 27$ mm $a_{min} = 35$ mm $\phi_{haka,min} = 6,25$ mm $s_{cl,max} = 375$ mm	Y-Y-akselin ympäri [kNm] $M_{Ed,yy}$ $M_{Rd,yy}$	Z-Z-akselin ympäri [kNm] $M_{Ed,zz}$ $M_{Rd,zz}$	Vinotaivutus (Eq 5.39)
	Tapaus 1 Tapaus 2 Tapaus 3 Tapaus 4	532,8 0,0 0,0 0,0	847,9 705,4 705,4 705,4
		371,2 0,0 0,0 0,0	709,6 626,5 626,5 626,5
			1,11 0,00 0,00 0,00
			VIRHE - V OK OK OK
$\phi(t, t_0) = 1,82$ $i_{yy} = 138,6$ $i_{zz} = 138,6$	$\lambda_{yy} = 78,7$ $\lambda_{zz} = 78,7$	$L_{0,yy} = 10900,0$ mm $L_{0,zz} = 10900,0$ mm	
<b>Ensimmäisen kertaluvun voimasuureet (sisältää pilarin oman painon):</b>			
Voimasuureet sisältävät 2-kertaluvun vaikutukset: Ei		Rakenne on:	
Huomioi mittaepätarkkuudet: Z-Z suunnassa		Sivusiirtävä(mastopilari) Z-Z suunnassa Sivusiirtävä(mastopilari) Y-Y suunnassa	
<b>Murtorajatilan voimasuureet pilarin päissä</b>			
Puristus = (+) Veto = (-) $N_{Ed}$ [kN]	Yläpää (top) $M_{0yy,top}$ $M_{0zz,top}$ [kNm]	Alapää (btm) $M_{0yy,btm}$ $M_{0zz,btm}$ [kNm]	KRT Pitkäaikaisen ja MRT Momentin suhde $(M_{0Eqp}/M_{0Ed})_{yy}$ $(M_{0Eqp}/M_{0Ed})_{zz}$
Tapaus 1 Tapaus 2 Tapaus 3 Tapaus 4	1590 0 0 0	-201,25 120,75 0 0	0,87 0,87 0,87 0,87
			Kokonaiskaarevuuden jakaumasta riippuva kerroin $c_{yy}$ $c_{zz}$
			8,0 10,0 8,0 10,0



B3 Kahteen suuntaan taivutettu teräsbetonipilari/ Laskenta						Versio 1.51		Sivu1(7)	
<b>Olosuhdetekijät:</b>									
		Tunnus							
Rasitusluokka =	XC1								
Suun. käyttöikä =	50 vuotta								
RH =	45 %								
t =	3650			d					
t <sub>0</sub> =	28								
<b>BETONI</b>									
Rakenneluokka =		2							
Osavarmuusluku, γ <sub>c</sub> =		1,5							
α <sub>cc</sub> =		0,85							
	f <sub>ck</sub>	f <sub>cd</sub>	f <sub>cm</sub>	E <sub>cm</sub>	ε <sub>c3</sub>	ε <sub>cu3</sub>	λ	η	
Tunnus	MPa	MPa	MPa	GPa	‰	‰			
C40/50	40,00	22,67	48,00	23	1,75	3,50	0,80	1,00	
<b>BETONITERÄS</b>									
Osavarmuusluku, γ <sub>s</sub> =		1,15							
	f <sub>yk</sub>	f <sub>yd</sub>	E <sub>s</sub>	ε <sub>yd</sub>	ε <sub>ud</sub>				
Tunnus	MPa	MPa	MPa	‰	‰				
500	500	434,8	200000	2,174	10				
$f_{cd} = \alpha_{cc} \cdot f_{ck} / \gamma_c$ $f_{yd} = f_{yk} / \gamma_s$ $\epsilon_{yd} = f_{yd} / E_s$									
<b>RAKENNEOSAN MITAT JA GEOMETRIA:</b>									
Korkeus, H =	480	mm			L =	5000	mm		
Leveys, B =	480	mm			μ <sub>yy</sub> =	2,18	Nurjahduskerroin Y-Y akselin ympäri		
A <sub>c</sub> =	230400	mm <sup>2</sup>	A <sub>c</sub> = B * H		μ <sub>zz</sub> =	2,18	Nurjahduskerroin Z-Z akselin ympäri		
					Rakenne on:	Sivusiirtyvä(mastopilari) Z-Z suunnassa			
						Sivusiirtyvä(mastopilari) Y-Y suunnassa			
Betonipeite, c =	35	mm							
Δc <sub>dev</sub> =	10	mm							
Max rakoko, d <sub>g</sub> =	32	mm							
					Huomioi epätarkkuudet(e):	Z-Z suunnassa			
					Nurjahduspituudet				
					L <sub>0,yy</sub> =	10900	mm	L <sub>0yy</sub> = L * μ <sub>yy</sub>	
					L <sub>0,zz</sub> =	10900	mm	L <sub>0zz</sub> = L * μ <sub>zz</sub>	
					Jäyhyyssäteet				
					i <sub>yy</sub> =	138,6	mm	i <sub>yy</sub> = H / (12) <sup>0,5</sup>	
					i <sub>zz</sub> =	138,6	mm	i <sub>zz</sub> = B / (12) <sup>0,5</sup>	
					Hoikkuusluvut				
					λ <sub>yy</sub> =	78,7	λ <sub>yy</sub> = L <sub>0yy</sub> / i <sub>yy</sub>		
					λ <sub>zz</sub> =	78,7	λ <sub>zz</sub> = L <sub>0zz</sub> / i <sub>zz</sub>		
					EHTO: λ <sub>yy</sub> < 140 OK				
					λ <sub>zz</sub> < 140 OK				
<b>SISÄISET VOIMASUUREET</b>									
MRT - Murtorajatilan voimasuureet [kN] ja [kNm]									
Puristus = (+)		Yläpää (top)		Alapää (btm)		KRT Pitkäaikaisen ja MRT Momentin suhde		Kokonaiskaarevuuden jakaumasta riippuva kerroin	
Veto = (-)	M <sub>0yy,top</sub>	M <sub>0zz,top</sub>	M <sub>0yy,btm</sub>	M <sub>0zz,btm</sub>	(M <sub>0Eqp</sub> / M <sub>0Ed</sub> ) <sub>yy</sub>	(M <sub>0Eqp</sub> / M <sub>0Ed</sub> ) <sub>zz</sub>	C <sub>yy</sub> C <sub>zz</sub>		
N <sub>Ed</sub> [kN]	[kNm]	[kNm]	[kNm]	[kNm]					
1	1590	0	0	-201,25	120,75	0,870	0,870	8,000	10,000
2	0	0	0	0	0	0,000	0,000	0,000	0,000
3	0	0	0	0	0	0,000	0,000	0,000	0,000
4	0	0	0	0	0	0,000	0,000	0,000	0,000

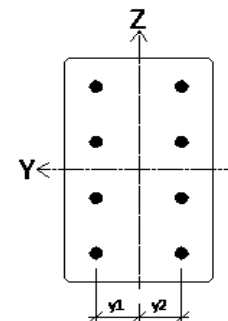


Laskenta ja mitoitus alkaa tästä:										Sivu2(7)	
<b>1. Raudoituksen jäyhyyssäteiden laskeminen Y-Y ja Z-Z akselien ympäri</b>											
H=	480	mm	$\phi_{main} =$	25	mm	$A_{stot} =$	8836	mm <sup>2</sup>			
B=	480	mm	$A_{s1} =$	491	mm <sup>2</sup>	$I_{\phi main} =$	19174,8	mm <sup>4</sup>			
						$I_{\phi main} =$	$\pi * \phi^4 / 64$				
Raudoituksen jäyhyyssäde $i_y$ Y-Y akselin ympäri											
rivi	d' [mm]	z [mm]	z <sup>2</sup> [mm <sup>2</sup> ]	n [kpl]	$I_{s,yy,n}$						
1	55,5	184,5	34040,3	7	117100504						
2	178,5	61,5	3782,3	2	3751565						
3	301,5	-61,5	3782,3	2	3751565						
4	424,5	-184,5	34040,3	7	117100504						
					$I_{s,yy} =$	2,42,E+08	mm <sup>4</sup>				
					$i_{s,yy} =$	165,39	mm				
Raudoituksen jäyhyyssäde $i_z$ Z-Z akselin ympäri											
rivi	d' [mm]	y [mm]	y <sup>2</sup> [mm <sup>2</sup> ]	kpl	$I_{s,zz,n}$						
1	55,5	184,5	34040,3	4	66914574						
2	117,0	123,0	15129,0	2	14891211						
3	178,5	61,5	3782,3	2	3751565						
4	240,0	0,0	0,0	2	38350						
5	301,5	-61,5	3782,3	2	3751565						
6	363,0	-123,0	15129,0	2	14891211						
7	424,5	-184,5	34040,3	4	66914574						
					$I_{s,zz} =$	1,71,E+08	mm <sup>4</sup>				
					$i_{s,zz} =$	139,18	mm				
2. Virumaluvun laskenta (EC2 liite B)											
$t_0 =$	28	d	RH =	45,00 %		H =	480	mm			
$t =$	3650	d	$f_{cm} =$	48,00	MPa	B =	480	mm			
$u =$	1920	mm	$u = 2 * (B + H)$			$A_c =$	230400	mm			
$h_0 =$	240,00	mm	$h_0 = 2 * u / A_c$								
$\alpha_1 =$	0,802		$\alpha_2 =$	0,939		$\alpha_3 =$	0,854				
$\alpha_1 =$	$[35/f_{cm}]^{0,7}$		$\alpha_2 =$	$[35/f_{cm}]^{0,7}$		$\alpha_3 =$	$[35/f_{cm}]^{0,7}$				
$\beta(f_{cm}) =$	2,425		$\beta(f_{cm}) =$	$16.8 / (f_{cm})^{0,3}$							
$\beta(t_0) =$	0,488		$\beta(t_0) =$	$1 / [0.1 + t_0^{0,4}]$							
$\beta_H =$	573,484		$\beta_H (f_{cm} \leq 35) =$	$\text{MIN}\{ 1.5 * [1 + (0.012RH)^{1,5}] h_0 + 250 ; 1500\}$							
$\varphi_{RH} =$	1,605		$\beta_H (f_{cm} > 35) =$	$\text{MIN}\{ 1.5 * [1 + (0.012RH)^{1,5}] h_0 + 250 * \alpha_3 ; 1500 * \alpha_3\}$							
$\varphi_0 =$	1,901		$\varphi_{RH} (f_{cm} \leq 35) =$	$1 + (1 - RH/100) / (0.1 * h_0^{1/3})$							
$\beta_c(t, t_0) =$	0,957		$\varphi_{RH} (f_{cm} > 35) =$	$[1 + (1 - RH/100) / (0.1 * h_0^{1/3}) * \alpha_1] * \alpha_2$							
$\varphi(t, t_0) =$	1,819		$\varphi_0 =$	$\varphi_{RH} * \beta(f_{cm}) * \beta(t_0)$							
			$\beta_c(t, t_0) =$	$[(t - t_0) / (\beta_H + t - t_0)]^{0,3}$							
			$\varphi(t, t_0) =$	$\varphi_0 * \beta_c(t, t_0)$							



$$I_{s,yy} = \sum I_{s,yy,n}$$

$$i_{s,yy} = (I_{s,yy} / A_{stot})^{0.5}$$



$$I_{s,zz} = \sum I_{s,zz,n}$$

$$i_{s,zz} = (I_{s,zz} / A_{stot})^{0.5}$$

**TARKISTUKSET**

Sivu3(7)

**3. Betonipeitteen minimipaksuuden nimellisarvon laskenta (EC2 kohta 4.4)**

$$c_{min,b} = 17 \text{ mm}$$

$$c_{min,b} = \text{MAX} \begin{cases} \phi_{main} - \phi_{haka} \\ \phi_{haka} \end{cases}$$

$$c_{min,dur,basic} = 10 \text{ mm}$$

$$+c_{min,100v} = 0 \text{ mm}$$

$$+c_{min,fck} = -5 \text{ mm}$$

$$+c_{min,rkl} = 0 \text{ mm}$$

$$c_{min,dur} = 5 \text{ mm}$$

$$c_{min,dur} = c_{min,dur,basic} + c_{min,100v} + c_{min,fck} + c_{min,rkl}$$

$$\Delta c_{dur,y} = 0 \text{ mm}$$

$$\Delta c_{dur,st} = 0 \text{ mm}$$

$$\Delta c_{dur,add} = 0 \text{ mm}$$

$$c_{min} = 17 \text{ mm}$$

$$\Delta c_{dev} = 10 \text{ mm}$$

$$c_{nom} = 27 \text{ mm}$$

$$c_{nom} = \Delta c_{dev} + c_{min}$$

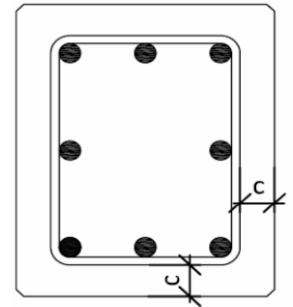
$$f_{ck,min} = 20 \text{ MPa}$$

$$\text{Ehto: } f_{ck} \geq f_{ck,min} \text{ OK}$$

$$f_{ck,väh} = 30 \text{ MPa}$$

$$c_{min} = \text{MAX} \begin{cases} c_{min,b} \\ c_{min,dur} + \Delta c_{dur,y} - \Delta c_{dur,st} - \Delta c_{dur,add} \\ 10 \text{ mm} \end{cases}$$

$$\text{EHTO: } c \geq c_{nom} \text{ OK}$$



**4. Tankojen välisen vapaan välin minimietäisyyden laskenta (EC2 kohta 8.2)**

$$k_1 = 1$$

$$k_2 = 3 \text{ mm}$$

$$\phi_{main} = 25 \text{ mm}$$

$$d_g = 32 \text{ mm}$$

$$a_{min} = 35 \text{ mm}$$

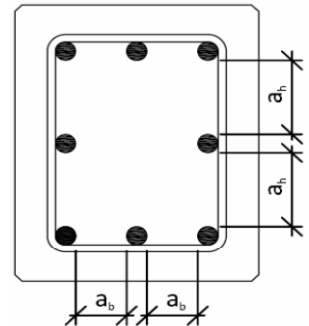
$$a_h = 98,00 \text{ mm}$$

$$a_b = 36,50 \text{ mm}$$

$$a_{min} = \text{MAX} \begin{cases} k_1 * \phi_{main} \\ d_g + k_2 \\ 20 \text{ mm} \end{cases}$$

$$\text{EHTO: } a_h \geq a_{min} \text{ OK}$$

$$a_b \geq a_{min} \text{ OK}$$



**5. Pääraudoituksen minimi/maksimivaatimukset (EC2 kohta 9.5.2)**

$$A_c = 230400 \text{ mm}^2$$

$$N_{Ed,max} = 1590 \text{ kN}$$

$$A_{s,min} = 460,8 \text{ mm}^2$$

$$A_{s,min} = \text{MAX} \begin{cases} 0.1 * N_{Ed,max} / f_{yd} \\ 0.002 * A_c \end{cases}$$

$$A_{s,max} = 13824 \text{ mm}^2$$

$$A_{s,max} = 0.06 * A_c$$

$$A_{stot} = 8836 \text{ mm}^2$$

$$\text{EHTO: } A_{stot} \geq A_{s,min} \text{ OK}$$

$$A_{stot} \leq A_{s,max} \text{ OK}$$

**6. Hakaraudoituksen minimi ja maksimivaatimukset (EC2 kohta 9.5.3)**

$$\phi_{h,min} = 6,25 \text{ mm}$$

$$\phi_{h,min} = \text{MAX} \begin{cases} 0.25 * \phi \\ 6 \text{ mm} \\ 15 * \phi_{main} \end{cases}$$

$$s_{cl,tmax} = 375 \text{ mm}$$

$$s_{cl,tmax} = \text{MIN} \begin{cases} \min(H, B) \\ 400 \text{ mm} \end{cases}$$

$$\text{EHTO: } \phi_{haat} \geq \phi_{h,min} \text{ OK}$$

$$\text{EHTO: } s \leq s_{cl,tmax} \text{ OK}$$

**7. Päätankojen sitominen, (EC2 kohta 9.5.3(6))**

9.5.3(6) Jokainen poikkileikkauksen nurkkaan sijoitettu päätanko sidotaan haoilla. Poikkileikkauksen

puristetussa osassa osassa mikään päätanko ei saa olla kauempana kuin 150mm etäisyydellä sidotusta tangosta.

$$\text{Max etäisyys H sivulla} = 123 \text{ mm} \text{ OK}$$

$$\text{Max etäisyys B sivulla} = 185 \text{ mm} \text{ LISÄHAAT TARVITAAN}$$

MITOITUSLASKELMAT						Sivu4(7)
<b>8. Ekvivalentin vakiomomentin <math>M_{0e}</math> laskeminen, (EC2 kohta 5.8.8.2)</b>						
$M_{01,yy} = \text{MIN} ( M_{0yy,top}  ;  M_{0yy,btm} )$ $M_{02,yy} = \text{MAX} ( M_{0yy,top}  ;  M_{0yy,btm} )$ $M_{0e,yy} = \text{MAX} \begin{cases} 0.6 * M_{02,yy} + 0.4 * M_{01,yy} \\ 0.4 * M_{02,yy} \end{cases}$			$M_{01,zz} = \text{MIN} ( M_{0zz,top}  ;  M_{0zz,btm} )$ $M_{02,zz} = \text{MAX} ( M_{0zz,top}  ;  M_{0zz,btm} )$ $M_{0e,zz} = \text{MAX} \begin{cases} 0.6 * M_{02,zz} + 0.4 * M_{01,zz} \\ 0.4 * M_{02,zz} \end{cases}$			
<b>Y-Y akselin ympäri</b>			<b>Z-Z akselin ympäri</b>		<b>Ehto:</b>	
$M_{01,yy}$ [kNm]	$M_{02,yy}$ [kNm]	$M_{0e,yy}$ [kNm]	$M_{01,zz}$ [kNm]	$M_{02,zz}$ [kNm]	$M_{0e,zz}$ [kNm]	$ M_{02,yy}  \geq  M_{01,yy} $ $ M_{02,zz}  \geq  M_{01,zz} $
1	0,0	201,3	120,8	0,0	120,8	72,5
2	0,0	0,0	0,0	0,0	0,0	0,0
3	0,0	0,0	0,0	0,0	0,0	0,0
4	0,0	0,0	0,0	0,0	0,0	0,0
<b>9. Mittaepätarkkuuksien aiheuttaman taivutusmomentin laskenta (EC2 kohta 5.2, menetelmä a)</b>						
$\theta_0 = \frac{1}{200}$ $\theta_i = \frac{3}{671}$ $\theta_i = \theta_0 * \alpha_m * \alpha_h$		$m = 1$ $\alpha_m = 1$ $\alpha_m = [0,5 * (1 + 1/m)]^{0,5}$		$L = 5,0$ m $\alpha_h = 0,894$ $\alpha_h = 2/(L)^{0,5}; 2/3 < \alpha_h < 1$		
	$N_{Ed}$ [kN]	$M_{i,yy}$ [kNm]	$M_{i,zz}$ [kNm]	Huomioi epätarkkuus(e): Z-Z suunnassa		
1	1590	38,8	0,0	$e_{i,zz} = 24,4$ mm	$e_{i,zz} = \theta_i * L_{0,yy} / 2$	
2	0	0,0	0,0	$e_{i,yy} = 24,4$ mm	$e_{i,yy} = \theta_i * L_{0,zz} / 2$	
3	0	0,0	0,0			
4	0	0,0	0,0			
				$M_{i,yy} = e_{i,zz} * N_{Ed}$		
				$M_{i,zz} = e_{i,yy} * N_{Ed}$		
<b>10. Tehollisen virumaluvun <math>\phi_{ef}</math> laskenta (EC2 kohta 5.8.4)</b>						
	$M_{0Eqp,yy} / M_{0Ed,yy}$	$\phi_{ef,yy}$	$M_{0Eqp,zz} / M_{0Ed,zz}$	$\phi_{ef,zz}$	Virumaluku:	
1	0,87	1,58	0,87	1,58	$\phi(t, t_0) = 1,82$	
2	0,00	0,00	0,00	0,00	$\phi_{ef,yy} = \phi(t, t_0) * (M_{0Eqp,yy} / M_{0Ed,yy})$	
3	0,00	0,00	0,00	0,00	$\phi_{ef,zz} = \phi(t, t_0) * (M_{0Eqp,zz} / M_{0Ed,zz})$	
4	0,00	0,00	0,00	0,00		
<b>11. Taivutuskestävyyden <math>M_{Rd}</math> ratkaiseminen eri <math>N_{Ed}</math> arvoille</b>						
11.1. Taivutuskestävyys $M_{Rdyy}$ Y-Y akselin ympäri						$M_{Rdyy} = tM_{Rd} + t\Delta M_{Rd} * [(N_{Ed} - tN_{Rd,yy}) / (t\Delta N_{Rd})]$
	$N_{Ed}$ [kN]	$fN_{Rd,yy}$ [kN]	$fM_{Rd,yy}$ [kNm]	$f\Delta N_{Rd,yy}$ [kN]	$f\Delta M_{Rd,yy}$ [kNm]	$M_{Rd,yy}$ [kNm]
1	1590	1407,2	842,1	247,2	7,8	847,9
2	0	-275,3	669,0	413,7	54,7	705,4
3	0	-275,3	669,0	413,7	54,7	705,4
4	0	-275,3	669,0	413,7	54,7	705,4
11.2. Taivutuskestävyys $M_{Rdzz}$ Z-Z akselin ympäri						$M_{Rdzz} = fM_{Rd,zz} + f\Delta M_{Rd,zz} * [(N_{Ed} - fN_{Rd,zz}) / (f\Delta N_{Rd})]$
	$N_{Ed}$ [kN] [kN]	$fN_{Rd,zz}$ [kN]	$fM_{Rd,zz}$ [kNm]	$f\Delta N_{Rd,zz}$ [kN]	$f\Delta M_{Rd,zz}$ [kNm]	$M_{Rd,zz}$ [kNm]
1	1590	1479,0	708,4	320,7	3,6	709,6
2	0	-197,2	608,7	327,5	29,6	626,5
3	0	-197,2	608,7	327,5	29,6	626,5
4	0	-197,2	608,7	327,5	29,6	626,5

12. Erillisten sauvojen hoikkuskriteerin  $\lambda_{lim}$  laskenta (EC2 kohta 5.8.3.1) Sivu5(7)

$$B = \boxed{1,57} \quad B = (1+2*\omega)^{0.5}$$

12.1. Hoikkuskriteeri Y-Y akselin ympäri

$$\begin{aligned} A_{yy} &= 1/(1+0.2*\varphi_{ef,yy}) \\ C_{yy} &= 1.7 - r_{m,yy} \\ \lambda_{lim,yy} &= 20*A_{yy}*B*C_{yy}/(n^{0.5}) \end{aligned} \quad r_{m,yy} = \begin{cases} 1 & \text{jos rakenne on sivusiirtävä (mastopilari)} \\ 1 & \text{jos } M_{02,yy}+e_{i,zz}*N_{Ed} = 0 \\ (M_{01,yy}+e_{i,zz}*N_{Ed})/(M_{02,yy}+e_{i,zz}*N_{Ed}) & \text{muussa tapauksessa} \end{cases}$$

$$n = N_{Ed}/(A_c*f_{cd})$$

Ehto hoikkuudelle:

	$N_{Ed}$ [kN]	n	$A_{yy}$	$r_{m,yy}$	$C_{yy}$	$\lambda_{lim,yy}$	$\lambda_{yy}$	$\lambda_{yy} > \lambda_{lim,yy}$
1	1590,0	0,30	0,76	1,00	0,70	30,3	78,7	Hoikka
2	0,0	0,00	1,00	1,00	0,70	9999,0	78,7	Ei-hoikka
3	0,0	0,00	1,00	1,00	0,70	9999,0	78,7	Ei-hoikka
4	0,0	0,00	1,00	1,00	0,70	9999,0	78,7	Ei-hoikka

12.2. Hoikkuskriteeri Z-Z akselin ympäri

$$\begin{aligned} A_{zz} &= 1/(1+0.2*\varphi_{ef,zz}) \\ C_{zz} &= 1.7 - r_{m,zz} \\ \lambda_{lim,zz} &= 20*A_{zz}*B*C_{zz}/(n^{0.5}) \end{aligned} \quad r_{m,zz} = \begin{cases} 1 & \text{jos rakenne on sivusiirtävä (mastopilari)} \\ 1 & \text{jos } M_{02,zz}+e_{i,yy}*N_{Ed} = 0 \\ (M_{01,zz}+e_{i,yy}*N_{Ed})/(M_{02,zz}+e_{i,yy}*N_{Ed}) & \text{muussa tapauksessa} \end{cases}$$

$$n = N_{Ed}/(A_c*f_{cd})$$

Ehto hoikkuudelle:

	$N_{Ed}$ [kN]	n	$A_{zz}$	$r_{m,zz}$	$C_{zz}$	$\lambda_{lim,zz}$	$\lambda_{zz}$	$\lambda_{zz} > \lambda_{lim,zz}$
1	1590,0	0,30	0,76	1,00	0,70	30,3	78,7	Hoikka
2	0,0	-	1,00	1,00	0,70	9 999,0	78,7	Ei-hoikka
3	0,0	-	1,00	1,00	0,70	9 999,0	78,7	Ei-hoikka
4	0,0	-	1,00	1,00	0,70	9 999,0	78,7	Ei-hoikka

13. Toisen kertaluvun momentin laskenta nimellisellä kaarevuudella (EC2 kohta 5.8.8.3)

$$\begin{aligned} n_u &= \boxed{1,74} \\ n_{bal,yy} &= \boxed{0,439} \\ n_{bal,zz} &= \boxed{0,474} \end{aligned} \quad \begin{aligned} n_u &= 1+\omega \\ n_{bal,yy} &= N_{Rd,bal,yy}/(A_c*f_{cd}) \\ n_{bal,zz} &= N_{Rd,bal,zz}/(A_c*f_{cd}) \end{aligned}$$

13.1. Toisen kertaluvun taivutusmomentti Y-Y akselin ympäri

$$\begin{aligned} \beta_{yy} &= \boxed{0,026} \\ i_{s,yy} &= \boxed{165,4} \text{ mm} \\ d_{yy} &= \boxed{405,4} \text{ mm} \end{aligned} \quad \begin{aligned} \beta_{yy} &= 0.35 + f_{ck}/200 - \lambda_{yy}/150 \\ d_{yy} &= H/2 + i_{s,yy} \end{aligned}$$

$$(1/r_0)_{yy} = \boxed{0,000012} \text{ 1/mm} \quad (1/r_0)_{yy} = \varepsilon_{yd}/(0.45*d_{yy})$$

Normaalivoiman korjauserroin:  
Viruman korjauserroin  
Kaarevuus:

$$\begin{aligned} K_{r,yy} &= (n_u - n)/(n_u - n_{bal,yy}) \leq 1 \\ K_{\varphi,yy} &= 1 + \beta_{yy} * \varphi_{ef,yy} \geq 1 \\ (1/r)_{yy} &= K_{r,yy} * K_{\varphi,yy} * (1/r_0)_{yy} \end{aligned}$$

Taipuma:  
Toisen kertaluvun momentti:

$$\begin{aligned} e_{2,zz} &= (1/r)_{yy} * L_{0yy} / c_{yy} \\ M_{2,yy} &= \begin{cases} e_{2,zz} * N_{Ed} & , \text{ jos } \lambda_{yy} > \lambda_{lim,yy} \\ 0 & , \text{ jos } \lambda_{yy} \leq \lambda_{lim,yy} \\ 0 & , \text{ jos } M_{2,yy} < 0.1*(M_{0e,yy} + M_{i,yy}) \end{cases} \end{aligned}$$

	$N_{Ed}$ [kN]	n	$K_{r,yy}$	$\varphi_{ef,yy}$	$K_{\varphi,yy}$	$(1/r)_{yy}$ [1/mm]	$c_{yy}$	$e_{2,zz}$ [mm]	$M_{2,yy}$ [kNm]
1	1590	0,30	1,000	1,6	1,040	0,000012	8,00	184,1	292,8
2	0	0,00	1,000	0,0	1,000	0,000012	0,00	0,0	0,0
3	0	0,00	1,000	0,0	1,000	0,000012	0,00	0,0	0,0
4	0	0,00	1,000	0,0	1,000	0,000012	0,00	0,0	0,0



### 13.2. Toisen kertaluvun taivutusmomentti Z-Z akselin ympäri

Sivu6(7)

$$\begin{aligned}\beta_{zz} &= 0,026 \\ i_{s,zz} &= 139,2 \text{ mm} \\ d_{zz} &= 379,2 \text{ mm}\end{aligned}$$

$$\beta_{zz} = 0.35 + f_{ck}/200 - \lambda_{zz}/150$$

$$d_{zz} = B/2 + i_{s,zz}$$

$$(1/r_0)_{zz} = 0,000013 \text{ 1/mm}$$

$$(1/r_0)_{zz} = \epsilon_{yd}/(0.45 \cdot d_{zz})$$

Normaalivoiman korjauskerroin:

$$K_{r,zz} = (n_u - n)/(n_u - n_{bal,zz}) \leq 1$$

Viruman korjauskerroin:

$$K_{\phi,zz} = 1 + \beta_{zz} \cdot \phi_{ef,zz} \geq 1$$

Kaarevuus:

$$(1/r)_{zz} = K_{r,zz} \cdot K_{\phi,zz} \cdot (1/r_0)_{zz}$$

Taipuma:

$$e_{2,yy} = (1/r)_{zz} \cdot L_{0zz} / c_{zz}$$

Toisen kertaluvun momentti:

$$M_{2,zz} = \begin{cases} e_{2,yy} \cdot N_{Ed} & , \text{ jos } \lambda_{zz} > \lambda_{lim,zz} \\ 0 & , \text{ jos } \lambda_{zz} \leq \lambda_{lim,zz} \\ 0 & , \text{ jos } M_{2,zz} < 0.1 \cdot (M_{0e,zz} + M_{i,zz}) \end{cases}$$

	$N_{Ed}$ [kN]	n	$K_{r,zz}$	$\phi_{ef,zz}$	$K_{\phi,zz}$	$(1/r)_{zz}$ [1/mm]	$c_{zz}$	$e_{2,yy}$ [mm]	$M_{2,yy}$ [kNm]
1	1590,0	0,30	1,000	1,58	1,040	0,000013	10,00	157,5	<b>250,4</b>
2	0,0	-	1,000	0,00	1,000	0,000013	0,00	0,0	<b>0,0</b>
3	0,0	-	1,000	0,00	1,000	0,000013	0,00	0,0	<b>0,0</b>
4	0,0	-	1,000	0,00	1,000	0,000013	0,00	0,0	<b>0,0</b>

### 14. Taivutusmomentin mitoitusarvot (EC2 kohta 5.8.8.2 sekä 6.1(4) )

#### 14.1. Mitoittava taivutusmomentti Y-Y akselin ympäri

$$e_{0,zz} = 20,00 \text{ mm}$$

$$e_{0,zz} = \text{MAX}(20\text{mm} ; H/30)$$

Sivusiirtymättömälle rakenteelle:

$$M_{Ed,yy} = \text{MAX} \begin{cases} e_{0,zz} \cdot N_{Ed} \\ M_{02,yy} + M_{i,yy} \\ M_{0e,yy} + M_{2,yy} + M_{i,yy} \end{cases}$$

Sivusiirtyvälle rakenteelle:

$$M_{Ed,yy} = \text{MAX} \begin{cases} e_{0,zz} \cdot N_{Ed} \\ M_{02,yy} + M_{2,yy} + M_{i,yy} \end{cases}$$

	$N_{Ed}$ [kN]	$M_{02,yy}$ [kNm]	$M_{0e,yy}$ [kNm]	$M_{2,yy}$ [kNm]	$M_{i,yy}$ [kNm]	$e_{0,zz} \cdot N_{Ed}$ [kNm]	$M_{Ed,yy}$ [kNm]	$M_{Rd,yy}$ [kNm]	Ehto:
1	1590,0	201,3	120,8	292,8	38,8	31,8	<b>532,8</b>	<b>847,9</b>	OK
2	0,0	0,0	0,0	0,0	0,0	0,0	<b>0,0</b>	<b>705,4</b>	OK
3	0,0	0,0	0,0	0,0	0,0	0,0	<b>0,0</b>	<b>705,4</b>	OK
4	0,0	0,0	0,0	0,0	0,0	0,0	<b>0,0</b>	<b>705,4</b>	OK

#### 14.2. Mitoittava taivutusmomentti Z-Z akselin ympäri

$$e_{0,yy} = 20,00 \text{ mm}$$

$$e_{0,yy} = \text{MAX}(20\text{mm} ; B/30)$$

Sivusiirtymättömälle rakenteelle:



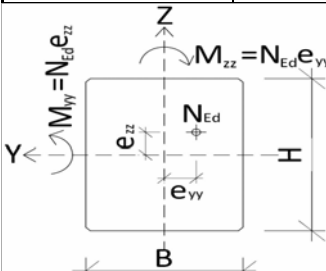
$$M_{Ed,zz} = \text{MAX} \begin{cases} e_{0,yy} \cdot N_{Ed} \\ M_{02,zz} + M_{i,zz} \\ M_{0e,zz} + M_{2,zz} + M_{i,zz} \end{cases}$$

Sivusiirtyvälle rakenteelle:

$$M_{Ed,zz} = \text{MAX} \begin{cases} e_{0,yy} \cdot N_{Ed} \\ M_{02,zz} + M_{2,zz} + M_{i,zz} \end{cases}$$

	$N_{Ed}$ [kN]	$M_{02,zz}$ [kNm]	$M_{0e,zz}$ [kNm]	$M_{2,zz}$ [kNm]	$M_{i,zz}$ [kNm]	$e_{0,yy} \cdot N_{Ed}$ [kNm]	$M_{Ed,zz}$ [kNm]	$M_{Rd,zz}$ [kNm]	Ehto:
1	1590,0	120,8	72,5	250,4	0,0	31,8	<b>371,2</b>	<b>709,6</b>	OK
2	0,0	0,0	0,0	0,0	0,0	0,0	<b>0,0</b>	<b>626,5</b>	OK
3	0,0	0,0	0,0	0,0	0,0	0,0	<b>0,0</b>	<b>626,5</b>	OK
4	0,0	0,0	0,0	0,0	0,0	0,0	<b>0,0</b>	<b>626,5</b>	OK



		<b>Rakennelaskelma, tulos</b>	
VALITSE YHTIÖ -----		Tekijä: PMA	Sivu: 1 (3)
		Päiväys: 16.4.2012	
<b>Rakennuskohde:</b> Insinööritoimisto	Työ no:	<b>Sisältö:</b> 2-suuntaan taivutettu teräsbetonipilari	Sijainti:
<b>B3 Kahteen suuntaan taivutettu teräsbetonipilari</b>			Versio 1.51
 Toteutettu SKOL Eurocode-laskentapohjahankkeessa 2008-2011			
<b>Poikkileikkauksen mitat:</b>		<b>Pilarin pituus ja nurjahduskertoimet:</b>	
Korkeus, H = 480 mm Leveys, B = 480 mm A <sub>c</sub> = 230400 mm <sup>2</sup>		Pilarin pituus, L = 5000 mm μ <sub>yy</sub> = 2,18 L <sub>0,yy</sub> = 10900 mm i <sub>yy</sub> = 138,6 mm λ <sub>yy</sub> = 78,66	μ <sub>zz</sub> = 2,18 L <sub>0,zz</sub> = 10900 mm i <sub>zz</sub> = 138,6 mm λ <sub>zz</sub> = 78,66
<b>Betonipeitteen nimellisarvo ja max. raekoko:</b>			
Betonipeite, c = 35 mm Δc <sub>dev</sub> = 10 mm Max rakoko, d <sub>g</sub> = 32 mm c <sub>nom</sub> = 27 mm a <sub>min</sub> = 35 mm		<b>Olosuhdetekijät:</b>	
		t <sub>0</sub> = 28 t = 3650 φ(t, t <sub>0</sub> ) = 1,819	Rasitusluokka = XC1 Suun. käyttöikä = 50 vuotta RH = 45 %
		<b>Rauditus:</b>	
		Ø <sub>main</sub> = 25 mm teräsriv. h sivulla = 4 = n <sub>h</sub> teräsriv. b sivulla = 7 = n <sub>b</sub> Σbars = 18 kpl ω = 0,736 Ø <sub>Haat</sub> = 8 mm Ø <sub>haka,min</sub> = 6,25 mm s = 350 mm s <sub>cl,max</sub> = 375 mm A <sub>s</sub> = 8836 mm <sup>2</sup> A <sub>s,min</sub> = 460,8 mm <sup>2</sup> A <sub>s,max</sub> = 13824 mm <sup>2</sup> i <sub>s,yy</sub> = 165,4 mm i <sub>s,zz</sub> = 139,2 mm d <sub>yy</sub> = 405,4 mm d <sub>zz</sub> = 379,2 mm UMPIHAAT RIITTÄVÄT	
<b>Materialit:</b>			
Rakenneluokka = 2			
<b>BETONITERÄS</b>			
Osavarmuusluku, γ <sub>s</sub> = 1,15			
f <sub>yk</sub> [Mpa]	f <sub>yd</sub> [Mpa]	E <sub>s</sub> [Mpa]	ε <sub>yd</sub> [‰]
500	500	434,78	200000
<b>BETONI</b>			
α <sub>cc</sub> = 0,85			
Osavarmuusluku, γ <sub>c</sub> = 1,5			
f <sub>ck</sub> [Mpa]	f <sub>cd</sub> [Mpa]	f <sub>cm</sub> [Mpa]	E <sub>cm</sub> [Gpa]
C40/50	40	22,67	48
ε <sub>cu3</sub> [‰]			
3,5			
λ			
0,8			
η			
1			
Voimasuureet sisältävät 2-kertaluvun vaikutukset : Ei		Rakenne on:	
Huomioi mittaepätarkkuudet: Z-Z suunnassa		Sivusiirtyvä(mastopilari) Z-Z suunnassa	
		Sivusiirtyvä(mastopilari) Y-Y suunnassa	
<b>MRT - Murtorajatilan voimasuureet [kN] ja [kNm]</b>		<b>KRT Pitkäaikaisen ja MRT Momentin suhde</b>	
Puristus = (+) Veto = (-) N <sub>Ed</sub> [kN]	Yläpää (top) M <sub>0yy,top</sub> [kNm] M <sub>0zz,top</sub> [kNm]	Alapää (btm) M <sub>0yy,btm</sub> [kNm] M <sub>0zz,btm</sub> [kNm]	(M <sub>0Eqp</sub> /M <sub>0Ed</sub> ) <sub>yy</sub> (M <sub>0Eqp</sub> /M <sub>0Ed</sub> ) <sub>zz</sub>
Tapaus 1	1590	-201	0,870
Tapaus 2			
Tapaus 3			
Tapaus 4			

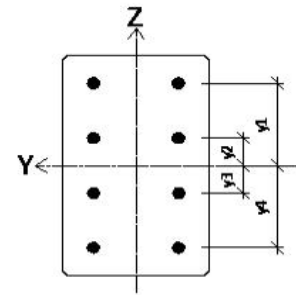
		<b>Rakennelaskelma, tulos</b>							
		Tekijä: PMA	Sivu: 2 (3)						
		Päiväys: 16.4.2012							
<b>Rakennuskohde:</b> Insinöörityö	<b>Työ no:</b>	<b>Sisältö:</b> 2-suuntaan taivutettu teräsbetonipilari	<b>Sijainti:</b>						
<b>B3 Kahteen suuntaan taivutettu teräsbetonipilari</b> <span style="float: right;">Versio 1.51</span>									
<b>Mitoitus Y-Y akselin ympäri</b>									
Ekvivalentin vakiomomentin ja mittaepätarkkuuksien laskenta									
	$N_{Ed}$ [kN]	$M_{01,y}$ [kNm]	$M_{02,y}$ [kNm]	$M_{0e,y}$ [kNm]	$M_{i,y}$ [kNm]	Huomioi epätarkkuus(ei): Z-Z suunnassa $e_{i,zz} = $ <span style="border: 1px solid black; padding: 2px 10px;">24,37</span> mm			
Tapaus 1	1590		201,25	120,75	38,75				
Tapaus 2									
Tapaus 3									
Tapaus 4									
Taivutusmomentin mitoitusarvon laskenta									
	$\lambda_{yy}$	$\lambda_{yy} > \lambda_{lim,yy}$	$M_{02,y}$ [kNm]	$M_{0E,y}$ [kNm]	$M_{2,y}$ [kNm]	$M_{i,y}$ [kNm]	$e_{0,zz} * N_{Ed}$ [kNm]	$M_{Ed,y}$ [kNm]	$M_{Rd,y}$ [kNm]
Tapaus 1	30,3	Hoikka	201,25	120,75	292,7792	38,8	31,8	<b>532,8</b>	847,9
Tapaus 2	9999,0	Ei-hoikka							705,4
Tapaus 3	9999,0	Ei-hoikka							705,4
Tapaus 4	9999,0	Ei-hoikka							705,4
Mitoitus Z-Z akselin ympäri									
Ekvivalentin vakiomomentin ja mittaepätarkkuuksien laskenta									
	$N_{Ed}$ [kN]	$M_{01,z}$ [kNm]	$M_{02,z}$ [kNm]	$M_{0e,z}$ [kNm]	$M_{i,z}$ [kNm]	Huomioi epätarkkuus(ei): Z-Z suunnassa $e_{i,yy} = $ <span style="border: 1px solid black; padding: 2px 10px;">24,37</span> mm			
Tapaus 1	1590		120,75	72,45					
Tapaus 2									
Tapaus 3									
Tapaus 4									
Taivutusmomentin mitoitusarvon laskenta									
	$\lambda_{zz}$	$\lambda_{zz} > \lambda_{lim,zz}$	$M_{02,z}$ [kNm]	$M_{0E,z}$ [kNm]	$M_{2,z}$ [kNm]	$M_{i,z}$ [kNm]	$e_{0,yy} * N_{Ed}$ [kNm]	$M_{Ed,z}$ [kNm]	$M_{Rd,z}$ [kNm]
Tapaus 1	30,3	Hoikka	120,75	72,45	250,42		31,8	<b>371,2</b>	709,6
Tapaus 2	9999,0	Ei-hoikka							626,5
Tapaus 3	9999,0	Ei-hoikka							626,5
Tapaus 4	9999,0	Ei-hoikka							626,5
Vaino taivutus (EC2 kohta 5.8.9(4))									
	$N_{Ed}$ [kN]	$N_{Ed}/N_{Rd}$	a	$(M_{Ed}/M_{Rd})_{yy}$	$(M_{Ed}/M_{Rd})_{zz}$	Kaava 5.39 tulos	Ehto: (5.39) < 1	Vaino taivutus liian suuri  OK OK OK	
Tapaus 1	1590	0,175	1,063	0,628	0,523	1,112			
Tapaus 2			1,000				OK		
Tapaus 3			1,000				OK		
Tapaus 4			1,000				OK		
<b>HUOM! TÄMÄ LASKENTAPOHJA EI TEE PALOMITOITUSTA!</b> <b>PALOMITOITUS TEHTÄVÄ ERIKSEEN EUROKODI EN-1992-1-2 MUKAAN!</b>									

1. Raudoituksen jäyhyysäteiden laskeminen Y-Y ja Z-Z akselin ympäri

H=	480	mm	$\emptyset_{\text{main}} =$	25	mm	$A_{\text{stot}} =$	6872	mm <sup>2</sup>
B=	480	mm	$A_{s1} =$	491	mm <sup>2</sup>	$I_{\emptyset_{\text{main}}} =$	19174,8	mm <sup>4</sup>
						$I_{\emptyset_{\text{main}}} =$	$\pi \cdot \emptyset^4 / 64$	

Raudoituksen jäyhyysäde i<sub>s</sub> Y-Y akselin ympäri

rivi	d' <sub>n</sub> [mm]	y [mm]	y <sup>2</sup> [mm <sup>2</sup> ]	n [kpl]	I <sub>s,yy,n</sub>
1	55,5	184,5	34040,3	6	100371860
2	240,0	0,0	0,0	2	38350
3	424,5	-184,5	34040,3	6	100371860
					$I_{s,yy} =$ 2,01,E+08 mm <sup>4</sup>
					$i_{s,yy} =$ 170,93 mm

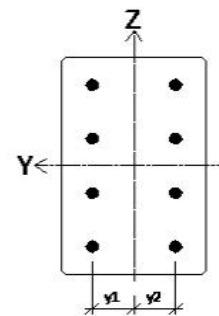


$$I_{s,yy} = \sum I_{s,yy,n}$$

$$i_{s,yy} = (I_{s,yy} / A_{\text{stot}})^{0.5}$$

Raudoituksen jäyhyysäde i<sub>s</sub> Z-Z akselin ympäri

rivi	d' <sub>n</sub> [mm]	y [mm]	y <sup>2</sup> [mm <sup>2</sup> ]	kpl	I <sub>s,zz,n</sub>
1	55,5	184,5	34040,3	3	50185930
2	129,3	110,7	12254,5	2	12069167
3	203,1	36,9	1361,6	2	1375107
4	276,9	-36,9	1361,6	2	1375107
5	350,7	-110,7	12254,5	2	12069167
6	424,5	-184,5	34040,3	3	50185930
					$I_{s,zz} =$ 1,27,E+08 mm <sup>4</sup>
					$i_{s,zz} =$ 136,08 mm



$$I_{s,zz} = \sum I_{s,zz,n}$$

$$i_{s,zz} = (I_{s,zz} / A_{\text{stot}})^{0.5}$$

NIMELLISEN JÄYKKYYDEN MENETELMÄ			Sivu1(2)
MITOITAVA TAIVUTUSMOMENTTI Y-Y AKSELIN YMPÄRI			
Jäykkyyden vaikutuskerroin, raudoituksen vaikutus			
$K_s$	1		
Jäykkyyden vaikutuskerroin, betonin vaikutus			
$K_c$	0,08	$K_c = K_1 \cdot k_2 / (1 + \varphi_{ef})$	
$k_1$	1,41	$k_1 = \sqrt{f_{ck} / 20 \text{ MPa}}$	
$k_2$	0,141	$k_2 = \eta \cdot (\lambda / 170)$ kuitenkin $k_2 < 0,2$	
Tehollinen virumaluku			
$\varphi_{ef}$	1,58	kts. Vertailulaskelmien sivu 7	
Suhteellinen normaalivoima			
$\eta$	0,150	kts. Vertailulaskelmien sivu 8	
momenttijakaumakerroin		momenttijakaumakerroin	
$\beta$	0,822	$\beta = \pi^2 / c_0$	$c_0$ <span style="border: 1px solid black; padding: 2px 10px;">12</span>
betonin kimmokertoimen mitoitussarvo		betonin kimmokertoimen osavarmuusluku	
$E_{cd}$	29166,7 N/mm <sup>2</sup>	$E_{cd} = E_{cm} / \gamma_{cE}$	$\gamma_{cE}$ <span style="border: 1px solid black; padding: 2px 10px;">1,2</span>
betonipoikkileikkauksen jäyhyysmomentti			
$I_c$	4423680000 mm <sup>4</sup>	$I_c = (B \cdot H^3) / 12$	
raudoituksen jäyhyysmomentti			
$I_s$	200782070 mm <sup>4</sup>	kts. Vertailulaskelmien sivu 13	
nimellisiäjäykkyys			
$EI$	50119,6 kNm <sup>2</sup>		
nurjahduskuorma			
$N_b$	4163,5 kN	$N_b = \pi^2 \cdot (EI)_{ef} / L_0^2$	
momentin suurennoskerroin		$1 + \beta / [(N_b / N_{Ed}) - 1]$	
	1,51		
1.kertaluvun momentti murtorajatilassa			
$M_{0Ed}$	240,0 kNm	$M_{0Ed} = M_{0yy, btm} + N_{Ed} \cdot e_i$	
Kokonaismitoitusmomentti			
$M_{Ed}$	362,0 kNm	$M_{Ed} = M_{0Ed} \cdot \{1 + \beta / [(N_b / N_{Ed}) - 1]\}$	

NIMELLISEN JÄYKKYYDEN MENETELMÄ			Sivu2(2)
MITOITTAVA TAIVUTUSMOMENTTI Z-Z AKSELIN YMPÄRI			
Jäykkyyden vaikutuskerroin, raudoituksen vaikutus			
$K_s$	1		
Jäykkyyden vaikutuskerroin, betonin vaikutus			
$K_c$	0,08	$K_c = K_1 \cdot k_2 / (1 + \varphi_{ef})$	
$k_1$	1,41	$k_1 = \sqrt{f_{ck} / 20 \text{ MPa}}$	
$k_2$	0,141	$k_2 = \eta \cdot (\lambda / 170)$ kuitenkin $k_2 < 0,2$	
Tehollinen virumaluku			
$\varphi_{ef}$	1,58	kts. Vertailulaskelmien sivu 7	
Suhteellinen normaalivoima			
$\eta$	0,150	kts. Vertailulaskelmien sivu 8	
momenttijakaumakerroin		momenttijakaumakerroin	
$\beta$	0,822	$\beta = \pi^2 / c_0$	$c_0$
betonin kimmokertoimen mitoitusarvo		betonin kimmokertoimen osavarmuusluku	
$E_{cd}$	29166,7 N/mm <sup>2</sup>	$E_{cd} = E_{cm} / \gamma_{cE}$	$\gamma_{cE}$
betonipoikkileikkauksen jäyhyysmomentti			
$I_c$	4423680000 mm <sup>4</sup>	$I_c = (B \cdot H^3) / 12$	
raudoituksen jäyhyysmomentti			
$I_s$	127260408 mm <sup>4</sup>	kts. Vertailulaskelmien sivu 13	
nimellisiäjäykkyys			
$EI$	35415,3 kNm <sup>2</sup>		
nurjahduskuorma			
$N_b$	2942,0 kN	$N_b = \pi^2 \cdot (EI)_{ef} / L_0^2$	
momentin suurennoskerroin			
	1,97	$1 + \beta / [(N_b / N_{Ed}) - 1]$	
1.kertaluvun momentti murtorajatilassa			
$M_{0Ed}$	120,8 kNm	$M_{0Ed} = M_{0zz, btm}$	
Kokonaismitoitusmomentti			
$M_{Ed}$	237,5 kNm	$M_{Ed} = M_{0Ed} \cdot \{1 + \beta / [(N_b / N_{Ed}) - 1]\}$	

# MONIKERROSPILARI

LASKELMAT ROBOT STRUCTURAL ANALYSIS 2012 - OHJELMALLA

## Sisällysluettelo:

s. 1-3	Nimellisen kaarevuuden menetelmä	L=7,0 m
s. 4-6	Nimellisen jäykkyyden menetelmä	L=7,0 m



# MONIKERROSPILARI

## NIMELLISEN KAAREVUUDEN MENETELMÄ

L=7,0m

### 1 Level:

- Name : Level +7,00
- Reference level : 0,00 (m)
- Concrete creep coefficient :  $\phi_p = 1,15$
- cement class : N
- Environment class : XC1
- Structure class : S1

### 2 Column: Column1

Number: 1

#### 2.1 Material properties:

- Concrete : C40/50  $f_{ck} = 40,00$  (MPa)
- Unit weight : 2501,36 (kG/m<sup>3</sup>)
- Aggregate size : 32,0 (mm)
- Longitudinal reinforcement: : A500HW  $f_{yk} = 500,00$  (MPa)
- Ductility class : -
- Transversal reinforcement: : A500HW  $f_{yk} = 500,00$  (MPa)

#### 2.2 Geometry:

- 2.2.1 Rectangular 580,0 x 580,0 (mm)
- 2.2.2 Height: L = 7,00 (m)
- 2.2.3 Slab thickness = 0,00 (m)
- 2.2.4 Beam height = 0,00 (m)
- 2.2.5 Cover = 30,0 (mm)

#### 2.3 Calculation options:

- Calculations according to : SFS-EN 1992-1-1
- Seismic dispositions : No requirements
- Precast column : yes
- Pre-design : no
- Slenderness taken into account : yes
- Compression : with bending
- Ties : to slab
- More than 50 % loads applied: after 90 day
- Fire resistance class : No requirements

#### 2.4 Loads:

Case	Nature	Group	$\gamma_f$	N (kN)	My(s) (kN*m)	My(i) (kN*m)	Mz(s) (kN*m)	Mz(i) (kN*m)
MRT	design(Structural)	1	1,00	1755,00	0,00	-301,88	-0,00	259,88

$\gamma_f$  - load factor

## 2.5 Calculation results:

Safety factors  $R_d/E_d = 1,04 > 1.0$  (Mitoitettu suoraan vinosta taivutuksesta aiheutuvalle jännitystilalle)

Safety factors  $R_d/E_d = 0,84 < 1.0$  (Mitoitettu yksinkertaistettua mitoitusetta käyttäen)

### 2.5.1 ULS Analysis

Design combination: MRT (B)

Internal forces:

$N_{sd} = 1755,00$  (kN)  $M_{sdy} = -301,88$  (kN\*m)  $M_{sdz} = 259,88$  (kN\*m)

Design forces:

Lower node

$N = 1755,00$  (kN)  $N^*_{etotz} = -757,13$  (kN\*m)  $N^*_{etoty} = 664,52$  (kN\*m)

Eccentricity:	$e_z$ (My/N)	$e_y$ (Mz/N)
Static	$e_{Ed} = -172,0$ (mm)	148,1 (mm)
Imperfection	$e_i = 28,8$ (mm)	0,0 (mm)
II order	$e_2 = 230,6$ (mm)	230,6 (mm)
Minimal	$e_{min} = 20,0$ (mm)	20,0 (mm)
Total	$e_{tot} = -431,4$ (mm)	378,6 (mm)

#### 2.5.1.1. Detailed analysis-Direction Y:

##### 2.5.1.1.1 Slenderness analysis

Sway structure

L (m)	$L_0$ (m)	$\lambda$	$\lambda_{lim}$	
7,00	15,26	91,14	34,54	Slender column

##### 2.5.1.1.2 Buckling analysis

$M_2 = 0,00$  (kN\*m)  $M_1 = -301,88$  (kN\*m)

Case: Cross-section at the column end (Lower node), Slenderness taken into account

$M_0 = -301,88$  (kN\*m)

$e_a = \theta_1 \cdot l_0 / 2 = 28,8$  (mm)

$\theta_1 = \theta_0 \cdot \alpha_h \cdot \alpha_m = 0,00$

$\theta_0 = 0,01$

$\alpha_h = 0,76$

$\alpha_m = (0,5(1+1/m))^{0.5} = 1,00$

$m = 1,00$

**Method based on nominal curvature**

$M_2 = N \cdot e_2 = 404,65$  (kN\*m)

$e_2 = l_0^2 / c \cdot (1/r) = 230,6$  (mm)

$c = 10,00$

$(1/r) = Kr \cdot K_\phi \cdot (1/r_0) = 0,01$

$Kr = 1,00$

$K_\phi = 1 + \beta \cdot \varphi_{ef} = 1,00$

$\beta = 0.35 + f_{ck} / 200 - \lambda / 150 = -0,06$

$\varphi_{ef} = 1,15$

$1/r_0 = (f_{yd} / E_s) / (0.45 \cdot d) = 0,01$

$d = 487,9$  (mm)

$E_s = 200000,00$  (MPa)

$f_{yd} = 434,78$  (MPa)

$M_{Edmin} = 35,10$  (kN\*m)

$M_{Ed} = \max(M_{Edmin}, M_0 + M_2) = -757,13$  (kN\*m)

(5.35)

## 2.5.1.2. Detailed analysis-Direction Z:

### 2.5.1.2.1 Slenderness analysis

Sway structure

L (m)	L <sub>0</sub> (m)	$\lambda$	$\lambda_{lim}$	
7,00	15,26	91,14	34,54	Slender column

### 2.5.1.2.2 Buckling analysis

$M_2 = 259,88 \text{ (kN*m)}$        $M_1 = -0,00 \text{ (kN*m)}$   
 Case: Cross-section at the column end (Lower node), Slenderness taken into account  
 $M_0 = 259,88 \text{ (kN*m)}$   
 $ea = 0,0 \text{ (mm)}$   
**Method based on nominal curvature**  
 $M_2 = N * e_2 = 404,65 \text{ (kN*m)}$   
 $e_2 = l_0^2 / c * (1/r) = 230,6 \text{ (mm)}$   
 $c = 10,00$   
 $(1/r) = K_r * K_\phi * (1/r_0) = 0,01$   
 $K_r = 1,00$   
 $K_\phi = 1 + \beta * \varphi_{ef} = 1,00$   
 $\beta = 0.35 + f_{ck} / 200 - \lambda / 150 = -0,06$   
 $\varphi_{ef} = 1,15$   
 $1/r_0 = (f_{yd} / E_s) / (0.45 * d) = 0,01$   
 $d = 487,9 \text{ (mm)}$   
 $E_s = 200000,00 \text{ (MPa)}$   
 $f_{yd} = 434,78 \text{ (MPa)}$   
 $M_{Edmin} = 35,10 \text{ (kN*m)}$   
 $M_{Ed} = \max(M_{Edmin}, M_0) + M_2 = 664,52 \text{ (kN*m)}$

(5.35)

## 2.5.2 Reinforcement:

Real (provided) area       $A_{sr} = 9817,48 \text{ (mm}^2\text{)}$   
 Ratio:       $\rho = 2,92 \%$

## 2.6 Reinforcement:

### Main bars (A500HW):

- 20  $\phi 25$        $l = 6,95 \text{ (m)}$

### Transversal reinforcement: (A500HW):

stirrups:      21  $\phi 8$        $l = 2,16 \text{ (m)}$

pins      21  $\phi 8$        $l = 2,16 \text{ (m)}$

# MONIKERROSPILARI

## NIMELLISEN JÄYKKYYDEN MENETELMÄ

L=7,0m

### 1 Level:

- Name : Level +7,00
- Reference level : 0,00 (m)
- Concrete creep coefficient :  $\phi_p = 1,15$
- cement class : N
- Environment class : XC1
- Structure class : S1

### 2 Column: Column1

Number: 1

#### 2.1 Material properties:

- Concrete : C40/50  $f_{ck} = 40,00$  (MPa)
- Unit weight : 2501,36 (kG/m<sup>3</sup>)
- Aggregate size : 32,0 (mm)
- Longitudinal reinforcement: : A500HW  $f_{yk} = 500,00$  (MPa)
- Ductility class : -
- Transversal reinforcement: : A500HW  $f_{yk} = 500,00$  (MPa)

#### 2.2 Geometry:

- 2.2.1 Rectangular 580,0 x 580,0 (mm)
- 2.2.2 Height: L = 7,00 (m)
- 2.2.3 Slab thickness = 0,00 (m)
- 2.2.4 Beam height = 0,00 (m)
- 2.2.5 Cover = 30,0 (mm)

#### 2.3 Calculation options:

- Calculations according to : SFS-EN 1992-1-1
- Seismic dispositions : No requirements
- Precast column : yes
- Pre-design : no
- Slenderness taken into account : yes
- Compression : with bending
- Ties : to slab
- More than 50 % loads applied: after 90 day
- Fire resistance class : No requirements

#### 2.4 Loads:

Case	Nature	Group	$\gamma_f$	N (kN)	My(s) (kN*m)	My(i) (kN*m)	Mz(s) (kN*m)	Mz(i) (kN*m)
MRT	design(Structural)	1	1,00	1755,00	0,00	-301,88	-0,00	259,88

$\gamma_f$  - load factor

## 2.5 Calculation results:

Safety factors  $R_d/E_d = 1,05 > 1.0$  (Mitoitettu suoraan vinosta taivutuksesta aiheutuvalle jännitystilalle)

Safety factors  $R_d/E_d = 0,93 < 1.0$  (Mitoitettu yksinkertaistettua mitoitusetta käyttäen)

### 2.5.1 ULS Analysis

Design combination: MRT (B)

Internal forces:

$N_{sd} = 1755,00$  (kN)     $M_{sdy} = -301,88$  (kN\*m)     $M_{sdz} = 259,88$  (kN\*m)

Design forces:

Lower node

$N = 1755,00$  (kN)     $N^*_{etotz} = -690,98$  (kN\*m)     $N^*_{etoty} = 509,43$  (kN\*m)

Eccentricity:	$e_z$ (My/N)	$e_y$ (Mz/N)
Static	$e_{Ed} = -172,0$ (mm)	$148,1$ (mm)
Imperfection	$e_i = 28,8$ (mm)	$0,0$ (mm)
Initial	$e_0 = -143,2$ (mm)	$148,1$ (mm)
Minimal	$e_{min} = 20,0$ (mm)	$20,0$ (mm)
Total	$e_{tot} = -393,7$ (mm)	$290,3$ (mm)

#### 2.5.1.1. Detailed analysis-Direction Y:

##### 2.5.1.1.1 Slenderness analysis

Sway structure

L (m)	$L_0$ (m)	$\lambda$	$\lambda_{lim}$	
7,00	15,26	91,14	32,67	Slender column

##### 2.5.1.1.2 Buckling analysis

$M_2 = 0,00$  (kN\*m)     $M_1 = -301,88$  (kN\*m)

Case: Cross-section at the column end (Lower node), Slenderness taken into account

$M_0 = -301,88$  (kN\*m)

$e_a = 0,1 \cdot l_0 / 2 = 28,8$  (mm)

$\theta_1 = \theta_0 \cdot \alpha_h \cdot \alpha_m = 0,00$

$\theta_0 = 0,01$

$\alpha_h = 0,76$

$\alpha_m = (0,5(1+1/m))^{0.5} = 1,00$

$m = 1,00$

Method based on nominal stiffness

$$\left[ 1 + \frac{\beta}{(N_B / N) - 1} \right] = 1,96$$

$\beta = 1,00$

$N_b = (\pi^2 \cdot E \cdot J) / l_0^2 = 3582,57$  (kN)

$EJ = K_c \cdot E_{cd} \cdot J_c + K_s \cdot E_s \cdot J_s = 84528,76$  (kN\*m<sup>2</sup>)

$\varphi_{ef} = 1,15$

$J_c = 9430413333,3$  (mm<sup>4</sup>)

$J_s = 311017672,7$  (mm<sup>4</sup>)

$K_c = 0,08$  ()

$K_s = 1,00$  ()

$M_{Edmin} = 35,10$  (kN\*m)

$$M_{Ed} = \max \left\{ M_{Edmin}; \left[ 1 + \frac{\beta}{(N_B / N) - 1} \right] M_{0Ed} \right\} = -690,98 \text{ (kN*m)}$$

### 2.5.1.2. Detailed analysis-Direction Z:

#### 2.5.1.2.1 Slenderness analysis

Sway structure

L (m)	Lo (m)	$\lambda$	$\lambda_{lim}$	
7,00	15,26	91,14	32,67	Slender column

#### 2.5.1.2.2 Buckling analysis

M2 = 259,88 (kN\*m)      M1 = -0,00 (kN\*m)

Case: Cross-section at the column end (Lower node), Slenderness taken into account

M0 = 259,88 (kN\*m)

ea = 0,0 (mm)

**Method based on nominal stiffness**

$$\left[ 1 + \frac{\beta}{(N_B / N) - 1} \right] = 1,96$$

$\beta = 1,00$

Nb =  $(\pi^2 * E J) / l_0^2 = 3582,57$  (kN)

EJ = Kc\*Ecd\*Jc+Ks\*Es\*Js = 84528,76 (kN\*m2)

$\varphi_{ef} = 1,15$

Jc = 9430413333,3 (mm4)

Js = 311017672,7 (mm4)

Kc = 0,08 ()

Ks = 1,00 ()

MEdmin = 35,10 (kN\*m)

$$M_{Ed} = \max \left\{ M_{Ed \min}; \left[ 1 + \frac{\beta}{(N_B / N) - 1} \right] M_{0Ed} \right\} = 509,43 \text{ (kN*m)}$$

### 2.5.2 Reinforcement:

Real (provided) area

Asr = 7853,98 (mm2)

Ratio:

$\rho = 2,33 \%$

### 2.6 Reinforcement:

**Main bars (A500HW):**

- 16  $\phi 25$       l = 6,95 (m)

**Transversal reinforcement: (A500HW):**

stirrups:      21  $\phi 8$       l = 2,16 (m)

pins      21  $\phi 8$       l = 2,16 (m)

## MONIKERROSPILARI

### VERTAILULASKELMAT

NIMELLISEN KAAREVUUDEN MENETELMÄ  
NIMELLISEN JÄYKKYYDEN MENETELMÄ

#### Sisällysluettelo:

s. 1	Nurjahduspituus	
s. 2-3	Lähtötiedot	(nimellisen kaarevuuden menetelmä)
s. 4-10	Laskenta	(nimellisen kaarevuuden menetelmä)
s. 11-12	Tulokset	(nimellisen kaarevuuden menetelmä)
s. 13-15	Laskenta/Tulokset	(nimellisen jäykkyyden menetelmä)

## Monikerrospilari nurjahduspituus

$$l_0 = l \cdot \max \left\{ \sqrt{1 + 10 \cdot \frac{k_1 \cdot k_2}{k_1 + k_2}}; \left(1 + \frac{k_1}{1 + k_1}\right) \cdot \left(1 + \frac{k_2}{1 + k_2}\right) \right\}$$

$k_1$  = yläpään kiertymäjoustavuuden suhteellinen arvo

$k_2$  = alapään kiertymäjoustavuuden suhteellinen arvo

$k_1 = 0,1$

$k_2 = \infty$


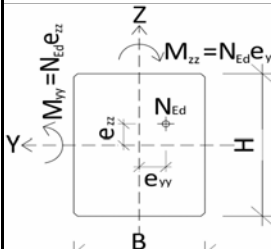
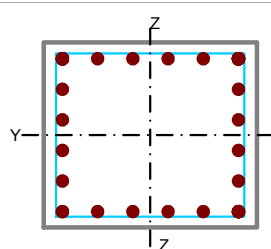
$l = 7000 \text{ mm}$

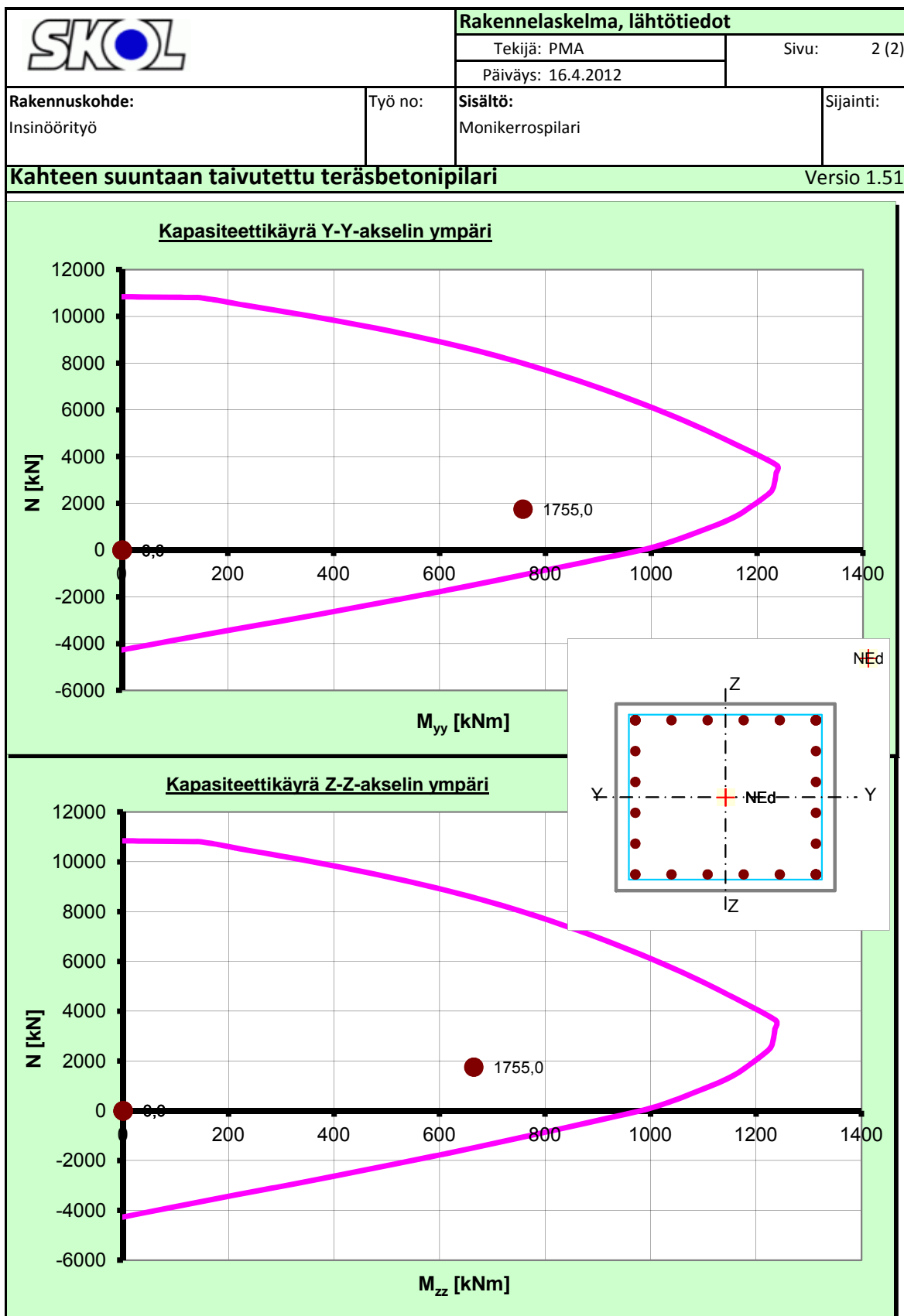
$$l_0 = 7000 \text{ mm} \cdot \max \left\{ \sqrt{1 + 10 \cdot \frac{0,1 \cdot \infty}{0,1 + \infty}}; \left(1 + \frac{0,1}{1 + 0,1}\right) \cdot \left(1 + \frac{\infty}{1 + \infty}\right) \right\}$$

$$l_0 = 7000 \text{ mm} \cdot \max \{1,41; 2,18\}$$

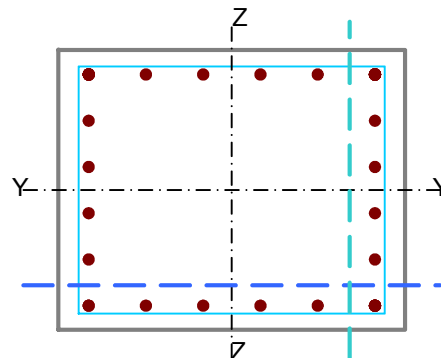
$$l_0 = \mathbf{15260 \text{ mm}}$$



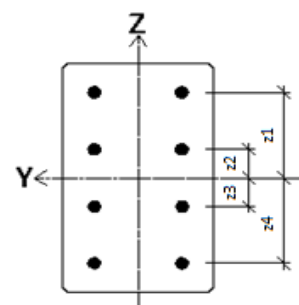
		<b>Rakennelaskelma, lähtötiedot</b>																																					
Finnmap Consulting Oy, Ratamestarinkatu 7a, 00521 HELSINKI		Tekijä: PMA	Sivu: 1 (2)																																				
Päiväys: 16.4.2012																																							
<b>Rakennuskohde:</b> Insinööritö	Työ no:	<b>Sisältö:</b> Monikerrospilari	Sijainti:																																				
<b>B3 Kahteen suuntaan taivutettu teräsbetonipilari</b>																																							
<b>Toteutettu SKOL Eurocode-laskentapohjahankkeessa 2008-2011</b>																																							
<b>Olosuhdetekijät:</b>		<b>Poikkileikkauksen mitat:</b>																																					
Rasitusluokka = XC1 Suun. käyttöikä = 50 vuotta RH = 45 % $t_0 = 28$ $t = 3650$	Kuiva tai pysyvästi märkä #N/A d	Korkeus, H = 580 mm Leveys, B = 580 mm																																					
<b>Materiaalit:</b>		<b>Pilarin pituus ja nurjahduskertoimet:</b>																																					
Rakenneluokka = 2 Betoni = C40/50 Betoniteräs $f_{yk} = 500$ MPa		Pilarin pituus, L = 7000 mm $\mu_{yy} = 2,18$ $\mu_{zz} = 2,18$	Nurjahduskerroin, Y-Y Nurjahduskerroin, Z-Z																																				
																																							
		<b>Betonipeitteen nimellisarvo ja max. raekoko:</b>																																					
		Betonipeite, c = 30 mm $\Delta c_{dev} = 10$ mm Max raekoko, $d_g = 32$ mm																																					
		<b>Rauditus:</b>																																					
		$\phi_{main} = 25$ mm teräsriv. h sivulla = 6 = $n_h$ teräsriv. b sivulla = 6 = $n_b$ $\phi_{Haat} = 8$ mm s = 350 mm																																					
<b>Tarkistukset, Tulokset ja Maksimikäyttöasteet:</b>																																							
$A_s = 9817,5$ mm <sup>2</sup> $A_{s,min} = 672,8$ mm <sup>2</sup> $A_{s,max} = 20184,0$ mm <sup>2</sup> $c_{nom} = 27$ mm $a_{min} = 35$ mm $\phi_{haka,min} = 6,25$ mm $s_{cl,max} = 375$ mm	<table border="1"> <thead> <tr> <th></th> <th colspan="2">Y-Y-akselin ympäri[kNm]</th> <th colspan="2">Z-Z-akselin ympäri[kNm]</th> <th>Vinotaivutus (Eq 5.39)</th> </tr> <tr> <th></th> <th><math>M_{Ed,yy}</math></th> <th><math>M_{Rd,yy}</math></th> <th><math>M_{Ed,zz}</math></th> <th><math>M_{Rd,zz}</math></th> <th></th> </tr> </thead> <tbody> <tr> <td>Tapaus 1</td> <td>757,4</td> <td>1181,4</td> <td>664,8</td> <td>1181,4</td> <td>1,18</td> </tr> <tr> <td>Tapaus 2</td> <td>0,0</td> <td>981,2</td> <td>0,0</td> <td>981,2</td> <td>0,00</td> </tr> <tr> <td>Tapaus 3</td> <td>0,0</td> <td>981,2</td> <td>0,0</td> <td>981,2</td> <td>0,00</td> </tr> <tr> <td>Tapaus 4</td> <td>0,0</td> <td>981,2</td> <td>0,0</td> <td>981,2</td> <td>0,00</td> </tr> </tbody> </table>		Y-Y-akselin ympäri[kNm]		Z-Z-akselin ympäri[kNm]		Vinotaivutus (Eq 5.39)		$M_{Ed,yy}$	$M_{Rd,yy}$	$M_{Ed,zz}$	$M_{Rd,zz}$		Tapaus 1	757,4	1181,4	664,8	1181,4	1,18	Tapaus 2	0,0	981,2	0,0	981,2	0,00	Tapaus 3	0,0	981,2	0,0	981,2	0,00	Tapaus 4	0,0	981,2	0,0	981,2	0,00	<b>VIRHE - V</b> OK OK OK	
	Y-Y-akselin ympäri[kNm]		Z-Z-akselin ympäri[kNm]		Vinotaivutus (Eq 5.39)																																		
	$M_{Ed,yy}$	$M_{Rd,yy}$	$M_{Ed,zz}$	$M_{Rd,zz}$																																			
Tapaus 1	757,4	1181,4	664,8	1181,4	1,18																																		
Tapaus 2	0,0	981,2	0,0	981,2	0,00																																		
Tapaus 3	0,0	981,2	0,0	981,2	0,00																																		
Tapaus 4	0,0	981,2	0,0	981,2	0,00																																		
$\phi(t, t_0) = 1,76$ $i_{yy} = 167,4$ $i_{zz} = 167,4$	$\lambda_{yy} = 91,1$ $\lambda_{zz} = 91,1$	$L_{0,yy} = 15260,0$ mm $L_{0,zz} = 15260,0$ mm																																					
<b>Ensimmäisen kertaluvun voimasuureet (sisältää pilarin oman painon):</b>																																							
Voimasuureet sisältävät 2-kertaluvun vaikutukset: Ei		Rakenne on:																																					
Huomioi mittaepätarkkuudet: Z-Z suunnassa		Sivusiirtävä(mastopilari) Z-Z suunnassa Sivusiirtävä(mastopilari) Y-Y suunnassa																																					
<b>Murtorajatilan voimasuureet pilarin päissä</b>																																							
Puristus = (+) Veto = (-) $N_{Ed}$ [kN]	Yläpää (top) $M_{0yy,top}$ [kNm] $M_{0zz,top}$ [kNm]	Alapää (btm) $M_{0yy,btm}$ [kNm] $M_{0zz,btm}$ [kNm]	KRT Pitkäaikaisen ja MRT Momentin suhde $(M_{0Eqp}/M_{0Ed})_{yy}$ $(M_{0Eqp}/M_{0Ed})_{zz}$																																				
Tapaus 1: 1755 Tapaus 2: Tapaus 3: Tapaus 4:	0    	0    	-301,88 259,88   																																				
			0,66 0,65																																				
			10,0 10,0																																				



B3 Kahteen suuntaan taivutettu teräsbetonipilari/ Laskenta						Versio 1.51		Sivu1(7)	
<b>Olosuhdetekijät:</b>									
		Tunnus							
Rasitusluokka =	XC1								
Suun. käyttöikä =	50 vuotta								
RH =	45 %								
t =	3650			d					
t <sub>0</sub> =	28								
<b>BETONI</b>									
Rakenneluokka =		2							
Osavarmuusluku, γ <sub>c</sub> =		1,5							
α <sub>cc</sub> =		0,85							
	f <sub>ck</sub>	f <sub>cd</sub>	f <sub>cm</sub>	E <sub>cm</sub>	ε <sub>c3</sub>	ε <sub>cu3</sub>	λ	η	
Tunnus	MPa	MPa	MPa	GPa	‰	‰			
C40/50	40,00	22,67	48,00	23	1,75	3,50	0,80	1,00	
<b>BETONITERÄS</b>									
Osavarmuusluku, γ <sub>s</sub> =		1,15							
	f <sub>yk</sub>	f <sub>yd</sub>	E <sub>s</sub>	ε <sub>yd</sub>	ε <sub>ud</sub>				
Tunnus	MPa	MPa	MPa	‰	‰				
500	500	434,8	200000	2,174	10				
$f_{cd} = \alpha_{cc} \cdot f_{ck} / \gamma_c$ $f_{yd} = f_{yk} / \gamma_s$ $\epsilon_{yd} = f_{yd} / E_s$									
<b>RAKENNEOSAN MITAT JA GEOMETRIA:</b>									
Korkeus, H =	580		mm	L =		7000		mm	
Leveys, B =	580		mm	μ <sub>yy</sub> =		2,18		Nurjahduskerroin Y-Y akselin ympäri	
A <sub>c</sub> =	336400		mm <sup>2</sup>	μ <sub>zz</sub> =		2,18		Nurjahduskerroin Z-Z akselin ympäri	
				A <sub>c</sub> = B * H					
Rakenne on:				Sivusiirtyvä(mastopilari) Z-Z suunnassa					
				Sivusiirtyvä(mastopilari) Y-Y suunnassa					
Betonipeite, c =	30		mm	Huomioi epätarkkuudet(e):					
Δc <sub>dev</sub> =	10		mm						
Max rakoko, d <sub>g</sub> =	32		mm	Z-Z suunnassa					
Rauditus				Nurjahduspituudet					
Ø <sub>main</sub> =	25		mm	L <sub>0,yy</sub> =		15260		mm	
n <sub>h</sub> =	6			L <sub>0,zz</sub> =		15260		mm	
n <sub>b</sub> =	6			Jäyhyyssäteet					
Σbars =	20			i <sub>yy</sub> =		167,4		mm	
Σbars =	20			i <sub>zz</sub> =		167,4		mm	
A <sub>stot</sub> =	9817		mm <sup>2</sup>	Hoikkuusluvut					
ω =	0,5598			λ <sub>yy</sub> =		91,1			
ω =	0,5598			λ <sub>zz</sub> =		91,1			
Ø <sub>Haat</sub> =	8		mm	EHTO: λ <sub>yy</sub> < 140 OK					
s =	350		mm	λ <sub>zz</sub> < 140 OK					
$\omega = A_s \cdot f_{yd} / (A_c \cdot f_{cd})$ $\lambda_{yy} = L_{0yy} / i_{yy}$ $\lambda_{zz} = L_{0zz} / i_{zz}$									
<b>SISÄISET VOIMASUUREET</b>									
MRT - Murtorajatilan voimasuureet [kN] ja [kNm]									
Puristus = (+)	Yläpää (top)		Alapää (btm)		KRT Pitkäaikaisen ja MRT Momentin suhde		Kokonaiskaarevuuden jakaumasta riippuva kerroin		
Veto = (-)	M <sub>0yy,top</sub>	M <sub>0zz,top</sub>	M <sub>0yy,btm</sub>	M <sub>0zz,btm</sub>	(M <sub>0Eqp</sub> /M <sub>0Ed</sub> ) <sub>yy</sub>	(M <sub>0Eqp</sub> /M <sub>0Ed</sub> ) <sub>zz</sub>	C <sub>yy</sub> C <sub>zz</sub>		
N <sub>Ed</sub> [kN]	[kNm]	[kNm]	[kNm]	[kNm]					
1	1755	0	0	-301,88	259,88	0,660	0,650	10,000	10,000
2	0	0	0	0	0	0,000	0,000	0,000	0,000
3	0	0	0	0	0	0,000	0,000	0,000	0,000
4	0	0	0	0	0	0,000	0,000	0,000	0,000

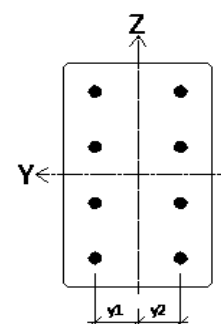


Laskenta ja mitoitus alkaa tästä:										Sivu2(7)	
<b>1. Raudituksen jäyhyyssäteiden laskeminen Y-Y ja Z-Z akselien ympäri</b>											
H=	580	mm	$\phi_{main} =$	25	mm	$A_{stot} =$	9817	mm <sup>2</sup>			
B=	580	mm	$A_{s1} =$	491	mm <sup>2</sup>	$I_{\phi main} =$	19174,8	mm <sup>4</sup>			
						$I_{\phi main} =$	$\pi * \phi^4 / 64$				
Raudituksen jäyhyyssäde $i_y$ Y-Y akselin ympäri											
rivi	$d'_n$ [mm]	$z$ [mm]	$z^2$ [mm <sup>2</sup> ]	$n$ [kpl]	$I_{s,yy,n}$						
1	50,5	239,5	57360,3	6	169054930						
2	146,3	143,7	20649,7	2	20311135						
3	242,1	47,9	2294,4	2	2290881						
4	337,9	-47,9	2294,4	2	2290881						
5	433,7	-143,7	20649,7	2	20311135						
6	529,5	-239,5	57360,3	6	169054930						
					$I_{s,yy} =$	3,83,E+08	mm <sup>4</sup>				
					$i_{s,yy} =$	197,60	mm				
Raudituksen jäyhyyssäde $i_z$ Z-Z akselin ympäri											
rivi	$d'_n$ [mm]	$y$ [mm]	$y^2$ [mm <sup>2</sup> ]	$kpl$	$I_{s,zz,n}$						
1	50,5	239,5	57360,3	6	169054930						
2	146,3	143,7	20649,7	2	20311135						
3	242,1	47,9	2294,4	2	2290881						
4	337,9	-47,9	2294,4	2	2290881						
5	433,7	-143,7	20649,7	2	20311135						
6	529,5	-239,5	57360,3	6	169054930						
					$I_{s,zz} =$	3,83,E+08	mm <sup>4</sup>				
					$i_{s,zz} =$	197,60	mm				
2. Virumaluvun laskenta (EC2 liite B)											
$t_0 =$	28	d	RH =	45,00 %		H =	580	mm			
$t =$	3650	d	$f_{cm} =$	48,00	MPa	B =	580	mm			
$u =$	2320	mm	$u = 2 * (B + H)$					$A_c =$	336400	mm	
$h_0 =$	290,00	mm	$h_0 = 2 * u / A_c$								
$\alpha_1 =$	0,802		$\alpha_2 =$	0,939		$\alpha_3 =$	0,854				
$\alpha_1 =$	$[35/f_{cm}]^{0,7}$		$\alpha_2 =$	$[35/f_{cm}]^{0,7}$		$\alpha_3 =$	$[35/f_{cm}]^{0,7}$				
$\beta(f_{cm}) =$	2,425		$\beta(f_{cm}) =$	$16.8 / (f_{cm})^{0,3}$							
$\beta(t_0) =$	0,488		$\beta(t_0) =$	$1 / [0.1 + t_0^{0,4}]$							
$\beta_H =$	648,485		$\beta_H (f_{cm} \leq 35) =$	$\text{MIN}\{1.5 * [1 + (0.012RH)^{1,5}] h_0 + 250 ; 1500\}$							
$\Phi_{RH} =$	1,564		$\beta_H (f_{cm} > 35) =$	$\text{MIN}\{1.5 * [1 + (0.012RH)^{1,5}] h_0 + 250 * \alpha_3 ; 1500 * \alpha_3\}$							
$\Phi_0 =$	1,853		$\Phi_{RH} (f_{cm} \leq 35) =$	$1 + (1 - RH/100) / (0.1 * h_0^{1/3})$							
$\beta_c(t, t_0) =$	0,952		$\Phi_{RH} (f_{cm} > 35) =$	$[1 + (1 - RH/100) / (0.1 * h_0^{1/3}) * \alpha_1] * \alpha_2$							
$\phi(t, t_0) =$	1,763		$\Phi_0 =$	$\Phi_{RH} * \beta(f_{cm}) * \beta(t_0)$							
			$\beta_c(t, t_0) =$	$[(t - t_0) / (\beta_H + t - t_0)]^{0,3}$							
			$\phi(t, t_0) =$	$\Phi_0 * \beta_c(t, t_0)$							



$$I_{s,yy} = \sum I_{s,yy,n}$$

$$i_{s,yy} = (I_{s,yy} / A_{stot})^{0.5}$$



$$I_{s,zz} = \sum I_{s,zz,n}$$

$$i_{s,zz} = (I_{s,zz} / A_{stot})^{0.5}$$

**TARKISTUKSET**

Sivu3(7)

**3. Betonipeitteen minimipaksuuden nimellisarvon laskenta (EC2 kohta 4.4)**

$$c_{min,b} = 17 \text{ mm}$$

$$c_{min,b} = \text{MAX} \begin{cases} \phi_{main} - \phi_{haka} \\ \phi_{haka} \end{cases}$$

$$f_{ck,min} = 20 \text{ MPa}$$

$$\text{Ehto: } f_{ck} \geq f_{ck,min} \text{ OK}$$

$$f_{ck,väh} = 30 \text{ MPa}$$

$$c_{min,dur,basic} = 10 \text{ mm}$$

$$+c_{min,100v} = 0 \text{ mm}$$

$$+c_{min,fck} = -5 \text{ mm}$$

$$+c_{min,rkl} = 0 \text{ mm}$$

$$c_{min,dur} = 5 \text{ mm}$$

$$c_{min,dur} = c_{min,dur,basic} + c_{min,100v} + c_{min,fck} + c_{min,rkl}$$

$$\Delta c_{dur,y} = 0 \text{ mm}$$

$$\Delta c_{dur,st} = 0 \text{ mm}$$

$$\Delta c_{dur,add} = 0 \text{ mm}$$

$$c_{min} = 17 \text{ mm}$$

$$\Delta c_{dev} = 10 \text{ mm}$$

$$c_{min} = \text{MAX} \begin{cases} c_{min,b} \\ c_{min,dur} + \Delta c_{dur,y} - \Delta c_{dur,st} - \Delta c_{dur,add} \\ 10 \text{ mm} \end{cases}$$

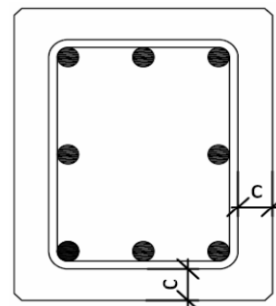
$$c_{nom} = 27 \text{ mm}$$

$$c_{nom} = \Delta c_{dev} + c_{min}$$

$$\text{EHTO:}$$

$$c \geq c_{nom} \text{ OK}$$

$$\text{Betonipeite, } c = 30 \text{ mm}$$



**4. Tankojen välisen vapaan välin minimietäisyyden laskenta (EC2 kohta 8.2)**

$$k_1 = 1$$

$$k_2 = 3 \text{ mm}$$

$$\phi_{main} = 25 \text{ mm}$$

$$d_g = 32 \text{ mm}$$

$$a_{min} = 35 \text{ mm}$$

$$a_h = 70,80 \text{ mm}$$

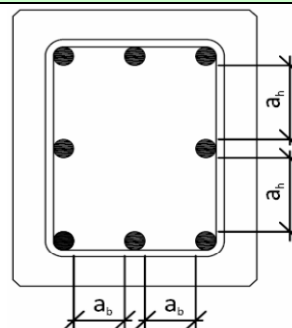
$$a_b = 70,80 \text{ mm}$$

$$a_{min} = \text{MAX} \begin{cases} k_1 * \phi_{main} \\ d_g + k_2 \\ 20 \text{ mm} \end{cases}$$

$$\text{EHTO:}$$

$$a_h \geq a_{min} \text{ OK}$$

$$a_b \geq a_{min} \text{ OK}$$



**5. Pääraudoituksen minimi/maksimivaatimukset (EC2 kohta 9.5.2)**

$$A_c = 336400 \text{ mm}^2$$

$$N_{Ed,max} = 1755 \text{ kN}$$

$$A_{s,min} = 672,8 \text{ mm}^2$$

$$A_{s,min} = \text{MAX} \begin{cases} 0.1 * N_{Ed,max} / f_{yd} \\ 0.002 * A_c \end{cases}$$

$$A_{s,max} = 20184 \text{ mm}^2$$

$$A_{s,max} = 0.06 * A_c$$

$$A_{stot} = 9817 \text{ mm}^2$$

$$\text{EHTO:}$$

$$A_{stot} \geq A_{s,min} \text{ OK}$$

$$A_{stot} \leq A_{s,max} \text{ OK}$$

**6. Hakaraudoituksen minimi ja maksimivaatimukset (EC2 kohta 9.5.3)**

$$\phi_{h,min} = 6,25 \text{ mm}$$

$$\phi_{h,min} = \text{MAX} \begin{cases} 0.25 * \phi \\ 6 \text{ mm} \\ 15 * \phi_{main} \end{cases}$$

$$s_{cl,tmax} = 375 \text{ mm}$$

$$s_{cl,tmax} = \text{MIN} \begin{cases} \min(H, B) \\ 400 \text{ mm} \end{cases}$$

$$\text{EHTO:}$$

$$\phi_{haat} \geq \phi_{h,min} \text{ OK}$$

$$\text{EHTO:}$$

$$s \leq s_{cl,tmax} \text{ OK}$$

**7. Päätankojen sitominen, (EC2 kohta 9.5.3(6))**

9.5.3(6) Jokainen poikkileikkauksen nurkkaan sijoitettu päätanko sidotaan haoilla. Poikkileikkauksen

puristetussa osassa mikään päätanko ei saa olla kauempana kuin 150mm etäisyydellä sidotusta tangosta.

$$\text{Max etäisyys H sivulla} = 192 \text{ mm}$$

$$\text{Max etäisyys B sivulla} = 192 \text{ mm}$$

$$\text{LISÄHAAT TARVITAAN}$$

$$\text{LISÄHAAT TARVITAAN}$$

MITOITUSLASKELMAT						Sivu4(7)																				
<b>8. Ekvivalentin vakiomomentin <math>M_{0e}</math> laskeminen, (EC2 kohta 5.8.2)</b>																										
$M_{01,yy} = \text{MIN} ( M_{0yy,top}  ;  M_{0yy,btm} )$ $M_{02,yy} = \text{MAX} ( M_{0yy,top}  ;  M_{0yy,btm} )$ $M_{0e,yy} = \text{MAX} \begin{cases} 0.6 * M_{02,yy} + 0.4 * M_{01,yy} \\ 0.4 * M_{02,yy} \end{cases}$			$M_{01,zz} = \text{MIN} ( M_{0zz,top}  ;  M_{0zz,btm} )$ $M_{02,zz} = \text{MAX} ( M_{0zz,top}  ;  M_{0zz,btm} )$ $M_{0e,zz} = \text{MAX} \begin{cases} 0.6 * M_{02,zz} + 0.4 * M_{01,zz} \\ 0.4 * M_{02,zz} \end{cases}$																							
<b>Y-Y akselin ympäri</b>			<b>Z-Z akselin ympäri</b>		Ehto:																					
$M_{01,yy}$ [kNm]	$M_{02,yy}$ [kNm]	$M_{0e,yy}$ [kNm]	$M_{01,zz}$ [kNm]	$M_{02,zz}$ [kNm]	$M_{0e,zz}$ [kNm]	$ M_{02,yy}  \geq  M_{01,yy} $ $ M_{02,zz}  \geq  M_{01,zz} $																				
1	0,0	301,9	0,0	259,9	155,9																					
2	0,0	0,0	0,0	0,0	0,0																					
3	0,0	0,0	0,0	0,0	0,0																					
4	0,0	0,0	0,0	0,0	0,0																					
<b>9. Mittaepätarkkuuksien aiheuttaman taivutusmomentin laskenta (EC2 kohta 5.2, menetelmä a)</b>																										
$\theta_0 = \frac{1}{200}$ $\theta_i = \frac{2,529}{}$ $\theta_i = \theta_0 * \alpha_m * \alpha_h$		$m = \frac{1}{}$ $\alpha_m = \frac{1}{}$ $\alpha_m = [0,5 * (1 + 1/m)]^{0,5}$		$L = \frac{7,0}{}$ m $\alpha_h = \frac{0,756}{}$ $\alpha_h = 2/(L)^{0,5}; 2/3 < \alpha_h < 1$																						
<table border="1" style="display: inline-table; border-collapse: collapse;"> <thead> <tr> <th><math>N_{Ed}</math> [kN]</th> <th><math>M_{i,yy}</math> [kNm]</th> <th><math>M_{i,zz}</math> [kNm]</th> </tr> </thead> <tbody> <tr><td>1</td><td>1755</td><td>50,6</td></tr> <tr><td>2</td><td>0</td><td>0,0</td></tr> <tr><td>3</td><td>0</td><td>0,0</td></tr> <tr><td>4</td><td>0</td><td>0,0</td></tr> </tbody> </table>			$N_{Ed}$ [kN]	$M_{i,yy}$ [kNm]	$M_{i,zz}$ [kNm]	1	1755	50,6	2	0	0,0	3	0	0,0	4	0	0,0	Huomioi epätarkkuus(e): <span style="border: 1px solid black; padding: 2px;">Z-Z suunnassa</span> $e_{i,zz} = \frac{28,8}{}$ mm $e_{i,yy} = \frac{28,8}{}$ mm $M_{i,yy} = e_{i,zz} * N_{Ed}$ $M_{i,zz} = e_{i,yy} * N_{Ed}$								
$N_{Ed}$ [kN]	$M_{i,yy}$ [kNm]	$M_{i,zz}$ [kNm]																								
1	1755	50,6																								
2	0	0,0																								
3	0	0,0																								
4	0	0,0																								
			$e_{i,zz} = \theta_i * L_{0,yy} / 2$ $e_{i,yy} = \theta_i * L_{0,zz} / 2$																							
<b>10. Tehollisen virumaluvun <math>\phi_{ef}</math> laskenta (EC2 kohta 5.8.4)</b>																										
<table border="1" style="display: inline-table; border-collapse: collapse;"> <thead> <tr> <th><math>M_{0Eqp,yy} / M_{0Ed,yy}</math></th> <th><math>\phi_{ef,yy}</math></th> <th><math>M_{0Eqp,zz} / M_{0Ed,zz}</math></th> <th><math>\phi_{ef,zz}</math></th> </tr> </thead> <tbody> <tr><td>1</td><td>0,66</td><td>1,16</td><td>0,65</td></tr> <tr><td>2</td><td>0,00</td><td>0,00</td><td>0,00</td></tr> <tr><td>3</td><td>0,00</td><td>0,00</td><td>0,00</td></tr> <tr><td>4</td><td>0,00</td><td>0,00</td><td>0,00</td></tr> </tbody> </table>				$M_{0Eqp,yy} / M_{0Ed,yy}$	$\phi_{ef,yy}$	$M_{0Eqp,zz} / M_{0Ed,zz}$	$\phi_{ef,zz}$	1	0,66	1,16	0,65	2	0,00	0,00	0,00	3	0,00	0,00	0,00	4	0,00	0,00	0,00	Virumaluku: $\phi(t, t_0) = \frac{1,76}{}$ $\phi_{ef,yy} = \phi(t, t_0) * (M_{0Eqp,yy} / M_{0Ed,yy})$ $\phi_{ef,zz} = \phi(t, t_0) * (M_{0Eqp,zz} / M_{0Ed,zz})$		
$M_{0Eqp,yy} / M_{0Ed,yy}$	$\phi_{ef,yy}$	$M_{0Eqp,zz} / M_{0Ed,zz}$	$\phi_{ef,zz}$																							
1	0,66	1,16	0,65																							
2	0,00	0,00	0,00																							
3	0,00	0,00	0,00																							
4	0,00	0,00	0,00																							
<b>11. Taivutuskestävyyden <math>M_{Rd}</math> ratkaiseminen eri <math>N_{Ed}</math> arvoille</b>																										
<b>11.1. Taivutuskestävyys <math>M_{Rdyy}</math> Y-Y akselin ympäri</b>						$M_{Rdyy} = \phi M_{Rd} + \phi \Delta M_{Rd} * [(N_{Ed} - \phi N_{Rd,yy}) / (\phi \Delta N_{Rd})]$																				
$N_{Ed}$ [kN]	$\phi N_{Rd,yy}$ [kN]	$\phi M_{Rd,yy}$ [kNm]	$\phi \Delta N_{Rd,yy}$ [kN]	$\phi \Delta M_{Rd,yy}$ [kNm]	$M_{Rd,yy}$ [kNm]																					
1	1755	1443,0	1160,1	390,4	26,6																					
2	0	-121,1	956,6	172,4	35,1																					
3	0	-121,1	956,6	172,4	35,1																					
4	0	-121,1	956,6	172,4	35,1																					
						<b>1181,4</b> <b>981,2</b> <b>981,2</b> <b>981,2</b>																				
<b>11.2. Taivutuskestävyys <math>M_{Rdzz}</math> Z-Z akselin ympäri</b>						$M_{Rdzz} = \phi M_{Rd,zz} + \phi \Delta M_{Rd,zz} * [(N_{Ed} - \phi N_{Rd,zz}) / (\phi \Delta N_{Rd})]$																				
$N_{Ed}$ [kN]	$\phi N_{Rd,zz}$ [kN]	$\phi M_{Rd,zz}$ [kNm]	$\phi \Delta N_{Rd,zz}$ [kN]	$\phi \Delta M_{Rd,zz}$ [kNm]	$M_{Rd,zz}$ [kNm]																					
1	1755	1443,0	1160,1	390,4	26,6																					
2	0	-121,1	956,6	172,4	35,1																					
3	0	-121,1	956,6	172,4	35,1																					
4	0	-121,1	956,6	172,4	35,1																					
						<b>1181,4</b> <b>981,2</b> <b>981,2</b> <b>981,2</b>																				

12. Erillisten sauvojen hoikkuskriteerin  $\lambda_{lim}$  laskenta (EC2 kohta 5.8.3.1) Sivu5(7)

$$B = \boxed{1,46} \quad B = (1+2*\omega)^{0,5}$$

12.1. Hoikkuskriteeri Y-Y akselin ympäri

$$\begin{aligned} A_{yy} &= 1/(1+0.2*\varphi_{ef,yy}) \\ C_{yy} &= 1.7 - r_{m,yy} \\ \lambda_{lim,yy} &= 20*A_{yy}*B*C_{yy}/(n^{0.5}) \end{aligned} \quad r_{m,yy} = \begin{cases} 1 & \text{jos rakenne on sivusiirtävä (mastopilari)} \\ 1 & \text{jos } M_{02,yy}+e_{i,zz}*N_{Ed} = 0 \\ (M_{01,yy}+e_{i,zz}*N_{Ed})/(M_{02,yy}+e_{i,zz}*N_{Ed}) & \text{muussa tapauksessa} \end{cases}$$

$$n = N_{Ed}/(A_c*f_{cd})$$

Ehto hoikkuudelle:

	$N_{Ed}$ [kN]	n	$A_{yy}$	$r_{m,yy}$	$C_{yy}$	$\lambda_{lim,yy}$	$\lambda_{yy}$	$\lambda_{yy} > \lambda_{lim,yy}$
1	1755,0	0,23	0,81	1,00	0,70	34,5	91,1	Hoikka
2	0,0	0,00	1,00	1,00	0,70	9999,0	91,1	Ei-hoikka
3	0,0	0,00	1,00	1,00	0,70	9999,0	91,1	Ei-hoikka
4	0,0	0,00	1,00	1,00	0,70	9999,0	91,1	Ei-hoikka

12.2. Hoikkuskriteeri Z-Z akselin ympäri

$$\begin{aligned} A_{zz} &= 1/(1+0.2*\varphi_{ef,zz}) \\ C_{zz} &= 1.7 - r_{m,zz} \\ \lambda_{lim,zz} &= 20*A_{zz}*B*C_{zz}/(n^{0.5}) \end{aligned} \quad r_{m,zz} = \begin{cases} 1 & \text{jos rakenne on sivusiirtävä (mastopilari)} \\ 1 & \text{jos } M_{02,zz}+e_{i,yy}*N_{Ed} = 0 \\ (M_{01,zz}+e_{i,yy}*N_{Ed})/(M_{02,zz}+e_{i,yy}*N_{Ed}) & \text{muussa tapauksessa} \end{cases}$$

$$n = N_{Ed}/(A_c*f_{cd})$$

Ehto hoikkuudelle:

	$N_{Ed}$ [kN]	n	$A_{zz}$	$r_{m,zz}$	$C_{zz}$	$\lambda_{lim,zz}$	$\lambda_{zz}$	$\lambda_{zz} > \lambda_{lim,zz}$
1	1755,0	0,23	0,81	1,00	0,70	34,6	91,1	Hoikka
2	0,0	-	1,00	1,00	0,70	9 999,0	91,1	Ei-hoikka
3	0,0	-	1,00	1,00	0,70	9 999,0	91,1	Ei-hoikka
4	0,0	-	1,00	1,00	0,70	9 999,0	91,1	Ei-hoikka

13. Toisen kertaluvun momentin laskenta nimellisellä kaarevuudella (EC2 kohta 5.8.8.3)

$$\begin{aligned} n_u &= \boxed{1,56} \\ n_{bal,yy} &= \boxed{0,476} \\ n_{bal,zz} &= \boxed{0,476} \end{aligned} \quad \begin{aligned} n_u &= 1+\omega \\ n_{bal,yy} &= N_{Rd,bal,yy}/(A_c*f_{cd}) \\ n_{bal,zz} &= N_{Rd,bal,zz}/(A_c*f_{cd}) \end{aligned}$$

13.1. Toisen kertaluvun taivutusmomentti Y-Y akselin ympäri

$$\begin{aligned} \beta_{yy} &= \boxed{-0,058} \\ i_{s,yy} &= \boxed{197,6} \text{ mm} \\ d_{yy} &= \boxed{487,6} \text{ mm} \end{aligned} \quad \begin{aligned} \beta_{yy} &= 0.35 + f_{ck}/200 - \lambda_{yy}/150 \\ d_{yy} &= H/2 + i_{s,yy} \end{aligned}$$

$$(1/r_0)_{yy} = \boxed{0,000010} \text{ 1/mm} \quad (1/r_0)_{yy} = \varepsilon_{yd}/(0.45*d_{yy})$$

Normaalivoiman korjauserroin:  
Viruman korjauserroin  
Kaarevuus:

$$\begin{aligned} K_{r,yy} &= (n_u - n)/(n_u - n_{bal,yy}) \leq 1 \\ K_{\varphi,yy} &= 1 + \beta_{yy} * \varphi_{ef,yy} \geq 1 \\ (1/r)_{yy} &= K_{r,yy} * K_{\varphi,yy} * (1/r_0)_{yy} \end{aligned}$$

Taipuma:  
Toisen kertaluvun momentti:

$$\begin{aligned} e_{2,zz} &= (1/r)_{yy} * L_{0yy} / c_{yy} \\ M_{2,yy} &= \begin{cases} e_{2,zz} * N_{Ed} & , \text{ jos } \lambda_{yy} > \lambda_{lim,yy} \\ 0 & , \text{ jos } \lambda_{yy} \leq \lambda_{lim,yy} \\ 0 & , \text{ jos } M_{2,yy} < 0.1*(M_{0e,yy} + M_{i,yy}) \end{cases} \end{aligned}$$

	$N_{Ed}$ [kN]	n	$K_{r,yy}$	$\varphi_{ef,yy}$	$K_{\varphi,yy}$	$(1/r)_{yy}$ [1/mm]	$c_{yy}$	$e_{2,zz}$ [mm]	$M_{2,yy}$ [kNm]
1	1755	0,23	1,000	1,2	1,000	0,000010	10,00	230,7	404,9
2	0	0,00	1,000	0,0	1,000	0,000010	0,00	0,0	0,0
3	0	0,00	1,000	0,0	1,000	0,000010	0,00	0,0	0,0
4	0	0,00	1,000	0,0	1,000	0,000010	0,00	0,0	0,0

### 13.2. Toisen kertaluvun taivutusmomentti Z-Z akselin ympäri

Sivu6(7)

$$\begin{aligned}\beta_{zz} &= -0,058 \\ i_{s,zz} &= 197,6 \text{ mm} \\ d_{zz} &= 487,6 \text{ mm}\end{aligned}$$

$$\beta_{zz} = 0.35 + f_{ck}/200 - \lambda_{zz}/150$$

$$d_{zz} = B/2 + i_{s,zz}$$

$$(1/r_0)_{zz} = 0,000010 \text{ 1/mm}$$

$$(1/r_0)_{zz} = \epsilon_{yd}/(0.45 \cdot d_{zz})$$

Normaalivoiman korjauskerroin:

$$K_{r,zz} = (n_u - n)/(n_u - n_{bal,zz}) \leq 1$$

Viruman korjauskerroin:

$$K_{\phi,zz} = 1 + \beta_{zz} \cdot \phi_{ef,zz} \geq 1$$

Kaarevuus:

$$(1/r)_{zz} = K_{r,zz} \cdot K_{\phi,zz} \cdot (1/r_0)_{zz}$$

Taipuma:

$$e_{2,yy} = (1/r)_{zz} \cdot L_{0zz} / c_{zz}$$

Toisen kertaluvun momentti:

$$M_{2,zz} = \begin{cases} e_{2,yy} \cdot N_{Ed} & , \text{ jos } \lambda_{zz} > \lambda_{lim,zz} \\ 0 & , \text{ jos } \lambda_{zz} \leq \lambda_{lim,zz} \\ 0 & , \text{ jos } M_{2,zz} < 0.1 \cdot (M_{0e,zz} + M_{i,zz}) \end{cases}$$

	$N_{Ed}$ [kN]	n	$K_{r,zz}$	$\phi_{ef,zz}$	$K_{\phi,zz}$	$(1/r)_{zz}$ [1/mm]	$c_{zz}$	$e_{2,yy}$ [mm]	$M_{2,yy}$ [kNm]
1	1755,0	0,23	1,000	1,15	1,000	0,000010	10,00	230,7	<b>404,9</b>
2	0,0	-	1,000	0,00	1,000	0,000010	0,00	0,0	<b>0,0</b>
3	0,0	-	1,000	0,00	1,000	0,000010	0,00	0,0	<b>0,0</b>
4	0,0	-	1,000	0,00	1,000	0,000010	0,00	0,0	<b>0,0</b>

### 14. Taivutusmomentin mitoitusarvot (EC2 kohta 5.8.8.2 sekä 6.1(4) )

#### 14.1. Mitoittava taivutusmomentti Y-Y akselin ympäri

$$e_{0,zz} = 20,00 \text{ mm}$$

$$e_{0,zz} = \text{MAX}(20\text{mm} ; H/30)$$

Sivusiirtymättömälle rakenteelle:

$$M_{Ed,yy} = \text{MAX} \begin{cases} e_{0,zz} \cdot N_{Ed} \\ M_{02,yy} + M_{i,yy} \\ M_{0e,yy} + M_{2,yy} + M_{i,yy} \end{cases}$$

Sivusiirtyvälle rakenteelle:

$$M_{Ed,yy} = \text{MAX} \begin{cases} e_{0,zz} \cdot N_{Ed} \\ M_{02,yy} + M_{2,yy} + M_{i,yy} \end{cases}$$

	$N_{Ed}$ [kN]	$M_{02,yy}$ [kNm]	$M_{0e,yy}$ [kNm]	$M_{2,yy}$ [kNm]	$M_{i,yy}$ [kNm]	$e_{0,zz} \cdot N_{Ed}$ [kNm]	$M_{Ed,yy}$ [kNm]	$M_{Rd,yy}$ [kNm]	Ehto:
1	1755,0	301,9	181,1	404,9	50,6	35,1	<b>757,4</b>	<b>1181,4</b>	OK
2	0,0	0,0	0,0	0,0	0,0	0,0	<b>0,0</b>	<b>981,2</b>	OK
3	0,0	0,0	0,0	0,0	0,0	0,0	<b>0,0</b>	<b>981,2</b>	OK
4	0,0	0,0	0,0	0,0	0,0	0,0	<b>0,0</b>	<b>981,2</b>	OK

#### 14.2. Mitoittava taivutusmomentti Z-Z akselin ympäri

$$e_{0,yy} = 20,00 \text{ mm}$$

$$e_{0,yy} = \text{MAX}(20\text{mm} ; B/30)$$

Sivusiirtymättömälle rakenteelle:

$$M_{Ed,zz} = \text{MAX} \begin{cases} e_{0,yy} \cdot N_{Ed} \\ M_{02,zz} + M_{i,zz} \\ M_{0e,zz} + M_{2,zz} + M_{i,zz} \end{cases}$$

Sivusiirtyvälle rakenteelle:

$$M_{Ed,zz} = \text{MAX} \begin{cases} e_{0,yy} \cdot N_{Ed} \\ M_{02,zz} + M_{2,zz} + M_{i,zz} \end{cases}$$

	$N_{Ed}$ [kN]	$M_{02,zz}$ [kNm]	$M_{0e,zz}$ [kNm]	$M_{2,zz}$ [kNm]	$M_{i,zz}$ [kNm]	$e_{0,yy} \cdot N_{Ed}$ [kNm]	$M_{Ed,zz}$ [kNm]	$M_{Rd,zz}$ [kNm]	Ehto:
1	1755,0	259,9	155,9	404,9	0,0	35,1	<b>664,8</b>	<b>1181,4</b>	OK
2	0,0	0,0	0,0	0,0	0,0	0,0	<b>0,0</b>	<b>981,2</b>	OK
3	0,0	0,0	0,0	0,0	0,0	0,0	<b>0,0</b>	<b>981,2</b>	OK
4	0,0	0,0	0,0	0,0	0,0	0,0	<b>0,0</b>	<b>981,2</b>	OK







		<b>Rakennelaskelma, tulos</b>							
		Tekijä: PMA	Sivu: 2 (3)						
		Päiväys: 16.4.2012							
<b>Rakennuskohde:</b> Insinööritoimisto	Työ no:	<b>Sisältö:</b> Monikerrospilari	Sijainti:						
<b>B3 Kahteen suuntaan taivutettu teräsbetonipilari</b> <span style="float: right;">Versio 1.51</span>									
<b>Mitoitus Y-Y akselin ympäri</b>									
Ekvivalentin vakiomomentin ja mittaepätarkkuuksien laskenta									
	$N_{Ed}$ [kN]	$M_{01,y}$ [kNm]	$M_{02,y}$ [kNm]	$M_{0e,y}$ [kNm]	$M_{i,y}$ [kNm]	Huomioi epätarkkuus(ei): Z-Z suunnassa $e_{i,z} = $ <span style="border: 1px solid black; padding: 2px 10px;">28,84</span> mm			
Tapaus 1	1755		301,88	181,128	50,61				
Tapaus 2									
Tapaus 3									
Tapaus 4									
Taivutusmomentin mitoitusarvon laskenta									
	$\lambda_{yy}$	$\lambda_{yy} > \lambda_{lim,yy}$	$M_{02,y}$ [kNm]	$M_{0E,y}$ [kNm]	$M_{2,y}$ [kNm]	$M_{i,y}$ [kNm]	$e_{0,z} * N_{Ed}$ [kNm]	$M_{Ed,y}$ [kNm]	$M_{Rd,y}$ [kNm]
Tapaus 1	34,5	Hoikka	301,88	181,128	404,9077	50,6	35,1	<b>757,4</b>	1181,4
Tapaus 2	9999,0	Ei-hoikka							981,2
Tapaus 3	9999,0	Ei-hoikka							981,2
Tapaus 4	9999,0	Ei-hoikka							981,2
<b>Mitoitus Z-Z akselin ympäri</b>									
Ekvivalentin vakiomomentin ja mittaepätarkkuuksien laskenta									
	$N_{Ed}$ [kN]	$M_{01,z}$ [kNm]	$M_{02,z}$ [kNm]	$M_{0e,z}$ [kNm]	$M_{i,z}$ [kNm]	Huomioi epätarkkuus(ei): Z-Z suunnassa $e_{i,y} = $ <span style="border: 1px solid black; padding: 2px 10px;">28,84</span> mm			
Tapaus 1	1755		259,88	155,928					
Tapaus 2									
Tapaus 3									
Tapaus 4									
Taivutusmomentin mitoitusarvon laskenta									
	$\lambda_{zz}$	$\lambda_{zz} > \lambda_{lim,zz}$	$M_{02,z}$ [kNm]	$M_{0E,z}$ [kNm]	$M_{2,z}$ [kNm]	$M_{i,z}$ [kNm]	$e_{0,y} * N_{Ed}$ [kNm]	$M_{Ed,z}$ [kNm]	$M_{Rd,z}$ [kNm]
Tapaus 1	34,6	Hoikka	259,88	155,928	404,91		35,1	<b>664,8</b>	1181,4
Tapaus 2	9999,0	Ei-hoikka							981,2
Tapaus 3	9999,0	Ei-hoikka							981,2
Tapaus 4	9999,0	Ei-hoikka							981,2
<b>Vino taivutus (EC2 kohta 5.8.9(4))</b>									
	$N_{Ed}$ [kN]	$N_{Ed}/N_{Rd}$	$a$	$(M_{Ed}/M_{Rd})_{yy}$	$(M_{Ed}/M_{Rd})_{zz}$	Kaava 5.39 tulos	Ehto: (5.39) < 1		
Tapaus 1	1755	0,148	1,040	0,641	0,563	1,180	vino taivutus liian suuri		
Tapaus 2			1,000				OK		
Tapaus 3			1,000				OK		
Tapaus 4			1,000				OK		
<b>HUOM! TÄMÄ LASKENTAPOHJA EI TEE PALOMITOITUSTA!</b> <b>PALOMITOITUS TEHTÄVÄ ERIKSEEN EUROKODI EN-1992-1-2 MUKAAN!</b>									

# 1. Raudoituksen jäyhyyssäteiden laskeminen Y-Y ja Z-Z akselien ympäri

H= 580 mm  
B= 580 mm

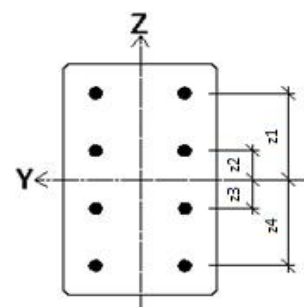
$\emptyset_{\text{main}} = 25$  mm  
 $A_{s1} = 491$  mm<sup>2</sup>

$A_{\text{stot}} = 7854$  mm<sup>2</sup>  
 $I_{\emptyset \text{main}} = 19174,8$  mm<sup>4</sup>  
 $I_{\emptyset \text{main}} = \pi * \emptyset^4 / 64$

## Raudoituksen jäyhyyssäde $i_y$ Y-Y akselin ympäri

rivi	d'_n [mm]	z [mm]	z <sup>2</sup> [mm <sup>2</sup> ]	n [kpl]	I <sub>s,yy,n</sub>
1	50,5	239,5	57360,3	5	140879108
2	170,3	119,8	14340,1	2	14116673
3	290,0	0,0	0,0	2	38350
4	409,8	-119,8	14340,1	2	14116673
5	529,5	-239,5	57360,3	5	140879108

$I_{s,yy} = 3,10 \cdot 10^8$  mm<sup>4</sup>  
 $i_{s,yy} = 198,68$  mm

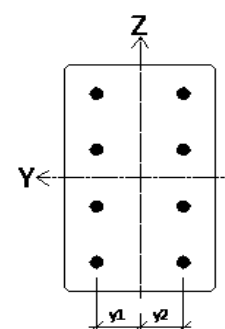


$I_{s,yy} = \sum I_{s,yy,n}$   
 $i_{s,yy} = (I_{s,yy} / A_{\text{stot}})^{0.5}$

## Raudoituksen jäyhyyssäde $i_z$ Z-Z akselin ympäri

rivi	d'_n [mm]	y [mm]	y <sup>2</sup> [mm <sup>2</sup> ]	kpl	I <sub>s,zz,n</sub>
1	50,5	239,5	57360,3	5	140879108
2	170,3	119,8	14340,1	2	14116673
3	290,0	0,0	0,0	2	38350
4	409,8	-119,8	14340,1	2	14116673
5	529,5	-239,5	57360,3	5	140879108

$I_{s,zz} = 3,10 \cdot 10^8$  mm<sup>4</sup>  
 $i_{s,zz} = 198,68$  mm



$I_{s,zz} = \sum I_{s,zz,n}$   
 $i_{s,zz} = (I_{s,zz} / A_{\text{stot}})^{0.5}$

NIMELLISEN JÄYKKYYDEN MENETELMÄ		Sivu1(2)
MITOITAVA TAIVUTUSMOMENTTI Y-Y AKSELIN SUHTEEN		
Jäykkyyden vaikutuskerroin, raudituksen vaikutus		
$K_s$	<input type="text" value="1"/>	
Jäykkyyden vaikutuskerroin, betonin vaikutus		
$K_c$	<input type="text" value="0,08"/>	$K_c = k_1 \cdot k_2 / (1 + \varphi_{ef})$
$k_1$	<input type="text" value="1,41"/>	$k_1 = \sqrt{f_{ck} / 20 \text{ MPa}}$
$k_2$	<input type="text" value="0,123"/>	$k_2 = \eta \cdot (\lambda / 170)$ kuitenkin $k_2 < 0,2$
Tehollinen virumaluku		
$\varphi_{ef}$	<input type="text" value="1,15"/>	kts. Vertailulaskelma nimellisen kaarevuuden menetelmällä kohta 10.
Suhteellinen normaalivoima		
$\eta$	<input type="text" value="0,230"/>	kts. Vertailulaskelma nimellisen kaarevuuden menetelmällä kohta 12.1
momenttijakaumakerroin		
$\beta$	<input type="text" value="1,00"/>	$\beta = \pi^2 / c_0$
betonin kimmokertoimen mitoitusarvo		
$E_{cd}$	<input type="text" value="29166,7"/> N/mm <sup>2</sup>	$E_{cd} = E_{cm} / \gamma_{cE}$
betonipoikkileikkauksen jähyysmomentti		
$I_c$	<input type="text" value="9430413333"/> mm <sup>4</sup>	$I_c = (B \cdot H^3) / 12$
$I_s$	<input type="text" value="310029912"/> mm <sup>4</sup>	kts. Vertailulaskelmien sivu 15
nimellisjäykkyys		
$EI$	<input type="text" value="84330,8"/> kNm <sup>2</sup>	
nurjahduskuorma		
$N_b$	<input type="text" value="3574,2"/> kN	$N_b = \pi^2 \cdot (EI)_{ef} / L_0^2$
momentin suurennoskerroin		
	<input type="text" value="1,96"/>	$1 + \beta / [(N_b / N_{Ed}) - 1]$
1.kertaluvun momentti murtorajatilassa		
$M_{0Ed}$	<input type="text" value="352,5"/> kNm	$M_{0Ed} = M_{0yy, btm} + N_{Ed} \cdot e_i$
Kokonaismitoitusmomentti		
$M_{Ed}$	<input type="text" value="691,5"/> kNm	$M_{Ed} = M_{0Ed} \cdot \{1 + \beta / [(N_b / N_{Ed}) - 1]\}$

**HUOM!**

Momenttijakauma on poikkeava, joten kertoimelle  $\beta$  voidaan käyttää arvoa  $\beta = 1,00$ .

NIMELLISEN JÄYKKYYDEN MENETELMÄ		
MITOITAVA TAIVUTUSMOMENTTI Z-Z AKSELIN SUHTEEN		
Jäykkyyden vaikutuskerroin, raudituksen vaikutus		
$K_s$	<div style="border: 1px solid black; padding: 2px 10px;">1</div>	
Jäykkyyden vaikutuskerroin, betonin vaikutus		
$K_c$	<div style="border: 1px solid black; padding: 2px 10px;">0,08</div>	$K_c = k_1 \cdot k_2 / (1 + \varphi_{ef})$
$k_1$	<div style="border: 1px solid black; padding: 2px 10px;">1,41</div>	$k_1 = \sqrt{f_{ck} / 20 \text{ MPa}}$
$k_2$	<div style="border: 1px solid black; padding: 2px 10px;">0,123</div>	$k_2 = \eta \cdot (\lambda / 170)$ kuitenkin $k_2 < 0,2$
Tehollinen virumaluku		
$\varphi_{ef}$	<div style="border: 1px solid black; padding: 2px 10px;">1,15</div>	kts. Vertailulaskelma nimellisen kaarevuuden menetelmällä kohta 10.
Suhteellinen normaalivoima		
$\eta$	<div style="border: 1px solid black; padding: 2px 10px;">0,230</div>	kts. Vertailulaskelma nimellisen kaarevuuden menetelmällä kohta 12.1
momenttijakaumakerroin		
$\beta$	<div style="border: 1px solid black; padding: 2px 10px;">1,00</div>	$\beta = \pi^2 / c_0$ <div style="float: right; text-align: right;"> <math>c_0</math> <div style="border: 1px solid black; padding: 2px 10px;"></div> </div>
betonin kimmokertoimen mitoitusarvo		
$E_{cd}$	<div style="border: 1px solid black; padding: 2px 10px;">29166,7</div> N/mm <sup>2</sup>	$E_{cd} = E_{cm} / \gamma_{cE}$ <div style="float: right; text-align: right;">           betonin kimmokertoimen osavarmuusluku  <math>\gamma_{cE}</math> <div style="border: 1px solid black; padding: 2px 10px;">1,2</div> </div>
betonipoikkileikkauksen jäyhyysmomentti		
$I_c$	<div style="border: 1px solid black; padding: 2px 10px;">9430413333</div> mm <sup>4</sup>	$I_c = (B \cdot H^3) / 12$
pääraudoituksen jäyhyysmomentti		
$I_s$	<div style="border: 1px solid black; padding: 2px 10px;">310029912</div> mm <sup>4</sup>	kts. Vertailulaskelmien sivu 15
nimellisjäykkyys		
$EI$	<div style="border: 1px solid black; padding: 2px 10px;">84330,8</div> kNm <sup>2</sup>	
nurjahduskuorma		
$N_b$	<div style="border: 1px solid black; padding: 2px 10px;">3574,2</div> kN	$N_b = \pi^2 \cdot (EI)_{ef} / L_0^2$
momentin suurennoskerroin		
	<div style="border: 1px solid black; padding: 2px 10px;">1,96</div>	$1 + \beta / [(N_b / N_{Ed}) - 1]$
1.kertaluvun momentti murtorajatilassa		
$M_{0Ed}$	<div style="border: 1px solid black; padding: 2px 10px;">259,9</div> kNm	$M_{0Ed} = M_{0zz,blm}$
Kokonaismitoitusmomentti		
$M_{Ed}$	<div style="border: 1px solid black; padding: 2px 10px;">509,8</div> kNm	$M_{Ed} = M_{0Ed} \cdot \{1 + \beta / [(N_b / N_{Ed}) - 1]\}$

HUOM!

Momenttijakauma on poikkeava, joten kertoimelle  $\beta$  voidaan käyttää arvoa  $\beta = 1,00$ .